

การพัฒนาระบบสแกนด้วยรังสีแกมมาเพลิงงานต่อชั้นนิคเคลียร์ย้ายได้
สำหรับคำนวณสร้างภาพโถไมกราฟี

นายสุรกิจ ขาวแฝง



ศูนย์วิทยทรัพยากร

วิทยานิพนธ์นี้เป็นส่วนหนึ่งของการศึกษาตามหลักสูตรปริญญาวิทยาศาสตร์มหาบัณฑิต
สาขาวิชานิวเคลียร์เทคโนโลยี ภาควิชานิวเคลียร์เทคโนโลยี
คณะวิศวกรรมศาสตร์ จุฬาลงกรณ์มหาวิทยาลัย
ปีการศึกษา 2551
ลิขสิทธิ์ของจุฬาลงกรณ์มหาวิทยาลัย

DEVELOPMENT OF A MOBILE LOW ENERGY GAMMA-RAY SCANNING SYSTEM
FOR COMPUTED TOMOGRAPHY

Mr. Surakit Khowprew



ศุภนิพัทธ์ ธรรมรัตนกุล
A Thesis Submitted in Partial Fulfillment of the Requirements
for the Degree of Master of Science Program in Nuclear Technology

จุฬาลงกรณ์มหาวิทยาลัย
Department of Nuclear Technology
Faculty of Engineering

Chulalongkorn University

Academic Year 2008

Copyright of Chulalongkorn University

510808

หัวข้อวิทยานิพนธ์	การพัฒนาระบบสแกนด้วยรังสีแกรมมาเพล้งงานต่อชั่วโมง
โดย	นายสุรกิจ ขาวแห้ว
สาขาวิชา	นิวเคลียร์เทคโนโลยี
อาจารย์ที่ปรึกษาวิทยานิพนธ์หลัก	ผู้ช่วยศาสตราจารย์ อรรถพร ภัทรสมันต์
อาจารย์ที่ปรึกษาวิทยานิพนธ์ร่วม	รองศาสตราจารย์ สมยศ ศรีสิติธรรม

คณะวิศวกรรมศาสตร์ จุฬาลงกรณ์มหาวิทยาลัย อนุมัติให้นับวิทยานิพนธ์นับเป็นส่วนหนึ่งของการศึกษาตามหลักสูตรปริญญามหาบัณฑิต

แบบ ~~แบบ~~ คณบดีคณวิศวกรรมศาสตร์
(รองศาสตราจารย์ ดร. บุญสม เลิศหรรษ์วงศ์)

คณะกรรมการสอบวิทยานิพนธ์

..... ประธานกรรมการ
(รองศาสตราจารย์ นรศรี จันทนาว)

..... อาจารย์ที่ปรึกษาวิทยานิพนธ์หลัก
(ผู้ช่วยศาสตราจารย์ อรรถพร ภัทรสมันต์)

សំណើលោកស្រី
(ទង្វានសត្រាគារី សមិទ្ធបីសិទ្ធិ)

 กรรมการ
(ผู้ช่วยศาสตราจารย์ สุวิทย์ ปุณณพัชรย์)

..... กรรมการภายนอกมหาวิทยาลัย
(ดร. ประสิทธิ์ สุริทพย์รัตน์)

สุรกิจ ขาวແຜ້ວ : การพัฒนาระบบสแกนด้วยรังสีแกมมาพลังงานต่ำชนิดเคลื่อนย้ายได้
สำหรับคำนวณสร้างภาพໂທໂມກຣາຟ. (DEVELOPMENT OF A MOBILE LOW
ENERGY GAMMA-RAY SCANNING SYSTEM FOR COMPUTED TOMOGRAPHY)
อ.ที่ปรึกษาวิทยานิพนธ์หลัก : ผศ. อรรถพร วากุสุวนันต์, อ.ที่ปรึกษาวิทยานิพนธ์ร่วม : รศ.
สมยศ ศรีสติตย์ 78 หน้า.

ได้พัฒนาระบบสแกนเก็บข้อมูลໂປຣໄຟລ์ด้วยรังสีแกมมาพลังงานต่ำชนิดเคลื่อนย้ายได้
สำหรับการคำนวณสร้างภาพໂທໂມກຣາຟเพื่อใช้ในงานด้านการตรวจส่องแบบไม่ทำลาย โดยใช้
รังสีแกมมาพลังงาน 59.5 keV จากต้นกำเนิดรังสีแกมมา Am-241 ความแรง 100 mCi และหัววัด
รังสีแกมมา CdTe ขนาด 5 มิลลิเมตร ระบบที่พัฒนาขึ้นประกอบด้วย ระบบวัดรังสีแกมมา ระบบ
กล้องรับสแกนเก็บข้อมูลໂປຣໄຟລ์ และโปรแกรมที่พัฒนาขึ้น โดยสามารถสแกนเก็บข้อมูลໂປຣ-
ໄຟລ์ชิ้นงานที่มีขนาดเส้นผ่าศูนย์กลางไม่เกิน 20 เซนติเมตร จากการเก็บข้อมูลໂປຣໄຟລ์ตัวอย่าง
เสามี ท่อปูนซีเมนต์ และท่ออลูมิเนียม พบร่วงภาพໂທໂມກຣາຟที่ได้มีคุณภาพอยู่ในระดับที่น่าพอใจ
โดยมีความคมชัดเท่ากับ 4.53 มิลลิเมตร

ศูนย์วิทยทรัพยากร จุฬาลงกรณ์มหาวิทยาลัย

ภาควิชานิวเคลียร์เทคโนโลยี

สาขาวิชานิวเคลียร์เทคโนโลยี

ปีการศึกษา 2551

ลายมือชื่อนิสิต

ลายมือชื่อ อ.ที่ปรึกษาวิทยานิพนธ์หลัก

ลายมือชื่อ อ.ที่ปรึกษาวิทยานิพนธ์ร่วม สมยศ ศรีสติตย์

4970656121 : MAJOR NUCLEAR TECHNOLOGY

KEYWORDS : COMPUTED TOMOGRAPHY / NONDESTRUCTIVE TESTING

SURAKIT KHOWPREW : DEVELOPMENT OF A MOBILE LOW ENERGY
GAMMA-RAY SCANNING SYSTEM FOR COMPUTED TOMOGRAPHY.

ADVISOR : ASST.ATTAPORN PATTARASUMUNT, CO-ADVISOR :
ASSOC.PROF.SOMYOT SRISATIT, 78 pp.

A mobile low energy gamma-ray scanning system for computed tomography was developed using 59.5 keV gamma-ray from 100 mCi Am-241 source and 5 mm CdTe semiconductor detector in order to use in nondestructive testing. The developed system consisted of a gamma-ray measuring system, a mechanical scanning system and a developed software which could collect profile data of specimens with diameter smaller than 20 cm. From collected profile data of wood, cement duct and aluminum duct specimens, the tomographic image quality was to be within satisfactory level with sharpness of 4.53 mm.

ศูนย์วิทยทรัพยากร จุฬาลงกรณ์มหาวิทยาลัย

Department : NUCLEAR TECHNOLOGY.....

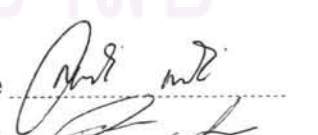
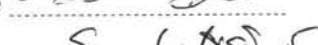
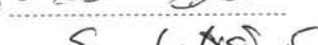
Student's Signature

Field of Study : NUCLEAR TECHNOLOGY.....

Advisor's Signature

Academic Year : 2008.....

Co-Advisor's Signature

กิตติกรรมประกาศ

วิทยานิพนธ์ฉบับนี้สำเร็จลุล่วงไปได้ด้วยดีในครั้งนี้ ข้าพเจ้าต้องขอขอบพระคุณ
ภาควิชานิเวศลีร์เทคโนโลยี คณะวิศวกรรมศาสตร์ จุฬาลงกรณ์มหาวิทยาลัย และบันทิด
วิทยาลัย จุฬาลงกรณ์มหาวิทยาลัย ที่สนับสนุนเงินทุนสนับสนุนการทำวิจัย

สำหรับความรู้ ประสบการณ์ต่างๆ คำแนะนำที่มอบให้ ขอขอบพระคุณ ผู้ช่วย
ศาสตราจารย์อรรถพร ภัทรสมุนต์ อาจารย์ที่ปรึกษาวิทยานิพนธ์ฉบับนี้ และรองศาสตราจารย์สม
ยศ ศรีสติตย์ รวมถึงคณะกรรมการสอบวิทยานิพนธ์ และอาจารย์ภาควิชานิเวศลีร์เทคโนโลยีทุก
ท่านที่ถ่ายทอดความรู้ ประสบการณ์ แก่ข้าพเจ้าตลอดมา

ข้าพเจ้าขอขอบคุณนิสิต ภาควิชานิเวศลีร์เทคโนโลยี ทุกคนที่เคยช่วยเหลือ
สถานที่และให้กำลังใจ

สุดท้ายข้าพเจ้าขอขอบคุณครอบครัวของข้าพเจ้า บิดา มารดา ที่อบรมสั่ง
สอน และน้อมนำ ที่เคยเป็นกำลังใจ ให้ข้าพเจ้าเสมอมา



ศูนย์วิทยทรัพยากร
จุฬาลงกรณ์มหาวิทยาลัย

สารบัญ

	หน้า
บทคัดย่อภาษาไทย.....	๑
บทคัดย่อภาษาอังกฤษ.....	๒
กิตติกรรมประกาศ.....	๓
สารบัญ.....	๔
สารบัญตาราง.....	๘
สารบัญภาพ.....	๙
 บทที่	
1. บทนำ.....	1
1.1 ความเป็นมาและความสำคัญของปัญหา.....	1
1.2 วัตถุประสงค์ของการวิจัย.....	1
1.3 ขอบเขตของการวิจัย.....	2
1.4 ขั้นตอนดำเนินการวิจัย.....	2
1.5 ประโยชน์ที่คาดว่าจะได้รับ.....	2
1.6 งานวิจัยที่เกี่ยวข้อง.....	3
2. แนวคิดและทฤษฎี.....	5
2.1 หลักการเก็บข้อมูลเพื่อการคำนวณสร้างภาพโโนกราฟี.....	5
2.2 ทฤษฎีการคำนวณสร้างภาพโโนกราฟี.....	7
2.3 คุณภาพของภาพโโนกราฟี.....	17
2.4 ปัจจัยที่มีผลต่อคุณภาพของภาพโโนกราฟี.....	21
3. ระบบสแกนด้วยรังสีแกมมาพลังงานต่ำชนิดเคลื่อนย้ายได้สำหรับการคำนวณสร้างภาพโโนกราฟี.....	23
3.1 วัสดุและอุปกรณ์ที่ใช้ในงานวิจัย.....	23
3.2 การพัฒนาระบบสแกนด้วยรังสีแกมมาพลังงานต่ำชนิดเคลื่อนย้ายได้สำหรับคำนวณสร้างภาพโโนกราฟี.....	24

บทที่	หน้า
3.3 การพัฒนาโปรแกรมควบคุมระบบสแกนและรับข้อมูลไปรษณีย์สำหรับการ คำนวณสร้างภาพໂທໂນກرافີ.....	32
4. การทดสอบการทำงานของระบบ และผลการทดสอบ.....	38
4.1 การทดสอบระบบบกລ.....	38
4.2 การทดสอบระบบວัดຮັງສືເກມມາ.....	41
4.3 การทดสอบເກີບຂໍ້ມູນໄປໄຟລົຈາກຮັບສະແດນເກີບຂໍ້ມູນໄປໄຟລົ.....	42
4.4 การทดสอบหาຄວາມເໝາະສົມຂອງເວລາທີ່ໃຊ້ໃນກາວັດ ແລະ ຈຳນວນເຮັດວຽກ ເກີບຂໍ້ມູນໄປໄຟລົ ສຳຫຼັບການคำนวณสร้างภาพໂທໂນກрафີ.....	47
4.5 การทดสอบເພື່ອຫາຄວາມສາມາດතີ່ໃນການແຈກແຈງຮາຍລະເອີຍ.....	50
4.6 ກາຣອອກແບບຂຶ້ນງານທົດສອບ ແລະ ພຸດກາຣ ດຳນວນສ້າງພາບໂທໂນກຣາຟີຂອງ ຂຶ້ນງານທົດສອບ.....	52
4.7 ກາຣທົດສອບກາຣໃໝ່ງານກາຄສນາມ ແລະ ພຸດກາຣ ດຳນວນສ້າງພາບໂທໂນກຣາຟີ.....	56
5. ສຽງຜຸດກາຣວິຈີຍ ແລະ ຂໍ້ເສັນອແນະ.....	59
5.1 ສຽງຜຸດກາຣວິຈີຍ.....	59
5.2 ຂໍ້ເສັນອແນະ.....	60
 รายการอ้างอิง.....	 61
บรรณานຸກຮົມ.....	62
ກາຄພາວກ.....	63
ປະວັດຜູ້ເຢືນວິທຍານິພນົມ.....	78

ศูนย์วิทยทรัพยากร

จุฬาลงกรณ์มหาวิทยาลัย

สารบัญตาราง

ตารางที่		หน้า
3.1	แสดงตำแหน่งของกลุ่มสัญญาณ Address เพื่อใช้ในการเข้ามต่อพอร์ตขานาน.....	30
4.1	ผลการทดสอบระบบกล.....	40
4.2	แสดงผลการคำนวนสร้างภาพโทโนกราฟี ที่เวลา และจำนวนเรียซัมต่าง ๆ.....	47
4.2	แสดงผลการคำนวนสร้างภาพโทโนกราฟี ที่เวลา และจำนวนเรียซัมต่าง ๆ (ต่อ)..	48
4.2	แสดงผลการคำนวนสร้างภาพโทโนกราฟี ที่เวลา และจำนวนเรียซัมต่าง ๆ (ต่อ)..	49
4.2	แสดงผลการคำนวนสร้างภาพโทโนกราฟี ที่เวลา และจำนวนเรียซัมต่าง ๆ (ต่อ)..	50
4.3	ชิ้นงานทดสอบสำหรับระบบเก็บข้อมูลໂປຣັບເຟ.....	52
4.3	ชิ้นงานทดสอบสำหรับระบบเก็บข้อมูลໂປຣັບເຟ (ต่อ).....	53
4.4	ผลการทดสอบภาพโทโนกราฟีด้วยระบบສแกນຮັງສີແກມນາພລັງຈານຕໍ່າ.....	54
4.4	ผลการทดสอบภาพโทโนกราฟีด้วยระบบສแกນຮັງສີແກມນາພລັງຈານຕໍ່າ (ต่อ).....	55
4.5	ตัวอย่างงานภาคสนาม.....	57
4.6	ผลการทดสอบการสร้างภาพโทโนกราฟี ในการใช้งานภาคสนาม.....	58

**ศูนย์วิทยทรัพยากร
จุฬาลงกรณ์มหาวิทยาลัย**

สารบัญภาพ

ภาพที่	หน้า
2.1 ระบบสแกนลำรังสีแคบ.....	6
2.2 ระบบสแกนลำรังสีรูปพัด.....	6
2.3 ระบบสแกนลำรังสีรูปกรวย.....	7
2.4 กราฟแสดงความสัมพันธ์ระหว่างอัตราการยึดของรังสีกับคุณสมบัติของตัวกล้องและพลังงานของโฟตอน.....	8
2.5 การเกิดปรากฏการณ์ไฟโตอิเล็กทริก.....	9
2.6 การเกิดปรากฏการณ์คอมปิตัน.....	9
2.7 การเกิดเพร์โพรดักชันและ Anihilation.....	10
2.8 ลำรังสีแกรมมาที่เคลื่อนที่ผ่านตัวกล้องลักษณะต่าง ๆ.....	11
2.9 วิธีการแบ่งไปรabe กัน.....	12
2.10 ภาพトイโมกราฟที่ไม่ผ่านฟิลเตอร์ฟังก์ชัน.....	13
2.11 ภาพトイโมกราฟที่ผ่านฟิลเตอร์ฟังก์ชัน.....	13
2.12 ตัวอย่างการหาค่า PDF.....	19
3.1 แผนภาพระบบสแกนลำหัวรับการคำนวณสร้างภาพトイโมกราฟ.....	24
3.2 แสดงสเปกตรัมจากต้นกำเนิดรังสีแกรมมา Am-241.....	25
3.3 หัววัดรังสีแกรมมา ชนิดกึงตัวนำ CdTe.....	26
3.4 Scaler Ratemeter รุ่น LUDLUM 2200.....	26
3.5 ร่างเลื่อนสำหรับระบบกล.....	27
3.6 สเตบปิงมอเตอร์รุ่น PM42L-048.....	27
3.7 แผนผังแสดงการทำงานของชุดควบคุมสเตบปิงมอเตอร์.....	28
3.8 แผนผังแสดงการกระตุ้นขดลวดภายในสเตบปิงมอเตอร์แบบ one-two-phase..	28
3.9 วงจรกำเนิดแรงดันไฟฟ้ากระแสตรง +5V และ +12V.....	29
3.10 สัญญาณต่าง ๆ ของพอร์ตขนาด.....	29
3.11 วงจรเชื่อมต่อพอร์ตขนาด.....	30
3.12 วงจรขับสเตบปิงมอเตอร์.....	31
3.13 วงจรรับสัญญาณจากไฟトイกรานชิสเตอร์.....	31

ภาคที่	หน้า
3.14 หน้าต่างของโปรแกรมควบคุมระบบสแกน และเก็บข้อมูลโปรไฟล์.....	32
3.15 แผนภาพแสดงขั้นตอนการหาตำแหน่งเริ่มต้นการสแกน.....	33
3.16 แผนภาพการเก็บ บันทึก และเรียกใช้ค่านับวัด I_0	34
3.17 แผนภาพแสดงการบันทึกข้อมูลโปรไฟล์ที่ไม่ได้ผ่านการปรับแก้.....	35
3.18 แผนภาพแสดงการบันทึกข้อมูลโปรไฟล์ที่ผ่านการปรับแก้ค่า I_0 แล้ว.....	36
3.19 แผ่นวงจรเชื่อมต่อพอร์ตขนาด และควบคุมสเตปปิงมอเตอร์.....	36
3.20 ระบบกลเคลื่อนย้ายได้สำหรับสแกนเก็บข้อมูลโปรไฟล์.....	37
3.21 ระบบสแกนรังสีแกรมมาเพล้งงานสำหรับการคำนวณสร้างภาพໂoglaphy.....	37
4.1 แผนภาพแสดงการทดสอบระบบกล.....	38
4.2 หน้าต่างโปรแกรมทดสอบระบบกล.....	39
4.3 แผนภาพแสดงระบบวัดรังสีแกรมมา.....	41
4.4 กราฟแสดงความสัมพันธ์ระหว่างค่านับวัด และ LLD.....	41
4.5 ระบบทดสอบเก็บข้อมูล I_0	42
4.6 ข้อมูลโปรไฟล์ I_0	43
4.7 แสดงระยะห่างระหว่างหัวดรังสี และต้นกำเนิดรังสีที่มุ่งต่าง ๆ	44
4.8 แสดง Angular Independent ของหัวดรังสี.....	44
4.9 รีังงานทดสอบระบบสแกนเก็บข้อมูลโปรไฟล์.....	45
4.10 แผนภาพแสดงระบบสแกนเก็บข้อมูลโปรไฟล์.....	45
4.11 ข้อมูลโปรไฟล์ที่ไม่ได้ผ่านการปรับแก้.....	46
4.12 ข้อมูลโปรไฟล์ที่ผ่านการปรับแก้ค่า I_0 แล้ว.....	46
4.13 กราฟแสดงการทดสอบแบบ Edge-Spread Function.....	51
4.14 ผลการทดสอบความคมชัด.....	51
4.15 แสดงการติดตั้งใช้งานระบบสแกนภาคสนาม.....	56
4.16 แสดงการใช้งานภาคสนาม.....	56

บทที่ 1

บทนำ

1.1 ความเป็นมาและความสำคัญของปัญหา

ในปัจจุบันเทคนิคการคำนวนสร้างภาพໂທໂມກຣາຟີໄດ້ຖືກນຳມາໃຫ້ປະໂຍບົນອ່າງແພວ່ພລາຍໜັງໃນທາງການແພທຍໍແລະໃນຈານອຸຕສາහກຮຽມ ລວມເລິງການໃຫ້ໃນທາງດ້ານການທຳນຸ້ນໆຈຸງຕືລປະວັດນອຮຽມທີ່ໄດ້ເຮີມມີການໃຫ້ເທັນືນີ້ນັ້ນແລ້ວ ທີ່ການคำນวนสร้างภาพໂທໂມກຣາຟີນີ້ເປັນເທັນືນີ້ການກວດສອບແບບໄໝທຳລາຍ ໂດຍການປະຢູກຕີໃຫ້ຮັງສີເພື່ອການກວດສອບໂຄຮງສ້າງກາຍໃນຂອງວັດຖຸນິດຕ່າງໆ ທີ່ເປັນວິທີທີ່ໄໝຜ່າວດເຮົວ ແລະໄໝທຳລາຍວັດຖຸນັ້ນອີກດ້ວຍ ຮະບນສແກນເກັບຂໍ້ມູນສໍາຮັບການคำນวนสร้างภาพໂທໂມກຣາຟີທີ່ໃຫ້ກັນຍູ້ທ່ວ່າໄປມັກມີຂາດໃໝ່ ແລະເຄີ່ອນຍ້າຍໄໝສະດວກຈຶ່ງໄດ້ມີແນວຄວາມຄິດທີ່ຈະພົມນາຮບສແກນດ້ວຍຮັງສີແກນມາໜີດເຄີ່ອນຍ້າຍໄດ້ສໍາຮັບການคำນวนສ້າງກາຍໂທໂມກຣາຟີທີ່ມີຂາດເລີກ ແລະນໍ້າຫັກເບາ ເພື່ອໃຫ້ສາມາດເຄີ່ອນຍ້າຍໄປໃຊ້ງານໃນທີ່ຕ່າງໆ ໄດ້ສະດວກຍິ່ງໜີ້ນີ້ ຮະບນສແກນເກັບຂໍ້ມູນທີ່ພົມນາຂຶ້ນຈະອາຍ້ຫລັກການສ້າງສີແກນມາຜ່ານວັດຖຸຕ້ວຍ່າງ ແລ້ວໃໝ່ຫວັດຮັງສີທີ່ມີຂາດເລີກ ແລະນໍ້າຫັກເບາ ວັດຄວາມເຂັ້ມຂົງຮັງສີແກນມາທີ່ທະລຸຜ່ານວັດຖຸຕ້ວຍ່າງທີ່ທຳການກວດສອບໃນນຸ່ມຕ່າງໆ ແລ້ວນຳມາດຳນວນສ້າງກາຍໂທໂມກຣາຟີ ໂດຍໂປຣແກຣມທີ່ພົມນາຂຶ້ນເພື່ອໃຫ້ສາມາດໃຊ້ງານໄດ້ກັບໄມ້ໂຄຮກມີພິວເຕອນ ຮະບນສແກນດັ່ງກ່າວຈະມີປະໂຍບົນໃນການປະຢູກຕີຍ່າງນັກໃນດ້ານອຸຕສາහກຮຽມ ແລະການທຳນຸ້ນໆຈຸງຕືລປະວັດນອຮຽມ ເພຣະຈະທຳໃຫ້ສາມາດກວດສອບຮາຍລະເອີ້ດໂຄຮງສ້າງກາຍໃນທີ່ຕ້ອງການກວດສອບໃນລັກຜະນະຂອງກາພັດຂວາງໂດຍໄໝທຳລາຍວັດຖຸນັ້ນໆ

1.2 ວັດຖຸປະສົງຂອງການວິຈີ

ເພື່ອອົກແບບແລະສ້າງຮບສແກນດ້ວຍຮັງສີແກນມາພັດງານຕໍ່ໜີດເຄີ່ອນຍ້າຍໄດ້ສໍາຮັບການคำນวนສ້າງກາຍໂທໂມກຣາຟີ

ศູນຍວຍທັພຍາກ
ຈຸ່າພາສົງກຣນ໌ມ໌ຫາວິທາລ້ຍ

1.3 ขอบเขตของการวิจัย

1. ออกแบบและสร้างระบบสแกนชนิดเคลื่อนย้ายได้ โดยใช้รังสีแกมมาเพลิงงานต่ำชั้งประกอบด้วยระบบวัดรังสี ระบบกลasmaรับสแกนเก็บข้อมูล วงจรเชื่อมโยงระหว่างระบบสแกนกับไมโครคอมพิวเตอร์ และโปรแกรมที่ทำหน้าที่ควบคุมการทำงานของระบบสแกน และรับข้อมูลโปรแกรม
2. ทดลองเก็บข้อมูลโปรแกรมของขั้นงานบางชนิดด้วยระบบสแกนที่พัฒนาขึ้นและนำไปคำนวณสร้างภาพโดยไมกราฟฟิค

1.4 ขั้นตอนและวิธีการในการดำเนินการวิจัย

1. ศึกษา ค้นคว้าทฤษฎี และงานวิจัยที่เกี่ยวข้อง
2. ออกแบบและสร้างระบบที่เคลื่อนย้ายได้สำหรับสแกนเก็บข้อมูล
3. ออกแบบและสร้างวงจรเชื่อมโยงระหว่างระบบสแกนกับเครื่องไมโครคอมพิวเตอร์ เพื่อควบคุมการทำงานและรับข้อมูลโปรแกรม
4. ทดสอบ และปรับปรุงการทำงานของระบบที่พัฒนาขึ้น
5. ทดลองเก็บข้อมูลโปรแกรมตัวอย่างบางชนิดและคำนวณสร้างภาพโดยไมกราฟฟิค
6. สรุปผลการทดลอง และเขียนรายงาน

1.5 ประโยชน์ที่คาดว่าจะได้รับ

ได้ระบบสแกนด้วยรังสีแกมมาเพลิงงานต่ำชนิดเคลื่อนย้ายได้สำหรับการคำนวณสร้างภาพโดยไมกราฟฟิคซึ่งเป็นประโยชน์สำหรับการตรวจสอบโดยไม่ทำลายในงานด้านอุตสาหกรรมและการทำนุบำรุงศิลปวัฒนธรรม

**ศูนย์วิทยทรัพยากร
จุฬาลงกรณ์มหาวิทยาลัย**

1.6 เอกสารและงานวิจัยที่เกี่ยวข้อง

1.6.1 ในปี 2536 มงคล วรรณประภา^[1] ได้พัฒนาวิธีการเก็บข้อมูลเพื่อการคำนวณสร้างภาพโดยมีการฟีดแบคด้วยเทคนิค Convolution Back Projection โดยใช้ระบบสแกนด้วยรังสี gamma ต้นกำเนิดรังสีซีเรียม-137 พลังงาน 662 keV ความแรง 1,110 MBq และใช้หัววัดรังสีแบบชินทิลเลชันชนิดโซเดียมไอโอดีด (ทัลเลียม) ขนาด 2 นิ้ว \times 2 นิ้ว ซึ่งมุ่งเน้นไปที่เสาคอนกรีตเสริมเหล็กเพื่อหาตำแหน่ง และขนาดของเส้นเหล็ก ขีดความสามารถในการสแกนจากเสาคอนกรีตเสริมเหล็กขนาด 20×20 เซนติเมตร ซึ่งจำนวน Projection เพียงพอต่อการคำนวณสร้างภาพนั้น เท่ากับ 18 โปรไฟล์ มุมหมุนไปทีละ 10 องศา ระยะห่างระหว่างเรย์ซัมของการเคลื่อนที่นั้น เท่ากับ 3 มิลลิเมตร ใช้เวลาเก็บข้อมูลประมาณ 4 ชั่วโมง ข้อมูลโปรไฟล์ที่เก็บอยู่ในหน่วยความจำของเครื่องคอมพิวเตอร์ จะถูกบันทึกอยู่ในแผ่นข้อมูล (Disk) และจึงค่อยนำไปประมวลผล สำหรับภาพโดยมีการฟีดแบคด้วยเส้นเหล็กที่มีเส้นผ่านศูนย์กลางขนาด 8 มิลลิเมตรได้อย่างรวดเร็ว

1.6.2 ในปี 2538 สมยศ ศรีสติตย์ และ อรรถพร ภัทรสมันต์^[2] ได้ทำการวิจัยเรื่อง การคำนวณสร้างภาพโดยมีการฟีดแบคด้วยเทคนิคฟิล์มเพื่อการตรวจสอบแบบไม่ทำลาย โดยศึกษาการคำนวณสร้างภาพโดยมีการฟีดแบคด้วยรังสีเอกซ์ ลงบนฟิล์มหลาย ๆ ระนาบ โดยมุมวัตถุทีละ 3.6 องศา จนได้ภาพอย่างน้อย 180 องศาแล้วนำภาพเอกซ์เรย์ไปอ่านค่าความด้าวที่เครื่องอ่านค่าความด้าวติดโน้มติที่ควบคุมด้วยโปรแกรมจากระบบไม่ โครงคอมพิวเตอร์ บันทึกข้อมูลโปรไฟล์ที่อ่านได้ลงบนแผ่นดิสก์ และจึงนำไปคำนวณสร้างภาพโดยมีการฟีดแบคด้วยโปรแกรมที่พัฒนาขึ้นด้วยเครื่องไม่โครงคอมพิวเตอร์ ใช้หลักการคอนวอลูชันฟิลเตอร์ แบคโปรเจคชัน โดยใช้ฟิลเตอร์ของ Shepp-Logan ในการคำนวณสร้างภาพ ได้ภาพโดยมีการฟีดแบคด้วยรังสีเอกซ์ที่มีความคมชัดและให้รายละเอียดดี

1.6.3 ในปี 2544 ประสิทธิ์ ศรีทิพย์รัศมี^[3] ได้พัฒนาเทคนิคการเก็บข้อมูลแบบรวมเฟรมสำหรับการคำนวณสร้างภาพโดยมีการฟีดแบคด้วยระบบโทรศัพท์ ที่สามารถทำได้รวดเร็วและได้ภาพที่มีคุณภาพดีขึ้น ซึ่งเป็นประโยชน์ในด้านการตรวจสอบโดยไม่ทำลายในทางอุตสาหกรรม โดยทำการทดสอบด้วยชิ้นงานต่าง ๆ พบร่วมเมื่อเพิ่มจำนวนเฟรมที่นำมาเฉลี่ย ทำให้ค่า Pixel noise ที่ได้จากค่าข้อมูลของภาพโดยมีการฟีดแบคลดลงอย่างรวดเร็ว และได้คุณภาพของภาพโดยมีการฟีดเข้าอย่างมีนัยสำคัญ

1.6.4 ในปี 1999 D.V. Rao, R. Cesareo, A. Brunetti^[4] ได้ทำงานวิจัยเรื่อง "Computed tomography with image intensifier imaging and characterization of materials" เป็นการสร้างภาพโดยไมโครไฟฟ์ เพื่อหาคุณลักษณะของวัสดุนิดต่าง ๆ เช่น เซรามิก ชิวนหุ่มสายไฟฟ้า ไม้ เป็นต้น โดยได้มีการนำเข้าจากเพิ่มความเข้มแสงให้ในระบบสแกน และทำการพัฒนาโปรแกรมด้วยโปรแกรม PASCAL ในการคำนวณสร้างภาพโดยไมโครไฟฟ์ ผลจาก การศึกษาที่พัฒนาต่าง ๆ กับแผ่นกรองรังสีที่ใช้ค่าที่ดีที่สุด ได้ภาพโดยไมโครไฟฟ์ของวัสดุมีรายละเอียดดี



บทที่ 2

แนวคิดและทฤษฎี

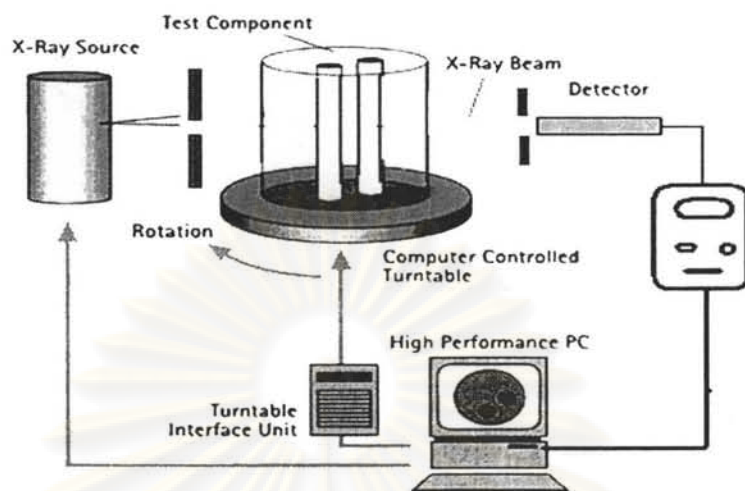
2.1 หลักการเก็บข้อมูลเพื่อการคำนวณสร้างภาพโทมографี

ภาพโทมографี คือ ภาพตัดขวางของวัตถุซึ่งเป็นภาพในระบบสองมิติที่มีจุดภาพแต่ละจุดแสดงถึงค่าสัมประสิทธิ์การลดthonเชิงเส้น (Linear Attenuation Coefficient) ใน การเก็บข้อมูลสำหรับคำนวณสร้างภาพโทมографีจะอาศัยหลักการทะลุผ่านของรังสีต่อวัตถุ โดย การสแกนเก็บข้อมูลด้วยอุปกรณ์รับรังสีที่ติดอยู่ด้านตรงข้ามกับตันกำเนิดรังสีโดยมีวัตถุระหว่าง กลางเมื่อทำให้วัตถุหมุนไปด้วยมุมน้อย ๆ ก็สแกนเก็บข้อมูลจนได้ข้อมูลเพียงพอ จากนั้นนำข้อมูล ที่ได้มาทั้งหมดมาคำนวณหาค่าสัมประสิทธิ์การลดthonเชิงเส้นพร้อมทั้งปรับปรุงคุณภาพของ ข้อมูลด้วยฟิลเตอร์ฟังก์ชัน และท้ายที่สุดนำข้อมูลที่ได้มาคำนวณด้วยวิธีฟิลเตอร์เบิกโปรดเจคชัน เพื่อสร้างภาพโทมографี โดยระบบการเก็บข้อมูลสามารถแบ่งระบบการทำงานออกได้เป็น 3 แบบ ได้แก่

2.1.1 ระบบสแกนแบบลำรังสีแคบ (Narrow Beam)

ลักษณะการทำงานของระบบคือ ใช้ลำรังสีแบบแคบหนึ่งลำ ให้หัววัดรังสี 1 หัว ใน การเก็บข้อมูลปริมาณความเข้มรังสี เพื่อนำไปคำนวณสร้างภาพโทมографี หลักการทำงานของ ระบบสแกนแบบนี้แบ่งออกได้เป็น 2 แบบ คือ แบบแรกให้วัตถุเคลื่อนที่ตัดลำรังสีในลักษณะที่วัตถุ เคลื่อนที่ไปพร้อมกับตันกำเนิดรังสี โดยที่วัตถุเคลื่อนที่ไปพร้อมกับตันกำเนิดรังสีโดยที่วัตถุตัวอย่าง อยู่กับที่ ลักษณะการเคลื่อนที่แบบที่สองก็เช่นเดียวกับแบบแรกคือ เคลื่อนที่ในแนวเส้นตรงที่ลักษณะ step หรือเรียกอีกอย่างหนึ่งว่า การสแกนระยะทางที่เคลื่อนที่ได้แต่ละ step จะเท่ากับขนาดของ ช่องรับรังสีของหัววัดนั้น เมื่อสิ้นสุดการสแกน 1 แต่ จะได้ข้อมูลที่เรียกว่า "โปรไฟล์ (Profile)" หรือ "โปรดเจคชัน (Projection)" และหมุนไปเป็นมุมน้อย ๆ จนครบ 180 องศา

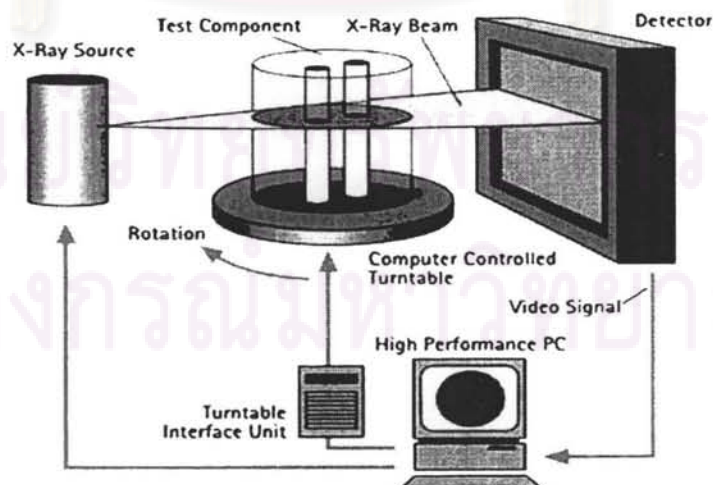
ศูนย์วิทยาการ
จุฬาลงกรณ์มหาวิทยาลัย



รูปที่ 2.1 ระบบสแกนแบบลำรังสีแคบ

2.1.2 ระบบสแกนแบบลำรังสีรูปพัด (Fan Beam)

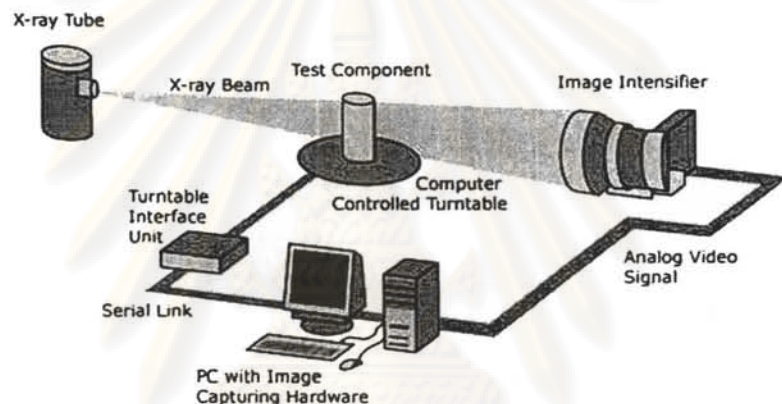
เนื่องจากระบบสแกนรังสีลำแคบ ใช้เวลาในการเก็บข้อมูลปริมาณความเข้มรังสีมาก จึงได้มีการพัฒนาระบบสแกนแบบลำรังสีรูปพัดขึ้นมา เพื่อลดเวลาในการเก็บข้อมูล โดยมีลำรังสีเป็นแบบพัด ให้หัววัดรังสีแบบ Linear detector array หลักการทำงานจะคล้ายกับระบบสแกนแบบแรก จะต่างกันเมื่อหมุนไปแต่ละครั้งจะสามารถเก็บข้อมูลโปรไฟล์ โดยไม่ต้องสแกนเพราะ สามารถเก็บข้อมูลทั้งโปรไฟล์ จึงเป็นผลให้ระบบสแกนนี้ใช้เวลาในการเก็บข้อมูลนั้นอย่างชั้น เป็นการเก็บข้อมูลโปรไฟล์ สามารถที่จะออกแบบให้วัตถุตัวอย่างหมุนเคลื่อนที่ หรือออกแบบให้หัววัดหมุนเคลื่อนที่ไปพร้อมๆ กับต้นกำเนิดรังสีก็ได้ ดังรูปที่ 2.2



รูปที่ 2.2 ระบบสแกนลำรังสีรูปพัด

2.1.3 ระบบสแกนแบบลำรังสีรูปกรวย (Cone Beam)

ระบบสแกนแบบนี้ถูกสร้างขึ้น เพื่อให้สามารถสร้างรายละเอียดของภาพได้สองมิติ (Two Dimension) คือ ระนาบในแนวแกนบนกับระนาบในแนวแกนตั้ง โดยออกแบบให้ลำรังสีเป็นแบบรูปกรวย (Cone Beam Detector Array) ซึ่งจะมีหัววัดเรียงกันมากกว่า 1 แผ่น และในแต่ละแผ่นจะมีหัววัดรังสีอยู่หลายอัน หรืออาจใช้แผ่นเรืองแสงรับภาพ และมีกล้องโทรทัศน์จับภาพ โดยระบบสแกนแบบนี้ จะใช้เวลาในการเก็บข้อมูลไปไฟล์น้อยกว่าทั้งสองระบบที่กล่าวมา ดังรูปที่ 2.3 สำหรับขั้นตอนการเก็บข้อมูลไปไฟล์นั้นจะต้องใช้เทคนิคทางอิเล็กทรอนิกส์ค่อนข้างสูงจึงจะได้ข้อมูลที่ให้ความละเอียดและชัดเจน



รูปที่ 2.3 ระบบสแกนลำรังสีรูปกรวย

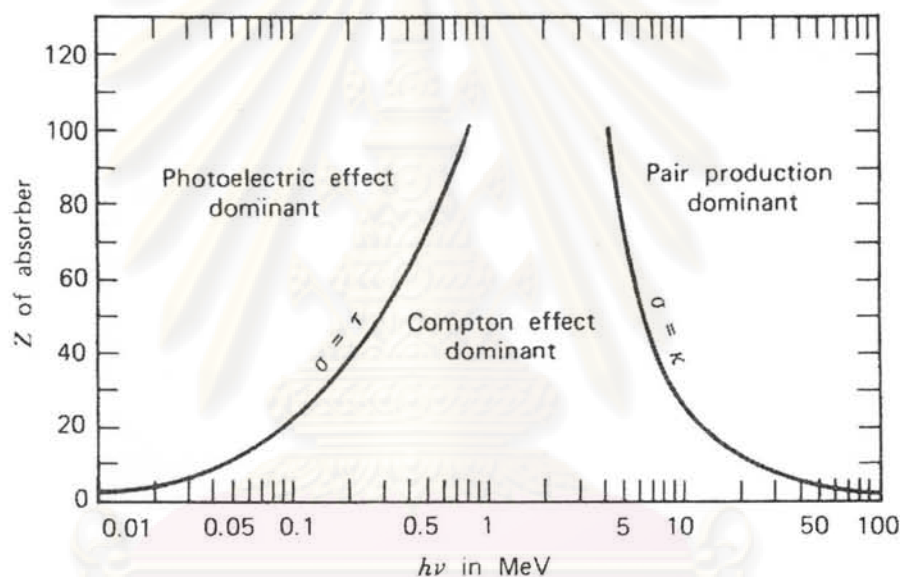
2.2 ทฤษฎีการคำนวนสร้างภาพโดยไมกราฟี

จากที่ได้อธิบายข้างต้น เพื่อให้สามารถเข้าใจถึงการคำนวนสร้างภาพโดยไมกราฟีได้จำเป็นต้องทำความเข้าใจถึงลักษณะของการลดTHONของรังสีเมื่อทะลุผ่านตัวกลางก่อน จากนั้นจึงจะศึกษาเกี่ยวกับเทคนิคและวิธีการสร้างภาพโดยไมกราฟี

2.2.1 การทำอันตรกิริยาของรังสีแกมมา (Gamma-ray Interactions)

รังสีแกมมาเป็นคลื่นแม่เหล็กไฟฟ้าความถี่สูง เมื่อเคลื่อนที่ผ่านตัวกลางจะสามารถเกิดอันตรกิริยา (Interaction) กับตัวกลาง 4 ชนิดคือ นิวเคลียส (Nucleons) อิเล็กตรอน (Atomic Electron) สนามไฟฟ้าของอะตอม (Electric Field of Atom) และสนามเมฆอนของนิวเคลียส (Meson Field of Nucleus) อันตรกิริยากับตัวกลางแต่ละชนิดสามารถเกิดได้ 3 รูปแบบ คือ การถ่ายเทพลังงานอย่างสมบูรณ์ (Complete Absorption) การกระเจิงแบบยืดหยุ่น (Elastic

Scattering) และการกระเจิงแบบไม่มีอิเดนที่ (Inelastic Scattering) กล่าวคือปรากฏการณ์ที่ไฟต่อนสามารถเกิดอันตรกิริยาในทางทฤษฎีได้ทั้งหมด 12 รูปแบบ แต่ในอันตรกิริยานางชนิดยังไม่สามารถพบเห็นได้ในปัจจุบัน และแม้ว่ารังสีแกรมมาจะสามารถเกิดอันตรกิริยาได้หลายรูปแบบ แต่ มีเพียง 3 รูปแบบที่มีความสำคัญ คือ การเกิดไฟโตอิเล็กทริก (Photoelectric Effect) การกระเจิงแบบคอมป์ตัน (Compton Scattering) และการเกิดแพร์เพอร์ดักชัน (Pair Production) โดยการของ การเกิดอันตรกิริยาทั้ง 3 รูปแบบนี้ขึ้นอยู่กับคุณสมบัติของตัวกลางและพลังงานของไฟต่อน เมื่อ พลังงานของไฟต่อนมีพลังงานต่ำจะมีโอกาสเกิดไฟโตอิเล็กทริกได้ดี แต่เมื่อพลังงานสูงขึ้นโอกาส ในการเกิดอันตรกิริยาในอีก 2 รูปแบบจะเพิ่มขึ้น และการเกิดไฟโตอิเล็กทริกก็จะน้อยลง^[3]

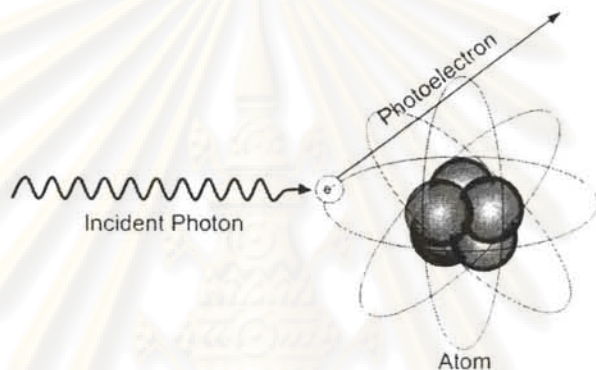


รูปที่ 2.4 กราฟแสดงความสัมพันธ์ระหว่างอันตรกิริยาของรังสีเอกซ์กับคุณสมบัติของตัวกลางและ พลังงานของไฟต่อน

**ศูนย์วิทยาทรัพยากร
จุฬาลงกรณ์มหาวิทยาลัย**

2.2.1.1 การเกิดไฟโตอิเล็กทริก

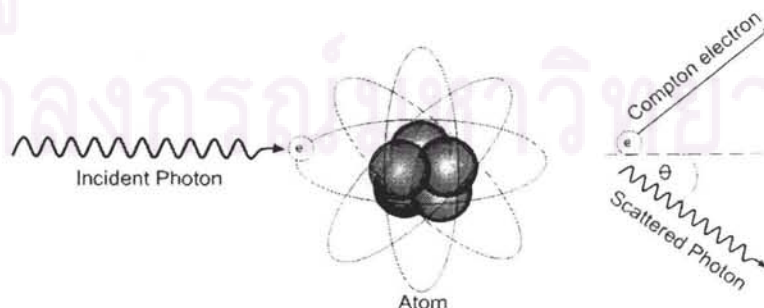
เป็นการทำอันตรกิริยาของไฟต่อนกับอิเล็กตรอนที่ล้อมรอบนิวเคลียสของอะตอมของตัวกลาง ด้วยการถ่ายเทพลังงานให้อิเล็กตรอนทั้งหมดทำให้อิเล็กตรอนหลุดจากวงโคจรเป็นอิสระ อะตอมจะกลับเป็นไออ่อนบาง สำหรับอิเล็กตรอนที่ได้รับพลังงานของไฟต่อนหลุดออกไบนี้เรียกว่า “ไฟโตอิเล็กตรอน” การสูญเสียอิเล็กตรอนดังกล่าว จะต้องมีการรักษาสมดุลโครงสร้าง โดยการลดระดับพลังงานของอิเล็กตรอนและปลดปล่อยรังสีเอกซ์เฉพาะตัว (Characteristic X-ray) ออกมาดังรูปที่ 2.5



รูปที่ 2.5 การเกิดปรากฏการณ์ไฟโตอิเล็กทริก

2.2.1.2 การกระเจิงแบบคอมปิตัน

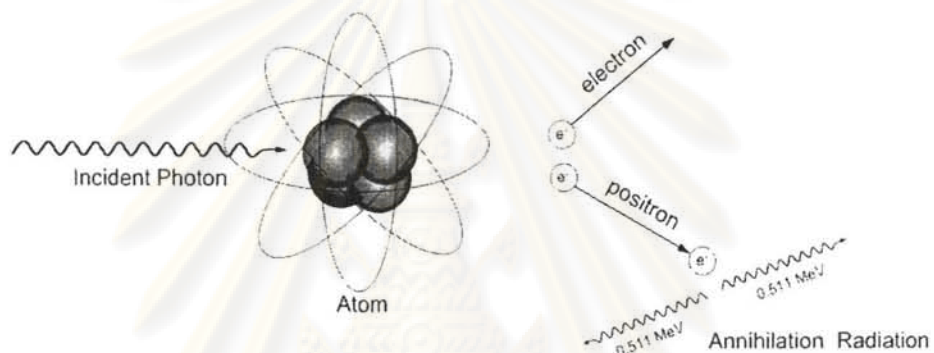
เป็นการทำอันตรกิริยาของไฟต่อนกับอิเล็กตรอนอิสระรอบนิวเคลียส หรืออิเล็กตรอนที่วงนอก แต่การชนทำให้อิเล็กตรอนได้รับพลังงานบางส่วนจากไฟต่อนและกระเจิงออกจากวงโคจรไป อิเล็กตรอนที่กระเจิงออกไบเรียกว่า “รีคอยล์ อิเล็กตรอน” (Recoil Electron) ส่วนไฟต่อนจะมีพลังงานลดลงและกระเจิงต่อไปอีกทางหนึ่งดังรูปที่ 2.6



รูปที่ 2.6 การเกิดปรากฏการณ์คอมปิตัน

2.2.1.3 การเกิดแพร์ไพรดักชัน

เป็นการทำอันตรกิริยาของโฟตอนกับสนามไฟฟ้ารอบนิวเคลียส ในกรณีที่โฟตอนมีพลังงานสูงมากจะเคลื่อนที่ฝ่าบริเวณขั้นโคจรอิเล็กตรอนบริเวณใกล้นิวเคลียส ซึ่งมีความเข้มสนามไฟฟ้าสูง โฟตอนจะหายไปและเกิดเป็นอิเล็กตรอนกับโพซิตรอนขึ้น จากนั้นในช่วงเวลาอันสั้นโพซิตรอนจะจับอิเล็กตรอนอิสระบริเวณใกล้เคียงเกิดการสลายมวล (Annihilation) ทันทีกลายเป็นรังสีแกมมา 2 ตัวปลดปล่อยออกมายังทิศทางทำมุม 180 องศา โดยรังสีแกมมาแต่ละตัวมีพลังงานจากการสลายมวล 0.511 MeV ดังในรูปที่ 2.7



รูปที่ 2.7 การเกิดแพร์ไพรดักชันและ Annihilation

2.2.2 สัมประสิทธิ์การลดthonเชิงเส้นของรังสีแกมมา (Linear Attenuation Coefficient of Gamma ray)

เมื่อรังสีแกมมาเคลื่อนที่ผ่านตัวกลางใด ๆ ตัวกลางนั้นจะดูดกลืนรังสีแกมมาไว้ด้วยอันตรกิริยาต่าง ๆ ทำให้ปริมาณของรังสีที่ผ่านตัวกลางออกมาน้อยลง การลดลงของรังสีจะเป็นไปตามกฎของแอลเบิร์ต (Lambert's Law) ดังนี้

$$I = I_0 e^{-\mu x} \quad \dots(2.1)$$

เมื่อ I ความเข้มรังสีหลังผ่านตัวกลางความหนา x

I_0 ความเข้มรังสีก่อนผ่านตัวกลาง

μ สัมประสิทธิ์การลดthonเชิงเส้น

x ความหนาของตัวกลาง

จากสมการของแอลเมเบิร์ตเห็นได้ว่าปริมาณรังสีที่ผ่านตัวกลางจะลดลงตามความหนาและสัมประสิทธิ์การลดthonเชิงเส้น โดยค่าสัมประสิทธิ์การลดthonเชิงเส้นนี้อยู่กับพลังงานของรังสี gamma และคุณสมบัติของตัวกลาง สำหรับลักษณะการลดลงของรังสี gamma เมื่อผ่านตัวกลางลักษณะต่าง ๆ กัน แสดงไว้ดังรูปที่ 2.8 โดยกรณีแรกแสดงการที่รังสีผ่านตัวกลางชนิดเดียว แสดงไว้ดังรูปที่ 2.8(a) จากกราฟ ได้ภาพเห็นได้ว่าปริมาณรังสีที่ลดลง ณ ตำแหน่งต่าง ๆ ของตัวกลางเป็นแบบเอกซ์ปีเพนเชียลดตามสมการของแอลเมเบิร์ต กรณีที่สองแสดงการที่รังสีผ่านตัวกลางสองชนิดดังรูป 2.8(b) จากกราฟ ได้ภาพเมื่อรังสีเคลื่อนที่ผ่านบริเวณที่เป็นสีขาวซึ่งเป็นตัวกลางที่มีค่าสัมประสิทธิ์การลดthonเชิงเส้นสูงกว่าบริเวณที่เป็นสีเข้ม เห็นได้ว่าในบริเวณที่มีค่าสัมประสิทธิ์การลดthonเชิงเส้นสูง การลดลงของรังสีจะมากกว่าบริเวณที่มีค่าสัมประสิทธิ์การลดthonเชิงเส้นต่ำกว่าปริมาณรังสีที่ทะลุผ่านตัวกลางสองชนิดสามารถคำนวณได้จากสมการที่ (2.2)

$$I = I_0 e^{-(\mu_1 x_1 + \mu_2 x_2)} \quad \dots(2.2)$$

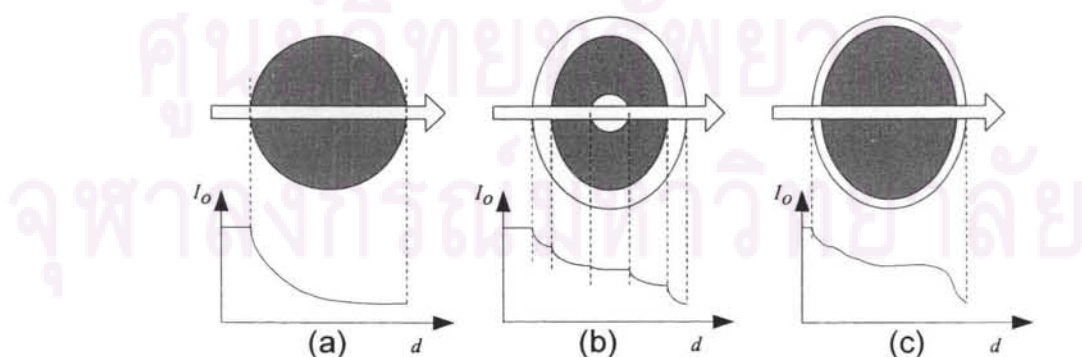
เมื่อ μ_1, μ_2 สัมประสิทธิ์การลดthonเชิงเส้นของตัวกลางที่ 1 และ 2

x_1, x_2 ความหนาของตัวกลางที่ 1 และ 2

และสำหรับกรณีสุดท้ายแสดงการที่รังสีผ่านตัวกลางหลาย ๆ ชนิดดังรูปที่ 2.8(c) ปริมาณรังสีที่ทะลุผ่านตัวกลางหลาย ๆ ชนิดสามารถคำนวณได้จากสมการที่ (2.3)

$$I = I_0 e^{-\int \mu(s) dx} \quad \dots(2.3)$$

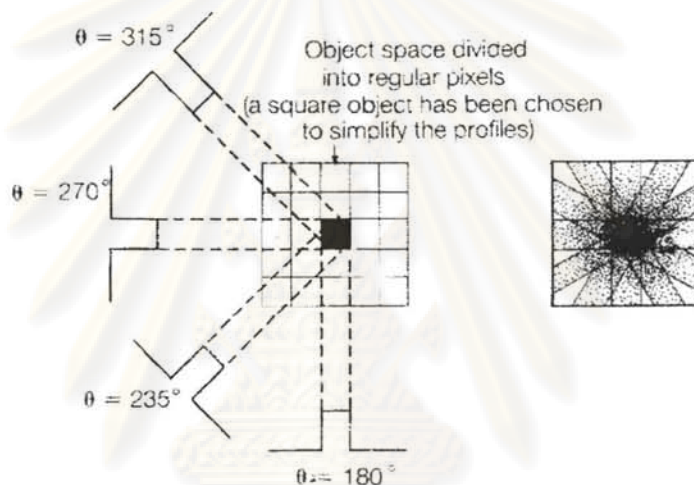
เมื่อ $\mu(s)$ สัมประสิทธิ์การลดthonเชิงเส้นที่ตัวกลางต่าง ๆ



รูปที่ 2.8 ลำรังสี gamma ที่เคลื่อนที่ผ่านตัวกลางลักษณะต่างๆ

2.2.3 วิธีการแบ็กโปรเจกชัน (Back Projection Method)

แบ็กโปรเจกชันเป็นวิธีที่ใช้ในการสร้างภาพトイมกราฟฟิโดยอาศัยการนำชุดข้อมูลของปริมาณรังสีที่ทะลุผ่านวัตถุในแต่ละมุมมาทำการฉายกลับลงมาบนตำแหน่งเดิมที่รังสีเดินทางผ่านเพื่อสร้างภาพトイมกราฟฟิ ด้วยวิธีการแบ็กโปรเจกชันแสดงไว้ในรูปที่ 2.9 ซึ่งด้านซ้ายมือ เป็นภาพของวัตถุที่จะสร้างภาพトイมกราฟฟิพร้อมกับข้อมูลโปรเจกชันที่มุมหนึ่ง ส่วนภาพด้านขวาเป็นการฉายกลับโดยนำชุดข้อมูลของค่าสัมประสิทธิ์การลดทอนเชิงมุมต่าง ๆ มา하여ซึ่งจะได้ภาพトイมกราฟฟิตามภาพด้านขวา^[2]

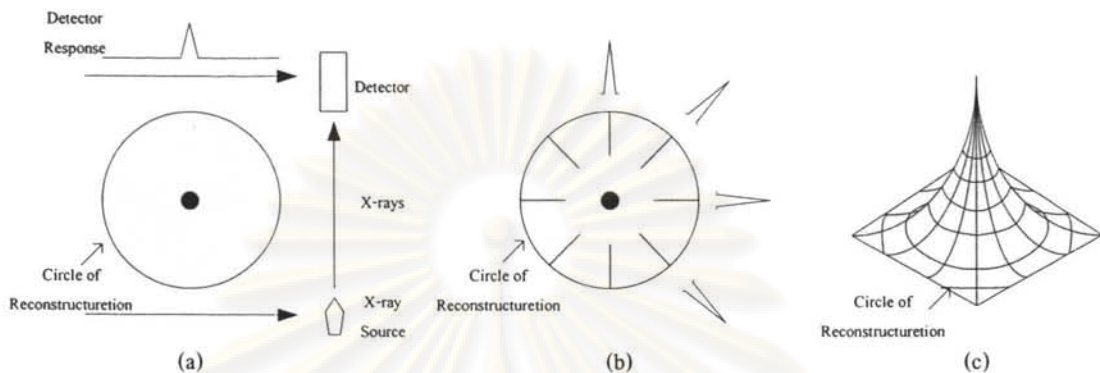


รูปที่ 2.9 วิธีการแบ็กโปรเจกชัน

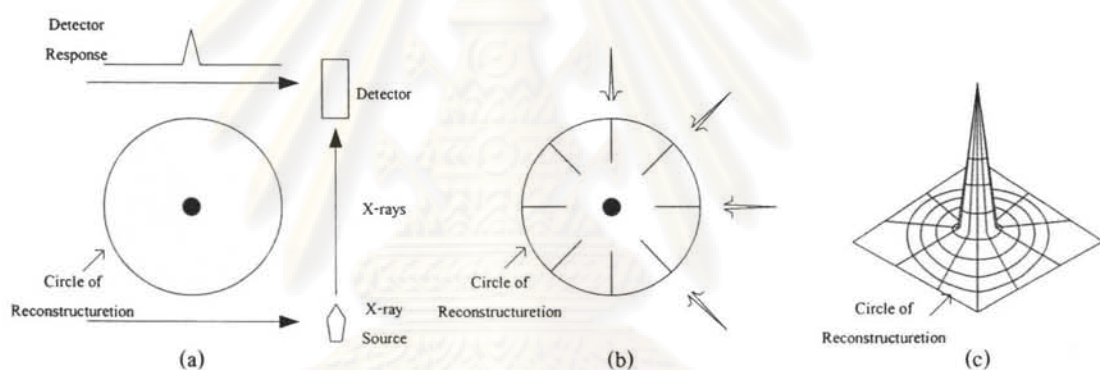
2.2.4 พิลเตอร์ฟังก์ชัน (Filter Function)

ในการสร้างภาพトイมกราฟฟิด้วยวิธีแบ็กโปรเจกชัน ข้อมูลของทุกโปรเจกชันจะถูกรวมเข้าไปในแต่ละส่วนของภาพトイมกราฟฟิ ทำให้ภาพที่ได้เกิดความมัวขึ้นดังตัวอย่างในรูปที่ 2.10 ซึ่งเป็นการสร้างภาพトイมกราฟฟิด้วยวิธีแบ็กโปรเจกชันของวัตถุที่มีลักษณะเป็นจุด เป็นโปรแกรมของภาพหลังจากการแบ็กโปรเจกชันแล้วไปรีไฟล์ของภาพที่ได้มีลักษณะดังรูปที่ 2.10(c) ซึ่งความเป็นจริงจะมีลักษณะดังรูปที่ 2.11(c) แต่ด้วยวิธีแบ็กโปรเจกชันทำให้ภาพトイมกราฟฟิเกิดความมัวขึ้น การแก้ปัญหาดังกล่าวทำได้โดยการใช้พิลเตอร์ฟังก์ชันปรับปรุงข้อมูลโปรดไฟล์ที่จะใช้ในการแบ็กโปรเจกชันเพื่อให้ภาพトイมกราฟฟิมีคุณภาพดีขึ้นดังในรูปที่ 2.11 ซึ่งเป็นการสร้างภาพトイมกราฟฟิของวัตถุเหมือนกับในรูปที่ 2.10 และ 2.11 จะใช้พิลเตอร์ฟังก์ชันในการปรับปรุงข้อมูลโปรดไฟล์ก่อนการสร้างภาพトイมกราฟฟิ จากรูปที่ 2.11(b) โปรดไฟล์ของข้อมูลบริเวณขอบของวัตถุจะมี

ความแตกต่างมากขึ้นทั้งนี้เพื่อช่วยให้ความแม่นยำของภาพトイโมกราฟีลดลง ดังรูปที่ 2.11(c) ซึ่งโปรดิจิตอล์ของภาพมีความคมชัดมากขึ้นเมื่อเทียบกับรูปที่ 2.10(c)



รูปที่ 2.10 ภาพトイโมกราฟีที่ไม่ผ่านฟิลเตอร์ฟังก์ชัน



รูปที่ 2.11 ภาพトイโมกราฟีที่ผ่านฟิลเตอร์ฟังก์ชัน

2.2.5 วิธีฟิลเตอร์แบ็กโปรเจกชัน (Filter Back Projection Method)

วิธีฟิลเตอร์แบ็กโปรเจกชัน เป็นวิธีการสร้างภาพトイโมกราฟีวิธีหนึ่งที่ใช้เทคนิคการแปลงฟูริเยร์ (Fourier Transform) เป็นพื้นฐาน พิจารณาฟังก์ชันการแปลงฟูริเยร์ 2 มิติ $F(X, Y)$ ของฟังก์ชัน $f(x, y)$

$$F(X, Y) = \int_{-\infty}^{\infty} \int_{-\infty}^{\infty} f(x, y) e^{-i(Xx+Yy)} dx dy \quad \dots(2.4)$$

เขียนฟังก์ชัน $f(x, y)$ ในพิกัด (r, θ) โดยที่แกน r ทำมุม θ กับแกนหมุน x ของระบบจะได้ฟังก์ชันการแปลงฟูริเยร์ $F(X, Y)$ เป็น

$$F(X, Y) = \int_{-\infty}^{\infty} \int_{-\infty}^{\infty} f(r, s) e^{-i(X(r \cos \theta - r \sin \theta) + Y(r \sin \theta + r \cos \theta))} dr ds$$

$$F(X, Y) = \int_{-\infty}^{\infty} \int_{-\infty}^{\infty} f(r, s) e^{-i[rX \cos \theta - rX \sin \theta + rY \sin \theta + rY \cos \theta]} dr ds$$

เมื่อกำหนดให้ $R = X \cos \theta + Y \sin \theta$

$$S = Y \cos \theta - X \sin \theta$$

จะได้ $F(X, Y) = \int_{-\infty}^{\infty} \int_{-\infty}^{\infty} f(r, s) e^{-i[rR + sS]} dr ds \quad \dots(2.5)$

$$F(X, Y) = F_{\theta}(R, S)$$

สมการที่ 2.5 สืบให้ทราบว่า ถ้า $f_{\theta}(r, s)$ หมุนจาก $f(x, y)$ ไปเป็นมุน θ พังก์ชันการแปลงฟูริเยร์ $F_{\theta}(R, S)$ ก็หมุนจาก $F(X, Y)$ เป็นมุน θ เช่นกัน

พิจารณาฟังก์ชันภาพฉาย $P(\theta, r)$

$$P(\theta, r) = \int_{-\infty}^{\infty} f_{\theta}(r, s) ds \quad \dots(2.6)$$

และฟังก์ชันการแปลงฟูริเยร์ $P(\theta, R)$ ของ $P(\theta, r)$ คือ

$$P(\theta, r) = \int_{-\infty}^{\infty} \int_{-\infty}^{\infty} f_{\theta}(r, s) e^{-iRs} ds dr \quad \dots(2.7)$$

หากเปรียบเทียบสมการที่ (2.5) และสมการที่ (2.6) จะได้ว่า $P(\theta, R)$ มีค่าเทียบเคียงได้กับ $F_{\theta}(R, S)$ ตามแนวแกน R หรือ

$$P(\theta, R) = F_{\theta}(R, S)|_{S=0} \quad \dots(2.8)$$

สมการที่ (2.8) คือ ทฤษฎีโปรเจคชัน-สไลซ์ (Projection-Slice Theorem) ซึ่งกล่าวว่า พังก์ชันการแปลงฟูริเยร์ 1 มิติของพังก์ชันภาพฉาย คือพังก์ชันการแปลงฟูริเยร์ 2 มิติของพังก์ชันเดิมตามแนวภาพฉายที่ตัดผ่านจุดกำเนิด

ดังนั้นถ้าหากมีข้อมูลพังก์ชันการแปลงฟูริเยร์ของฟังก์ชันภาพฉายจำนวนอนันต์มุมแล้ว
เราจะทราบค่าทุก ๆ จุดของ $F(X, Y)$ บนระนาบ (X, Y) เมื่อทราบค่า $F(X, Y)$ ก็สามารถ
คำนวณกลับได้เป็น $f(x, y)$ ด้วยการแปลงฟูริเยร์ผกผันได้ดังนี้

สมการที่ (2.9) สามารถเขียนให้อยู่ในระบบพิกัดเชิงมุมได้เป็น

$$f(x, y) = \frac{1}{4\pi^2} \int_0^{2\pi} \int_{-\infty}^{\infty} F(\theta, R) e^{iR(x \cos \theta + y \sin \theta)} R dR d\theta \quad \dots(2.10)$$

โดยที่ $F(\theta, R)$ เทียบเคียงได้กับพังก์ชัน $F_\theta(R, S)|_\theta$ ซึ่งจากทฤษฎีปรเจกชัน-สไลร์ ก็คือ $P(\theta, R)$ และด้วยคุณสมบัติการหมุนแบบสมมาตร เราทราบว่า $F(-\theta, R)$ มีค่าเท่ากับ $F(\theta + \pi, R)$ ดังนั้น

$$f(x, y) = \frac{1}{4\pi^2} \int_0^{2\pi} \int_{-\infty}^{\infty} P(\theta, R) e^{iRr} |R| dR d\theta \quad \dots(2.11)$$

สมการที่ (2.10) เป็นสมการที่ไม่มีขอบเขตจำกัด (Unbounded Function) เนื่องจาก $|R|$
มีค่าลู่ออก (Diversion) ดังนั้นค่า R จึงควรถูกกำหนดด้วยค่า ๆ หนึ่ง $|R| \leq \Omega$ กำหนดให้พังก์ชัน
ของการกรอง หรือฟิลเตอร์ฟังก์ชัน $H(R) = b(R)|R|$ โดยที่

$$b(R) = \begin{cases} 1 & \text{where } |R| \leq \Omega \\ 0 & \text{where } |R| > \Omega \end{cases} \quad \dots(2.12)$$

กำหนดให้ช่วงห่างของการเก็บข้อมูลตามแนวขาวง (Lateral Sampling) มีค่าเป็น a
ดังนั้น จากทฤษฎีบทการสุ่มตัวอย่าง (Sampling Theorem) จะได้ว่า

$$\Omega = 2\pi f_{\max} = \frac{\pi}{a} \quad \dots(2.13)$$

จากสมการที่ (2.11) ใช้ทฤษฎี convolution (Convolution) จะได้สมการการสร้างภาพโดย
ไมโครไฟ (Reconstruction Formula) เป็น

$$f(x, y) = \frac{1}{2\pi^2} \int_0^{\pi} \int_{-\infty}^{\infty} P(\theta, \tau) \cdot h(x \cos \theta + y \sin \theta - \tau) d\tau d\theta \quad \dots(2.14)$$

เมื่อ $h(r)$ เป็นการแปลงฟูริเยร์ผกผันของ $H(R)$ ซึ่งสามารถเขียนในรูปวิเคราะห์
(Analytic form) ได้เป็น

$$h(r) = \begin{cases} \frac{\Omega^2}{2\pi}, & r=0 \\ \frac{1}{2\pi} \left[\frac{2\Omega}{r} \sin(\Omega r) + \frac{2}{r^2} \cos(\Omega r) - \frac{2}{r^2} \right], & r \neq 0 \end{cases} \quad \dots(2.15)$$

ฟิลเตอร์ฟังก์ชัน $h(r)$ สามารถเขียนเป็นรูปไม่ต่อเนื่อง $h(r_k = ak)$ เมื่อ $k = 0, 1, 2, \dots, N-1$
ได้เป็น

$$\begin{aligned} h(0) &= \frac{\pi}{2a^2} \\ h(r_k) &= -\frac{2}{\pi k^2 a^2} \quad \text{เมื่อ } k \text{ เป็นเลขคู่} \\ h(r_k) &= 0 \quad \text{เมื่อ } k \text{ เป็นเลขคี่} \end{aligned} \quad \dots(2.16)$$

สมการที่ (2.16) คือ ฟิลเตอร์ฟังก์ชันของ Ramachandran ซึ่งมีลักษณะที่แก่ว่ามาก
ต่อมาก Shepp-Logan แนะนำฟิลเตอร์ฟังก์ชันที่แก่ว่าน้อยลงซึ่งทำให้ผลการคำนวณสร้างภาพให้
ไม่กราฟฟีดีขึ้น ดังสมการ

$$h(r_k) = -\frac{4}{\pi a^2 (4k^2 - 1)} , k = 0, \pm 1, \pm 2, \dots, \pm(N-1) \quad \dots(2.17)$$

สมการนี้เรียกว่า "Shepp & Logan Filter Function" เมื่อนำข้อมูลไปไฟล์จากการสแกน
มาผ่านการคำนวณด้วยฟิลเตอร์ฟังก์ชัน การคำนวณนี้จะเป็นการปรับข้อมูลให้สามารถแยกแยะ
รายละเอียดของข้อมูลให้เด่นชัดมากขึ้น ^[4]

การประมาณแบบไม่ต่อเนื่องของสมการการคำนวณสร้างภาพให้ไม่กราฟฟี ด้วยวิธีฟิลเตอร์
แบ็กโปรดเจกชัน สามารถเขียนได้เป็น

$$f(x, y) = \frac{1}{2\pi} \sum_{j=1}^M \sum_{k=1}^N P(\theta_j, r_k) \cdot h(x \cos \theta_j + y \sin \theta_j - r_k) \quad \dots(2.18)$$

เมื่อ M คือ จำนวนมุมของการเก็บข้อมูล หรือจำนวนไฟล์

N คือ จำนวนจุดของการสแกนเก็บข้อมูลในหนึ่งไฟล์

2.3 คุณภาพของภาพトイโมกราฟี (Quality of Computed Tomography Image)

จุดประสงค์ของการสร้างภาพトイโมกราฟีเพื่อสร้างภาพตัดขวางที่สามารถแสดงองค์ประกอบภายในของวัตถุได้โดยไม่ทำลาย ภาพトイโมกราฟีที่ดีจึงหมายถึงภาพที่สามารถแสดงรายละเอียดภายในของวัตถุได้ถูกต้องและชัดเจน การตรวจสอบคุณภาพของภาพトイโมกราฟีจึงมีความสำคัญอย่างยิ่งในการบ่งบอกถึงภาพトイโมกราฟีที่ดี และภาพトイโมกราฟีที่ดียังหมายความถึงระบบการคำนวณสร้างภาพトイโมกราฟีที่ดีอีกด้วย การตรวจสอบคุณภาพของภาพトイโมกราฟีมีหลายวิธี แต่วิธีที่นิยมใช้กันอย่างแพร่หลายมีดังนี้

2.3.1 Pixel noise

เนื่องจากเป็นไปไม่ได้ที่เราจะสร้างระบบที่ปราศจากสิ่งรบกวนเลย และสิ่งรบกวนก็เป็นปัจจัยอย่างหนึ่งที่ทำให้ภาพトイโมกราฟีที่ได้มีคุณภาพลดลง การวัดค่าสิ่งรบกวนของระบบจึงมีความสำคัญอย่างยิ่ง ในการหาค่าสิ่งรบกวนของระบบสามารถคำนวณได้จากค่าความเบี่ยงเบนมาตรฐานของ CT-number บริเวณหนึ่งของภาพトイโมกราฟีที่มีเนื้อสารเดียวกัน โดยแสดงอยู่ในรูปของค่า Pixel noise

การหาค่า Pixel noise ขั้นแรกต้องสร้างภาพトイโมกราฟีของวัตถุที่มีเนื้อสารนิดเดียวจากนั้นเลือกชุดข้อมูล CT-number มาจำนวนหนึ่ง (ควรเลือกจำนวนชุดข้อมูลให้อยู่ในช่วง 25 ถึง 100 ตัว ตามค่าแนะนำของ ASTM ฉบับที่ E 1441-97) จากนั้นคำนวณโดยใช้สมการดังต่อไปนี้

$$\bar{\mu} = \frac{1}{m} \sum_{i=1}^m \mu_i \quad \dots(2.19)$$

$$\sigma = \left[\frac{\sum_{i=1}^m (\mu_i - \bar{\mu})^2}{m-1} \right]^{\frac{1}{2}} \quad \dots(2.20)$$

เมื่อ $\bar{\mu}$ คือ ค่าเฉลี่ยของ CT-number ณ บริเวณที่เลือก

μ_i คือ ค่า CT-number ต่าง ๆ ที่เลือก

m คือ จำนวนชุดข้อมูลที่เลือก

σ คือ ค่าความเบี่ยงเบนมาตรฐานของค่า CT-number หรือ Pixel noise ณ บริเวณที่เลือก

จากสมการดังกล่าว ค่า Pixel noise ยังสามารถนำไปคำนวณหาค่าสัดส่วนสัญญาณต่อสิ่งรบกวนหรือที่นิยมเรียกว่าค่า SNR (Signal to Noise Ratio) โดยใช้สมการดังต่อไปนี้

$$SNR = \frac{\bar{\mu}}{\sigma} \quad \dots(2.21)$$

จากค่า Pixel noise และค่า SNR ที่ได้ทำให้สามารถบอกถึงคุณสมบัติของระบบได้โดยเมื่อค่า pixel noise น้อยหรือค่า SNR มากแสดงว่าระบบการคำนวณสร้างภาพโทไมกราฟีนั้นมีคุณสมบัติที่ดี เพราะระบบมีสิ่งรบกวนน้อย ในทางกลับกันถ้าค่า pixel noise มากหรือค่า SNR น้อยแสดงว่าระบบการคำนวณสร้างภาพโทไมกราฟีนั้นมีคุณสมบัติที่ไม่ดี

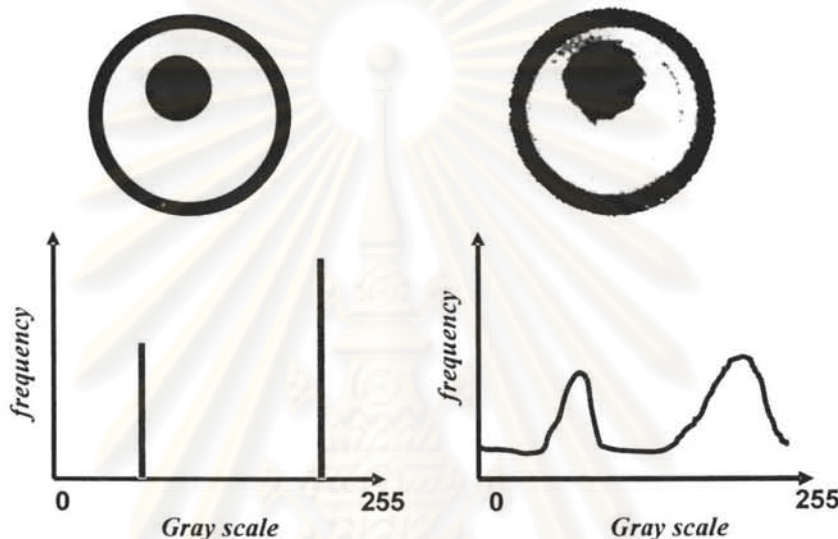
2.3.2 Probability Distribution Function (PDF)

PDF เป็นกราฟแจกแจงความถี่ที่แสดงค่าความถี่ที่ค่า CT-number ต่าง ๆ จากตัวอย่างของกราฟ PDF ในรูปที่ 2.12(a) เป็นกราฟ PDF ของภาพโทไมกราฟีในทางทฤษฎีเห็นได้ว่าค่าความถี่ของ CT-number มีเพียงสองค่าซึ่งเป็นค่าความถี่ที่ CT-number ของวัตถุ (feature; $\mu_{feature}$) และของแบ็คกราวด์ (background; $\mu_{background}$) ข้อมูลทั้งสองนี้สามารถนำมาคำนวณหาค่าความเปรียบต่าง (Contrast ; $\Delta\mu$) ได้ดังสมการที่ (2.22)

$$\Delta\mu = \mu_{feature} - \mu_{background} \quad \dots(2.22)$$

ในทางปฏิบัติกราฟ PDF ไม่ได้เหมือนกับในทางทฤษฎี เนื่องจากกระบวนการต่าง ๆ ในการสร้างภาพโทไมกราฟี ทำให้เกิดความมัว (blurring) ในภาพโทไมกราฟีที่สร้างขึ้นซึ่งจะได้อิบायในหัวข้อที่เกี่ยวกับปัจจัยที่ส่งผลต่อคุณภาพของภาพโทไมกราฟีและกราฟ PDF มีลักษณะดังตัวอย่างในรูปที่ 2.12(b) ซึ่งเห็นได้ว่ากราฟ PDF จะมีการกระจายตัวมากกว่าในทางทฤษฎี โดยในการเปรียบเทียบลักษณะการกระจายตัวของข้อมูลสามารถวัดได้จากความกว้างของค่า CT-number ที่ค่าความถี่เป็นครึ่งหนึ่งของค่าความถี่สูงสุด หรือ FWHM (Full Width at Half Maximum) ที่เนื้อสารเดียวกัน ดังรูปที่ 2.12(b) สำหรับการหาค่าความเปรียบต่างของกราฟ PDF ในทางปฏิบัติ จะใช้ค่า CT-number ที่มีค่าความถี่สูงสุดของหัววัตถุและแบ็คกราวด์ในกราฟ PDF

จากที่กล่าวมา สรุปได้ว่ากราฟ PDF สามารถบอกค่าความเบรี่ยบต่างของภาพโดยไม่ใช้กราฟและภาระจ่ายตัวของค่า CT-number ในภาพได้โดยวัดจากค่า FWHM ซึ่งค่า FWHM จะสื่อให้เห็นถึงความมัวของภาพโดยไม่ใช้กราฟได้ ถ้าค่า FWHM มีค่ามากแสดงว่าภาพโดยไม่ใช้กราฟมีความมัวมาก ในทางกลับกันถ้าค่า FWHM มีค่าน้อยแสดงว่าภาพโดยไม่ใช้กราฟมีความมัวน้อยหรือมีคุณภาพที่ดีนั้นเอง



รูปที่ 2.12 ตัวอย่างการหาค่า PDF

2.3.3 Point Spread Function (PSF)

PSF เป็นวิธีหนึ่งที่ใช้ในการหาค่า Resolution สามารถทำได้โดยการสร้างภาพโดยไม่ใช้กราฟของวัตถุที่มีลักษณะเป็นจุด (point object) จากนั้นอ่านค่า CT-number จากตำแหน่งแรกของข้อมูลในภาพโดยไม่ใช้กราฟ ในการหาค่า Resolution ขั้นแรกเพิ่มขนาดของ point object ขึ้น จนกว่าค่า CT-number สูงสุดของโปรไฟล์ข้อมูลจะมีค่าคงที่ ขั้นตอนต่อมาให้ค่อย ๆ ลดขนาดของ point object ลง ในการลดขนาด point object ลงจะทำให้ค่า CT-number สูงสุดของโปรไฟล์มีค่าลดลงด้วย เมื่อใดที่ค่า CT-number สูงสุดของโปรไฟล์ลดลงเหลือ 20% ของค่าที่คงที่ขั้นตอนแรก ขนาดของ point object ณ ตำแหน่งนั้นก็คือค่า Resolution ของระบบนั้นเอง

2.3.4 Modulation Transfer Function (MTF)

MTF ปรับปรุงมาจาก Point Spread Function (PSF) โดยการแปลงฟูริเยร์ ค่า CT-number ของวัตถุมีความแตกต่างกัน เมื่อใช้วัตถุที่มีลักษณะเป็นแท่งมาจัดวางให้มีระยะห่าง

เท่ากับกับความหนาของวัตถุ ออกแบบให้แห่งวัตถุมีความหนาแตกต่างกันหลาย ๆ ค่า อาจเรียกวัตถุด้วยอย่างนี้ว่า "slit"^[3]

การหาค่า MTF ทำได้โดยการอ่านค่า CT-number จากตำแหน่งแรกของข้อมูลในภาพ slit ข้อมูลที่ได้จะอยู่ในรูปของโปรไฟล์ความถี่โดยวัดจากจำนวนแท่ง slit ที่มองเห็นภายในหนึ่งเซนติเมตร (มีหน่วยเป็น เส้นคู่ต่อเซนติเมตร หรือ line pair/cm.) เช่น slit มีความหนา 5 มิลลิเมตร เมื่อวงเรียงกันโดยเว้นช่องว่าง 5 มิลลิเมตรตามความหนาของ slit ในหนึ่งเซนติเมตรก็มีแท่ง slit 1 แท่งหรือ 1 เส้นคู่ต่อเซนติเมตร จากนั้นหาความแตกต่างระหว่างค่า CT-number สูงสุดกับต่ำสุดจากโปรไฟล์ความถี่โดยค่าที่ได้ก็คือค่าความเปรียบต่าง ($\Delta\mu$) ของ slit ในทางทฤษฎีค่าความเปรียบต่างของโปรไฟล์ความถี่จะคงที่ แม้ความถี่ของ slit จะเพิ่มขึ้น แต่ในทางปฏิบัติ เมื่อ slit มีความถี่สูงขึ้นค่าความเปรียบต่างของโปรไฟล์ความถี่สามารถลดลง โดยในช่วงแรกเมื่อเพิ่มความถี่ขึ้น $\Delta\mu_1$ ก็ยังเท่ากับ $\Delta\mu_2$ แต่พอเพิ่มความถี่ขึ้นเรื่อย ๆ ความเปรียบต่างก็ค่อย ๆ ลดลงตามลำดับจนกระทั่ง $\Delta\mu_5$ ลดลงจนเป็นศูนย์ จากข้อมูลดังกล่าวสามารถคำนวณค่า MTF ได้จากการดังต่อไปนี้

$$MTF = \frac{\Delta\mu}{\Delta\mu_{max}} \quad ... (2.23)$$

เมื่อ $\Delta\mu$ คือ ค่าความเปรียบต่างของโปรไฟล์ความถี่ที่ความถี่ใด ๆ

$\Delta\mu_{max}$ คือ ค่าความเปรียบต่างสูงสุด

ถ้าพิจารณาสมการข้างต้นแล้วเมื่อความถี่เส้นคู่สูงขึ้นจะส่งผลให้ค่าความเปรียบต่างลดลงและยังผลให้ค่า MTF ลดลงด้วย ความสัมพันธ์ระหว่าง MTF กับความถี่เส้นคู่ ที่ค่า MTF เท่ากับ 1 หรือ 100% แสดงว่าเป็นภาพที่มีความเนื้องานวัตถุมาก และเมื่อค่า MTF น้อยลงก็แสดงว่าภาพมีความเนื้องานวัตถุน้อยลง สำหรับในงานด้านอุตสาหกรรมกำหนดให้ใช้ค่า MTF ที่ 20% ในการคำนวณหาค่า Resolution โดยค่า Resolution สามารถคำนวณหาได้ดังนี้

$$resolution = \frac{1}{2f} \quad ... (2.24)$$

เมื่อ f คือ ค่าความถี่เส้นคู่ที่ MTF 20%

2.4 ปัจจัยที่มีผลต่อกลุ่มภาพของภาพโดยไม่กราฟี

2.4.1 ปัจจัยที่เกิดจากสิ่งรบกวนของข้อมูลทางรังสี

เนื่องจากภาพโดยไม่กราฟีเกิดจากการคำนวณข้อมูลทางรังสี ซึ่งข้อมูลทางรังสีที่ได้จะมีความแปรปรวนตามลักษณะของการปลดปล่อยรังสีแบบสุ่ม (random) ความแปรปรวนของข้อมูลสูงก็จะส่งผลให้ภาพโดยไม่กราฟีที่ได้มีค่า pixel noise สูงซึ่งไม่เป็นที่ต้องการ สำหรับการแก้ปัญหานี้ทำได้โดยการเพิ่มจำนวนนับทางรังสี ซึ่งการเพิ่มจำนวนนับทางรังสีจะช่วยลดค่าสิ่งรบกวน (σ_d) ดังสมการที่ 2.25

$$\sigma_d \cong \left[\frac{1}{n \exp(-2\mu_0(\bar{E})R_0)} + \frac{1}{n} \right]^{\frac{1}{2}} \quad \dots(2.25)$$

เมื่อ n คือ จำนวนนับทางรังสี

$\mu_0(\bar{E})$ คือ ค่าสมมุติที่การลดгонเริงเส้นของวัตถุที่พลังงาน \bar{E}

\bar{E} คือ ค่าพลังงานของรังสีแกรมมา

R_0 คือ รัศมีของการสร้างภาพ

จากสมการที่ 2.25 ทำให้ทราบว่า การลดสิ่งรบกวนในการเก็บข้อมูลได้โดยการเพิ่มค่า n , $\mu_0(\bar{E})$ และ R_0 ในทางปฏิบัติการเพิ่มค่า n เป็นวิธีที่ดีกว่า โดยถ้าเก็บข้อมูลด้วยหัวรังสี การเพิ่มค่า n สามารถทำได้โดยการเพิ่มเวลาในการเก็บข้อมูลนั้นเอง

2.4.2 ปัจจัยที่เกิดจากข้อมูลที่ไม่ได้ปรับปูรุ่งด้วยฟิลเตอร์ฟังก์ชัน

ในการสร้างภาพโดยไม่กราฟีถ้าไม่ได้ปรับปูรุ่งข้อมูลด้วยฟิลเตอร์ฟังก์ชันก่อนการคำนวณสร้างภาพแล้ว จะทำให้ภาพโดยไม่กราฟีที่ได้เกิดความมัวมากขึ้น ซึ่งความมัวดังกล่าว จะอยู่ในรูปการกระจายตัวของค่า CT-number ถ้าการกระจายตัวสูงก็คือภาพจะมีความมัวมากโดยอาจจะวัดได้จากค่า Pixel noise การใช้ฟิลเตอร์ฟังก์ชันก็เพื่อให้ลดความมัวของภาพโดยไม่กราฟีลง

2.4.3 ปัจจัยที่เกิดจากจำนวนการสแกนเก็บข้อมูลไปไฟล์ไม่เพียงพอ

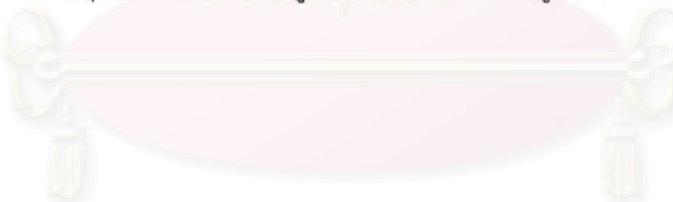
การหมุนวัตถุตัวอย่างในการเก็บข้อมูลสำหรับการคำนวณสร้างภาพโโนกราฟไม่ครบครึ่งรอบ หรือ 180 องศา จะทำให้ข้อมูลขาดรายละเอียดที่เพียงพอ สงผลให้ภาพโโนกราฟที่ได้ไม่สมบูรณ์ เพื่อให้ได้ภาพโโนกราฟที่ดีจึงต้องสแกนเก็บข้อมูลให้ได้อย่างน้อย 180 องศา

2.4.4 ปัจจัยที่เกิดจากจำนวนเรย์ชัมต่อภาพโโนกราฟ

เป็นอีกปัจจัยหนึ่งที่มีผลทำให้ภาพโโนกราฟไม่คมชัดและขาดรายละเอียดทั้งนี้ จำนวนเรย์ชัมต่อภาพที่น้อยเกินไป หรืออาจมีเหตุผลมาจากขนาดเส้นผ่านศูนย์กลางของลำรังสีที่เข้าสู่หัววัดรังสีโดยเกินไป ทำให้เก็บรายละเอียดได้ไม่เพียงพอ ความคมชัดของภาพโโนกราฟจึงต่ำ เพื่อให้ได้ภาพโโนกราฟที่ดีจึงควรจะสร้างภาพโโนกราฟจากจำนวนเรย์ชัมที่สูง ๆ

2.4.5 ปัจจัยที่เกิดจากความคลาดเคลื่อนจุดหมุน

ความคลาดเคลื่อนจุดหมุน คือ การที่จุดกึ่งกลางของการหมุนไม่ตรงกับจุดกึ่งกลางของข้อมูลไปไฟล์ การที่จุดหมุนผิดตำแหน่งนั้นจะส่งผลให้การแบกไปเจาะชันผิดพลาด ภาพโโนกราฟที่ได้จึงผิดเพี้ยนไปจากความเป็นจริง ยิ่งความคลาดเคลื่อนจุดหมุนของข้อมูลมีมาก ขึ้นภาพโโนกราฟที่ได้ก็จะมีส่วนโค้งเว้ามากขึ้นตามไปด้วย เพื่อให้ได้ภาพโโนกราฟที่ดีจึงควรดู ว่างจุดหมุนให้ตรงกับจุดกึ่งกลางของการหมุนไปไฟล์ก่อนนำข้อมูลไปไฟล์ไปคำนวณสร้างภาพ^[2]



**ศูนย์วิทยทรัพยากร
จุฬาลงกรณ์มหาวิทยาลัย**

บทที่ 3

ระบบสแกนด้วยรังสีแกมมาพลังงานต่ำชนิดเคลื่อนย้ายได้ สำหรับการคำนวณสร้างภาพໂໂມกราฟ

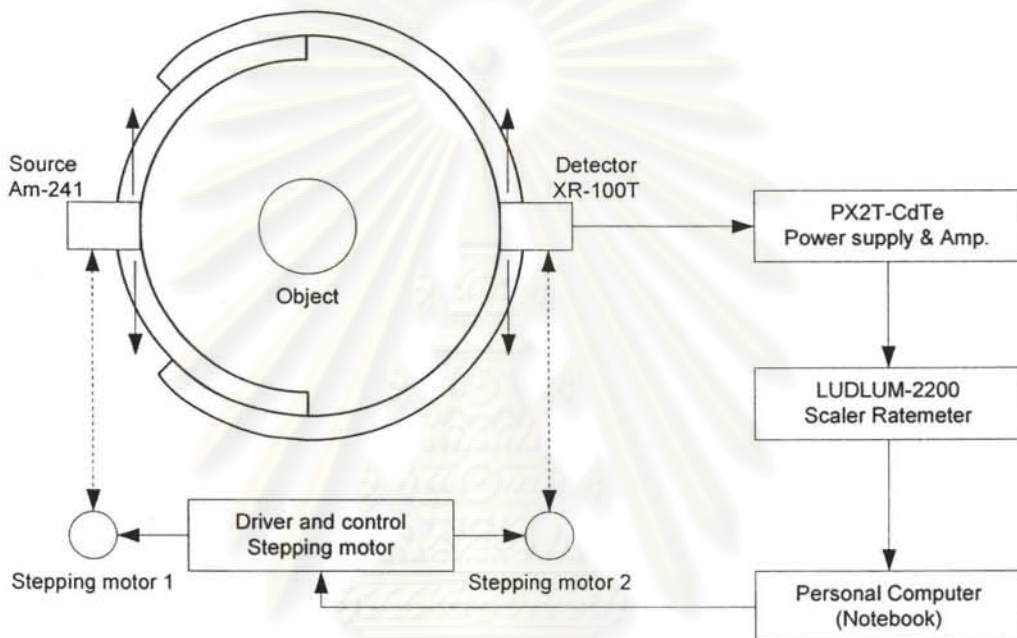
3.1 วัสดุและอุปกรณ์ที่ใช้ในการวิจัย

- 3.1.1 ตันกำเนิดรังสีแกมมา Am-241 พลังงาน 59.5 keV ความแรงรังสี 100 mCi
- 3.1.2 หัววัดรังสีแกมมาชนิดกึ่งตัวนำ CdTe ขนาด 5 มิลลิเมตรรุ่น XR-100T จากบริษัท AMPTEK
- 3.1.3 แหล่งจ่ายไฟฟ้าศักดิ์สูง และวงจรขยายสัญญาณ ไมเดล PX2T CdTe 100T จากบริษัท AMPTEK
- 3.1.4 เครื่อง Scaler Ratemeter ไมเดล 2200 จากบริษัท Ludlum
- 3.1.5 สเตปปิงมอเตอร์ (Stepping motor) ชนิด 4 เพส ขนาด 12 โวลต์ 1 แอมเปอร์ต่อเฟส ความละเอียดในการหมุน 1.8 องศาต่อสเต็ป
- 3.1.6 วงจรขับสเตปปิงมอเตอร์
- 3.1.7 รยางเลื่อนรูปครึ่งวงกลม 2 ส่วน (C-clamp)
- 3.1.8 คอมพิวเตอร์ชนิดพกพา ที่มีพอร์ตขนาด และพอร์ตต่อ%nุกรม

ศูนย์วิทยทรัพยากร
จุฬาลงกรณ์มหาวิทยาลัย

3.2 การพัฒนาระบบสแกนด้วยรังสีแกมมาพลังงานต่ำชนิดเคลื่อนย้ายได้สำหรับการคำนวณสร้างภาพโดยไมโครไฟต์

ระบบสแกนด้วยรังสีแกมมาพลังงานต่ำชนิดเคลื่อนย้ายได้สำหรับการคำนวณสร้างภาพโดยไมโครไฟต์ ออกแบบให้มีขนาดเล็ก และน้ำหนักเบาเพื่อให้เหมาะสมกับการตรวจสอบวัตถุในงานภาคสนาม ซึ่งสามารถเขียนแผนภาพการทำงานได้ดังรูปที่ 3.1



รูปที่ 3.1 แผนภาพระบบสแกนสำหรับการคำนวณสร้างภาพโดยไมโครไฟต์

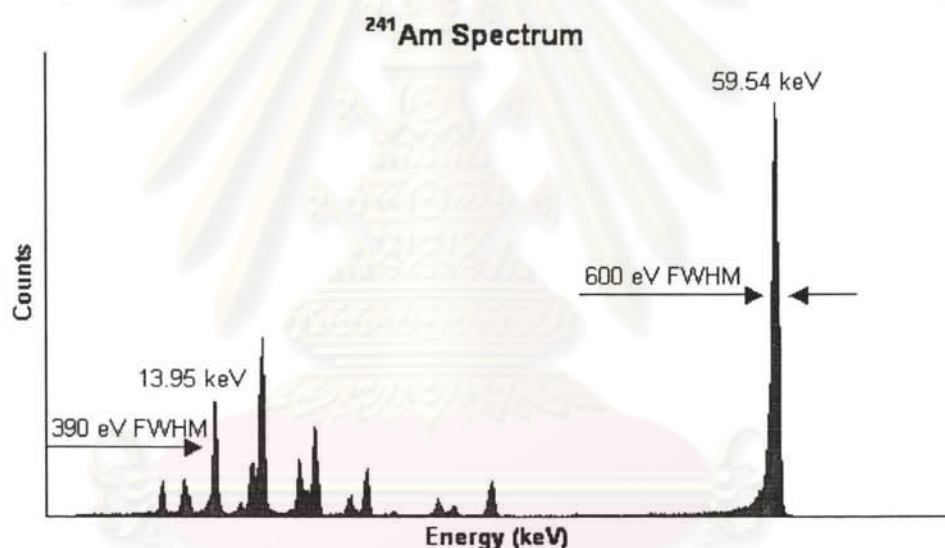
จากแผนภาพ ระบบสแกนเพื่อเก็บข้อมูลไปรีไฟล์สำหรับการคำนวณสร้างภาพโดยไมโครไฟต์ ประกอบด้วยส่วนประกอบที่สำคัญคือ ระบบสแกนเก็บข้อมูลไปรีไฟล์ ระบบขับเคลื่อนระบบกลสำหรับการสแกนเก็บข้อมูลไปรีไฟล์ และโปรแกรมสำหรับควบคุมการทำงานของระบบและรับข้อมูลไปรีไฟล์ หลักการทำงานของระบบสแกนด้วยรังสีแกมมาพลังงานต่ำสำหรับการคำนวณสร้างภาพโดยไมโครไฟต์ ทำงานโดยมีไมโครคอมพิวเตอร์สั่งงานชุดควบคุมระบบกลผ่านทางพอร์ท串นาน ซึ่งจะทำการตั้งต้นระบบสแกนไปยังจุดเริ่มต้น โดยมีไฟโคมชี้สีเตือนเป็นseenเซอร์ ตรวจสอบตำแหน่ง จากนั้นระบบสแกนเก็บข้อมูลไปรีไฟล์จะเริ่มทำการเก็บข้อมูลไปรีไฟล์โดยการวัดความเข้มรังสีแกมมาพลังงานต่ำที่ส่งผ่านตัวอย่าง ณ ตำแหน่งนั้นด้วยหัววัดรังสีแกมมาชนิดกึ่งตัวนำ CdTe ขนาด 5 มิลลิเมตร ที่ปรับระบบให้วัดเฉพาะรังสีแกมมาพลังงาน 59.5 keV จากต้นกำเนิดรังสี Am-241 ข้อมูลเชิงตัวเลขที่ได้จากการนับวัดจะถูกส่งเข้าสู่ไมโครคอมพิวเตอร์ผ่านทาง

พอร์ตองุกรรม เมื่อสิ้นสุดการเก็บข้อมูลที่ดำเนินการนั้น ไม่ควรคอมพิวเตอร์จะสั่งงานชุดควบคุมระบบกลให้เคลื่อนที่ไปยังตำแหน่งถัดไปจนเก็บข้อมูลครบถ้วนดำเนินการต่อไป ในการเก็บข้อมูลแต่ละโปรไฟล์นั้น จะหมุนระบบกลไปด้วยมุมน้อย ๆ และเก็บข้อมูลเช่นเดียวกันกับมุมแรก โดยจะทำการเก็บข้อมูลต่าง ๆ จนครบ 180 องศา หลังจากนั้นจะนำข้อมูลเชิงตัวเลขที่ได้ไปคำนวนสร้างภาพโพโนกราฟี

3.2.1 ระบบสแกนเก็บข้อมูลโปรไฟล์

3.2.1.1 ต้นกำเนิดรังสีแกรมมาพลังงานต่ำ

งานวิจัยนี้ใช้ต้นกำเนิดรังสีแกรมมา Am-241 มีระดับพลังงาน 59.5 keV ความแรง 100 mCi ใช้สำหรับตรวจสอบเสาไม้ที่มีขนาดเล็กผ่านศูนย์กลางไม่เกิน 20 เซนติเมตร

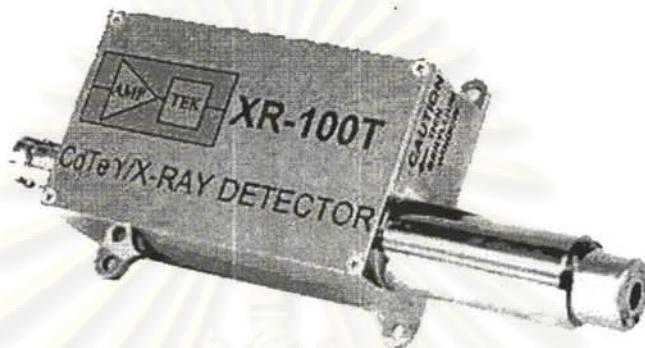


รูปที่ 3.2 แสดงスペクトرومจากต้นกำเนิดรังสีแกรมมา Am-241

ศูนย์วิทยทรัพยากร
จุฬาลงกรณ์มหาวิทยาลัย

3.2.1.2 หัววัดรังสีแกมมาชนิดกึ่งตัวนำ CdTe

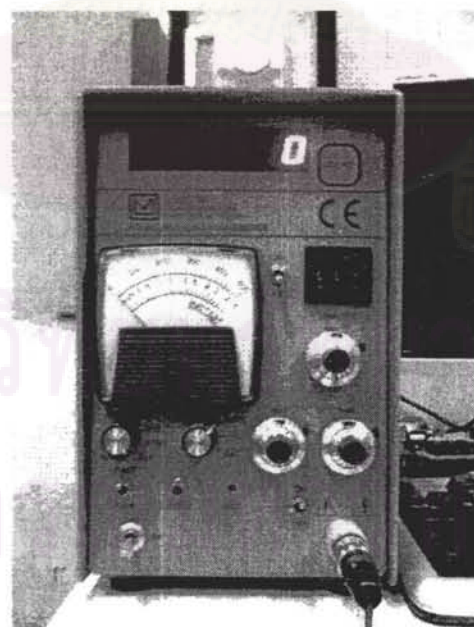
งานวิจัยนี้เลือกใช้หัววัดรังสีแกมมาชนิดกึ่งตัวนำ ผลึก CdTe ความหนา 5 mm เนื่องจากมีขนาดเล็ก และตอบสนองรังสีแกมมาแพลังงานต่ำได้ดี



รูปที่ 3.3 หัววัดรังสีแกมมาชนิด Compound Semiconductor CdTe

3.2.1.3 Scaler Ratemeter

Scaler Ratemeter รุ่น LUDLUM 2200 ตั้งค่าสำหรับเลือกวัดช่องสัญญาณพลังงานของรังสีแกมมา Am-241 ที่ช่วงพลังงาน 59.5 keV



รูปที่ 3.4 Scaler Ratemeter รุ่น LUDLUM 2200

3.2.1.4 ร่างเลื่อนสำหรับระบบกล

มีลักษณะเป็นร่างเลื่อนรูปครึ่งวงกลมเส้นผ่าศูนย์กลาง 60 cm ทำจากอลูมิเนียมแบ่งออกเป็นสองส่วน คือ ส่วนระบบกลของตันกำเนิดรังสี และส่วนระบบกลของหัววัดรังสี gamma



รูปที่ 3.5 ร่างเลื่อนสำหรับระบบกล

3.2.2 ระบบกลสำหรับการสแกนเก็บข้อมูลไปไฟล์

เนื่องจากงานวิจัยนี้ ต้องการความละเอียดแม่นยำของตำแหน่ง และระยะเวลาที่แน่นอน จึงเลือกใช้สเตปปิงมอเตอร์มาใช้ในการขับเคลื่อนตันกำเนิดรังสีและหัววัดรังสี gamma

3.2.2.1 สเตปปิงมอเตอร์

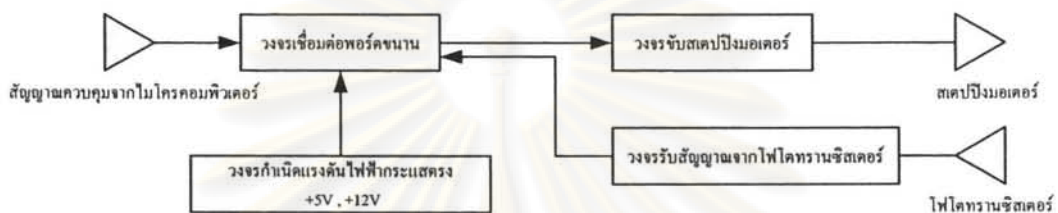
งานวิจัยนี้เลือกใช้สเตปปิงมอเตอร์รุ่น PM42L-048 ให้ความละเอียด 7.5° ต่อสเตป โดยใช้ความต่างศักย์ 12 โวลต์



รูปที่ 3.6 สเตปปิงมอเตอร์รุ่น PM42L-048

3.2.2.2 ชุดวงจรควบคุมสเตปปิงมอเตอร์

การใช้งานสเตปปิงมอเตอร์ นั้นจะต้องทำการกระตุ้นเฟสของขดลวดให้เรียงลำดับกันต่อเนื่องทางเดินทางนี้ ซึ่งการกระตุ้นเฟสมี 3 แบบคือ กระตุ้นเฟสเดียว (single phase excitation) กระตุ้นสองเฟส (two phase excitation) กระตุ้นโดยสลับหนึ่งเฟส และสองเฟส (one-two phase excitation)



รูปที่ 3.7 แผนภาพแสดงการทำงานของชุดควบคุมสเตปปิงมอเตอร์

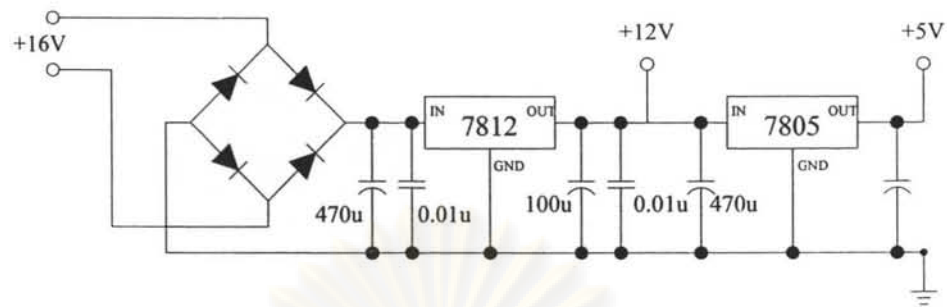
สเต็ปที่	เฟสที่1	เฟสที่2	เฟสที่3	เฟสที่4
1	1	0	0	0
2	1	1	0	0
3	0	1	0	0
4	0	1	1	0
5	0	0	1	0
6	0	0	1	1
7	0	0	0	1
8	1	0	0	1

รูปที่ 3.8 แผนผังแสดงการกระตุ้นขดลวดภายในสเตปปิงมอเตอร์แบบ one-two Phase

งานวิจัยขึ้นนี้เลือกวิธีการกระตุ้นแบบสองเฟส เนื่องจากให้กำลังมากกว่า เข้าตำแหน่งแต่ละสเตปได้เร็วกว่า และให้แรงบิดมากกว่าการกระตุ้นแบบอื่นๆ ซึ่งการกระตุ้นเฟส จำเป็นต้องใช้วงจรทางอิเล็กทรอนิกส์ต่างๆดังนี้

3.2.2.2.1 วงจรกำเนิดแรงดันไฟฟ้ากระแสตรง 5 V และ 12 V

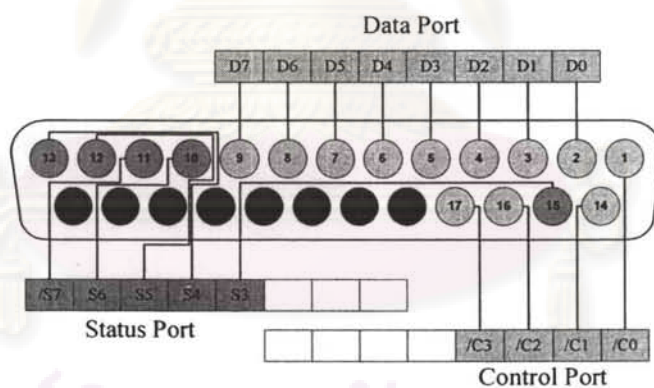
ในการใช้งานวงจรต่างๆ เพื่อกระตุ้นเฟสของสเตปปิงมอเตอร์นั้น จำเป็นจะต้องใช้แรงดันไฟฟ้ากระแสตรง ในการขับวงจรรวม และตัวสเตปปิงมอเตอร์เอง โดยในงานวิจัยนี้ ใช้ไฟฟ้ากระแสตรง 2 ความต่างศักย์ คือ 5 V และ 12 V โดยมีวงจรกำเนิดแรงดันไฟฟ้ากระแสตรง ดังรูปที่ 3.9



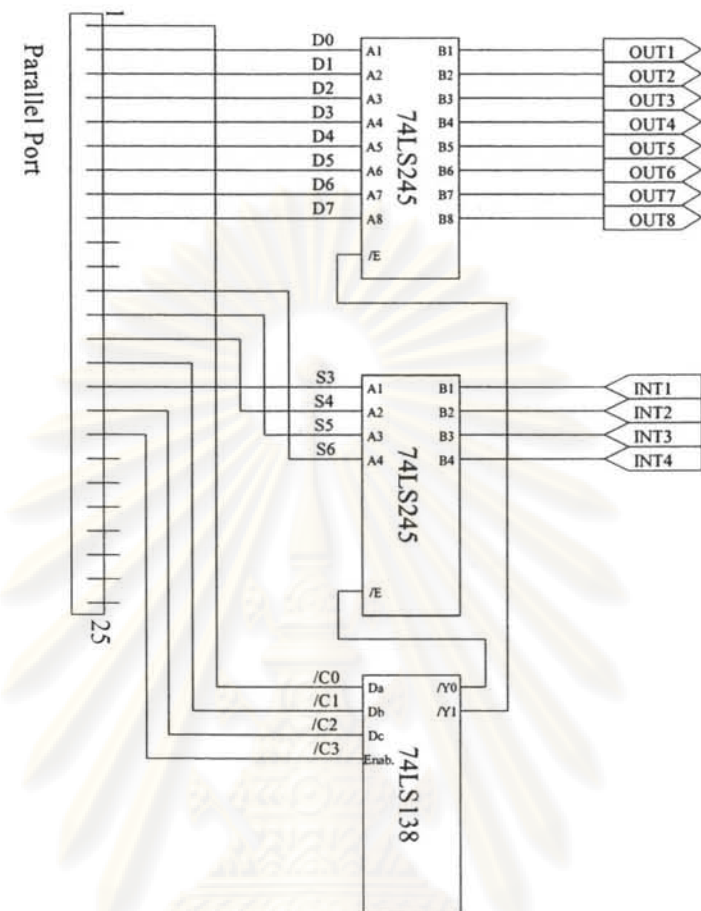
รูปที่ 3.9 วงจรกำเนิดแรงดันไฟฟ้ากระแสสัมผัส +5V และ +12V

3.2.2.2.2 วงจรเชื่อมต่อพอร์ตข่านาน

พอร์ตข่านานหรือ Parallel Port นั้นบางครั้งจะเรียกว่า Printer Port เพราะการใช้งานส่วนใหญ่กับพอร์ตข่านานเป็นการใช้งานโดยต่อกับ printer เป็นหลัก โดยที่พอร์ตข่านานนั้นสามารถให้ความเร็วในการส่งผ่านข้อมูลได้รวดเร็วกว่าพอร์ตอนุกรม (Serial Port) ประมาณ 8-10 เท่า ซึ่งสามารถส่งข้อมูลนาน 8 บิตได้ในคราวเดียว ลักษณะของ connector ของพอร์ตข่านานนั้นจะเป็นแบบ DB 25 pin โดยตัวเมียจะอยู่ทางด้านหลัง PC พอร์ตข่านานของคอมพิวเตอร์ประกอบด้วยสัญญาณทั้งหมด 25 เส้น แต่สามารถใช้งานจริงได้ 17 เส้น โดยสัญญาณจะแบ่งออกเป็น 3 กลุ่ม คือ Data Port, Status Port, Control Port^[6]



รูปที่ 3.10 สัญญาณต่าง ๆ ของพอร์ตข่านาน



รูปที่ 3.11 วงจรเข้ามต่อพอร์ตข่าน

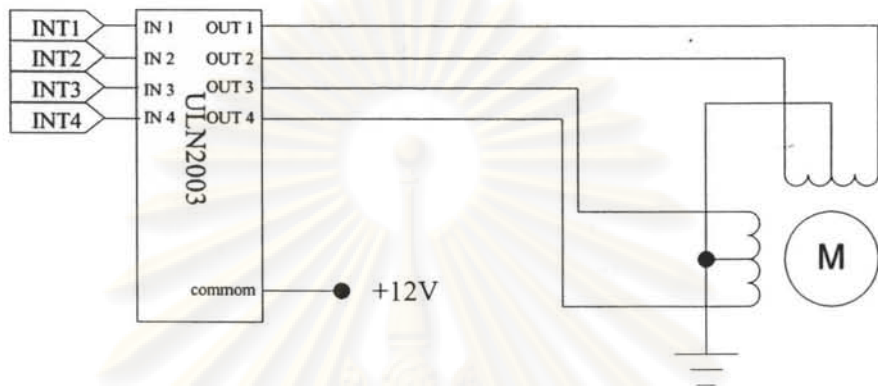
ตารางที่ 3.1 แสดงตำแหน่งของกลุ่มสัญญาณ Address เพื่อใช้ในการเข้ามต่อพอร์ตข่าน

กลุ่มสัญญาณ	LPT1	LPT2
Data Port	378H	3BCH
Status Port	379H	3BDH
Control Port	37AH	3BEH

วงจรเข้ามสัญญาณระหว่างไมโครคอมพิวเตอร์ และอุปกรณ์จากภายนอก อาศัยการโอนถ่ายสัญญาณผ่านพอร์ตทางเข้า และพอร์ตทางออก ของไมโครคอมพิวเตอร์ในตำแหน่งที่แสดง ดังตารางที่ 3.1

3.2.2.3 วงจรขับสเตปเปอร์มอเตอร์

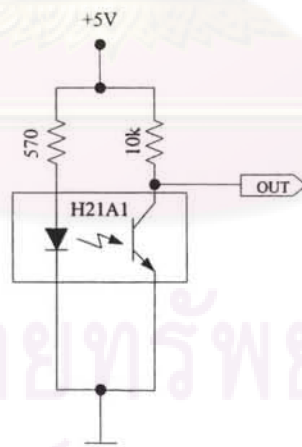
ใช้ IC เบอร์ ULN2003 เป็นตัวขับสเตปเปอร์มอเตอร์รับสัญญาณ
จากวงจรเข้ามต่อพอร์ตขนาน ดังรูปที่ 3.11



รูปที่ 3.12 วงจรขับสเตปเปอร์มอเตอร์

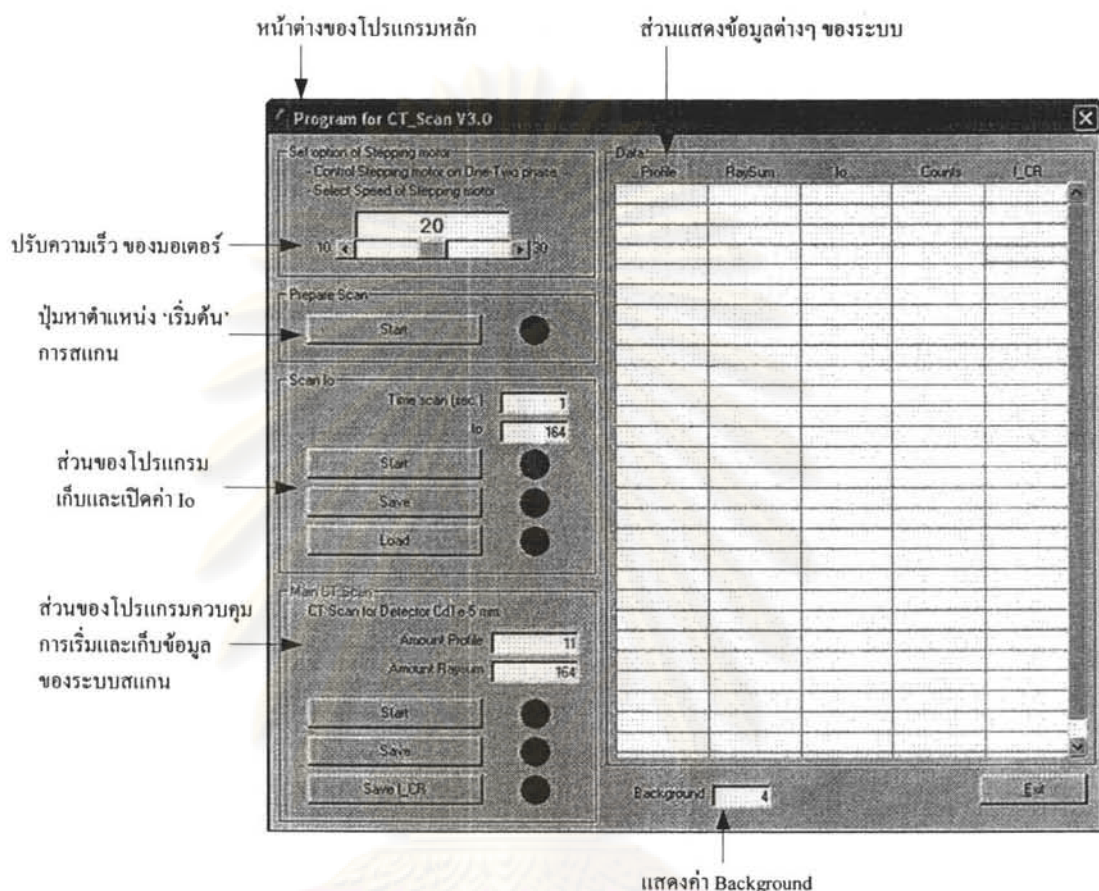
3.2.2.4 วงจรรับสัญญาณจากไฟตอทราบชิสเตอร์

ไฟตอทราบชิสเตอร์ทั้ง 4 ตัว จะทำหน้าที่ในการรับอกต้าแห่งเริ่มต้นและสุดท้ายของการเก็บข้อมูลไปรีไฟล์ โดยเมื่อถึงตำแหน่งที่ตั้งไว้ จะส่งสัญญาณลอจิก 0 เข้าสู่วงจรเข้ามต่อพอร์ตขนาน



รูปที่ 3.13 วงจรรับสัญญาณจากไฟตอทราบชิสเตอร์

3.3 การพัฒนาโปรแกรมควบคุมระบบสแกนและรับข้อมูลโปรแกรมสำหรับการคำนวณสร้างภาพโดยไม่กราฟิก



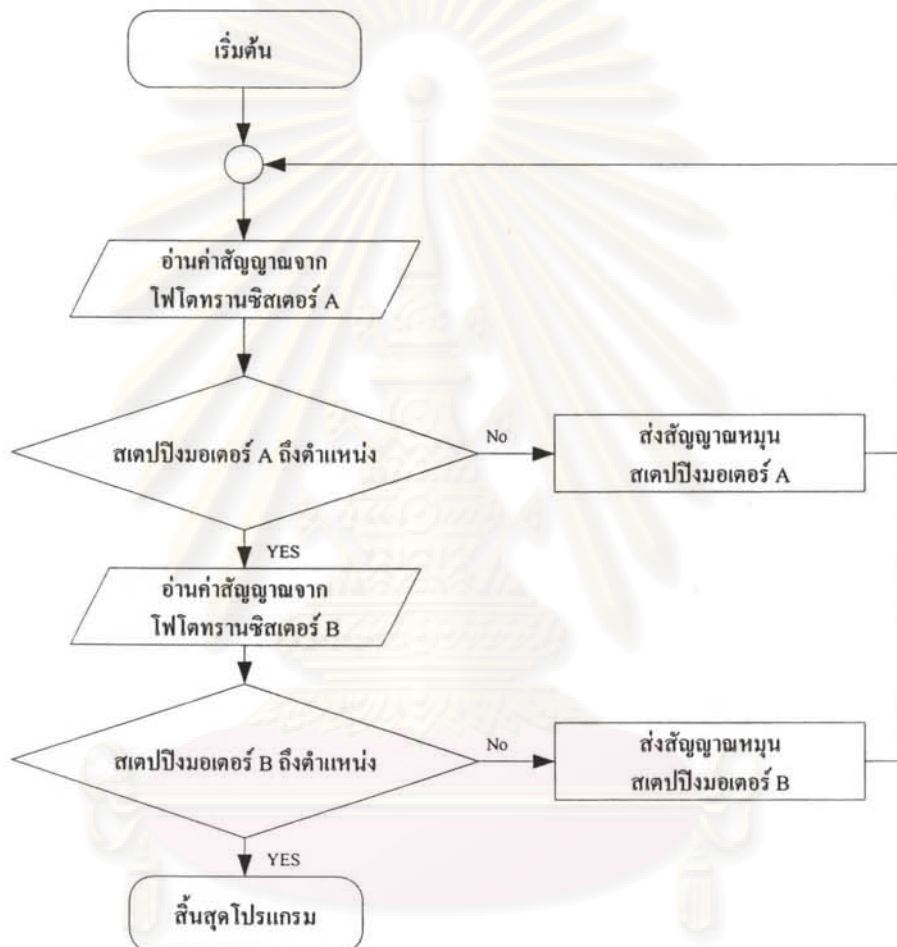
รูปที่ 3.14 หน้าต่างของโปรแกรมควบคุมระบบสแกน และเก็บข้อมูลโปรแกรมสำหรับการคำนวณสร้างภาพโดยไม่กราฟิก

โปรแกรมควบคุมระบบสแกน และเก็บข้อมูลโปรแกรมสำหรับการคำนวณสร้างภาพโดยไม่กราฟิก เป็นโปรแกรมที่พัฒนาขึ้นด้วยโปรแกรม Visual Basic 6.0 ทำงานบนระบบปฏิบัติการวินโดว์ การเก็บข้อมูลโปรแกรมสำหรับการคำนวณสร้างภาพโดยไม่กราฟิกจะแบ่งการทำงานออกเป็น 3 ขั้นตอน คือ ขั้นตอนหาตำแหน่งเริ่มต้นการสแกน ขั้นตอนการเก็บข้อมูลและเรียกข้อมูล I_0 และขั้นตอนการสแกนเก็บข้อมูลโปรแกรม

จุฬาลงกรณ์มหาวิทยาลัย

3.3.1 ขั้นตอนการหาตำแหน่งเริ่มต้นการสแกน

เป็นการควบคุมสเตปปิ่งของเตอร์ทั้งสองตัวให้เคลื่อนที่ไปอยู่ในตำแหน่งเริ่มต้น ซึ่งเมื่อถึงตำแหน่งเริ่มต้นการสแกนสัญญาณจากไฟโตทรานซิสเตอร์จะส่งไปสู่ไมโครคอมพิวเตอร์ทางพอร์ตขนาดที่ตำแหน่งเบดเดรส 379H เพื่อแจ้งให้โปรแกรมทราบ

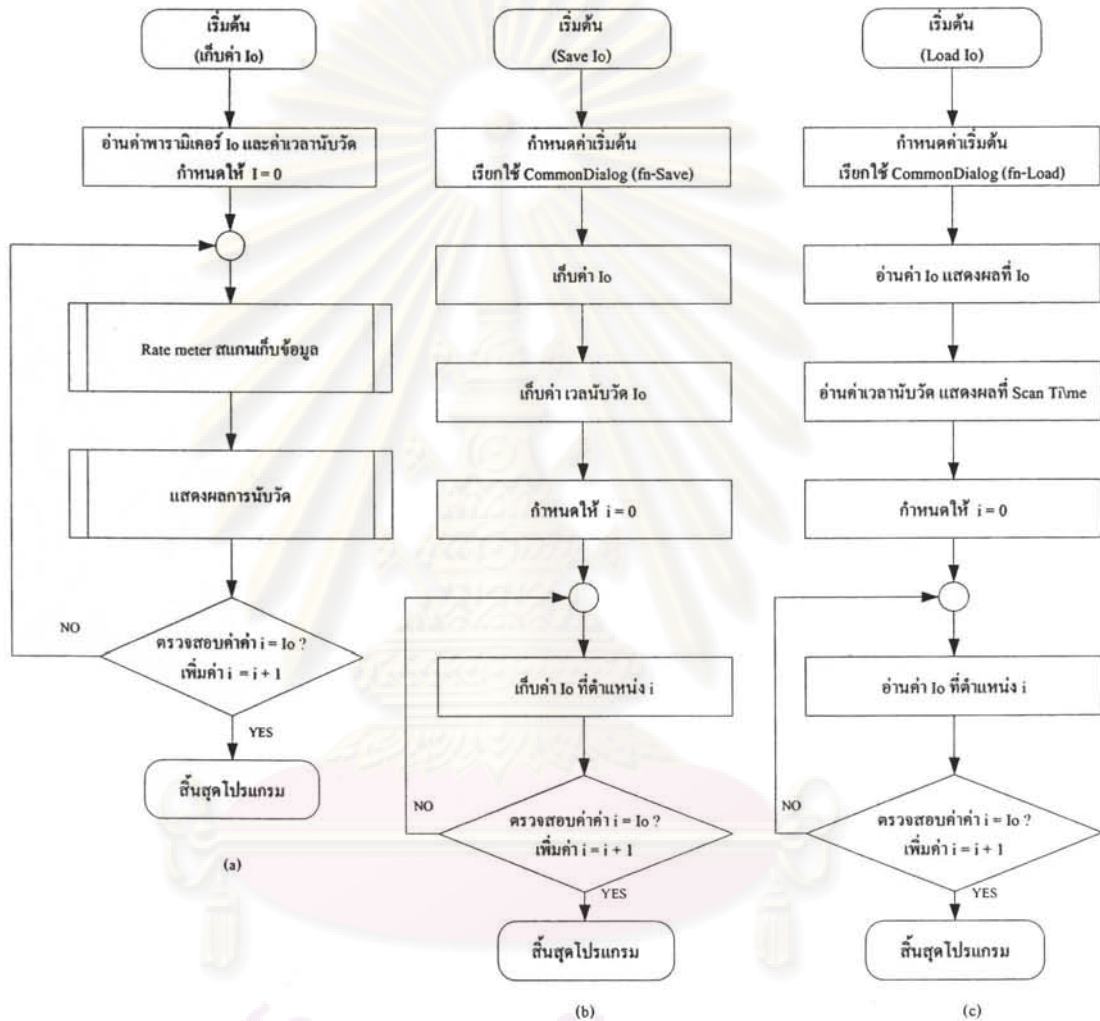


รูปที่ 3.15 แผนภาพแสดงขั้นตอนการหาตำแหน่งเริ่มต้นการสแกน

3.3.2 ขั้นตอนการเก็บบันทึก และเรียกใช้ค่านับวัด I_0

ก่อนการสแกนเก็บข้อมูลโปรแกรมทุกครั้ง โปรแกรมจะทำการเรียกหาค่านับวัด I_0 ซึ่งจะนำมาใช้ในการ correct data เพื่อทำการคำนวนสร้างภาพให้มีกราฟีต่อไป ขั้นตอนการเก็บข้อมูลค่านับวัด I_0 อธิบายได้จาก รูปภาพที่ 3.16(a) ซึ่งเริ่มจากต้นกำเนิดรังสี และหัวดังรังสี อยู่ในตำแหน่งเริ่มต้นการสแกน กำหนดเวลาบันวัด I_0 และเริ่มทำการสแกนเก็บค่า I_0 โปรแกรมจะเริ่มทำงานอัตโนมัติ จนเสร็จสิ้นการสแกนเก็บค่า I_0 ต้นกำเนิดรังสี และหัวดังรังสี จะกลับมาอยู่ใน

ดำเนินการเริ่มต้นการสแกนน้ำหมาดถึงมีการเก็บข้อมูลนับวัดค่า I_0 เสร็จสิ้นแล้ว เราสามารถที่จะบันทึกค่า I_0 เพื่อเก็บไว้เรียกใช้ในกรณีที่การสแกนเก็บข้อมูลไปไฟล์ให้เวลาบันทึกเท่ากัน ตามหลักการทำงานดังรูปที่ 3.16(b) หรือกรณีที่ต้องการเรียกใช้ข้อมูลค่านับวัด I_0 ก็สามารถเรียกใช้ค่านับวัดที่บันทึกไว้แล้วได้เช่นกัน ตามหลักการทำงานดังรูปที่ 3.16(c)

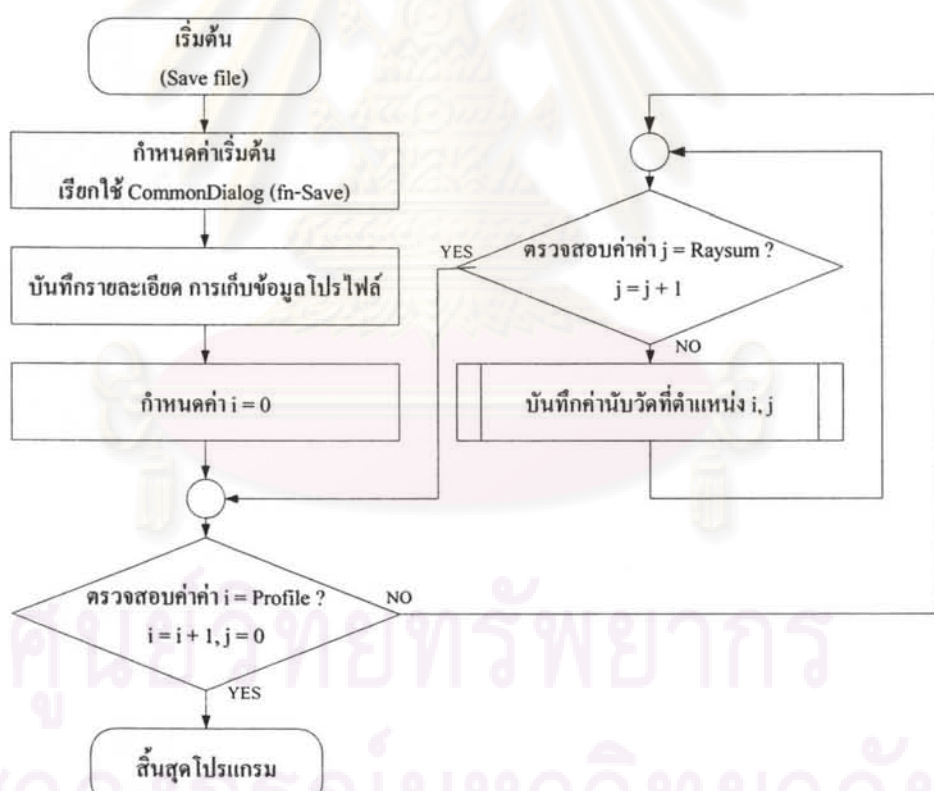


รูปที่ 3.16 แผนภาพการเก็บ บันทึก และเรียกใช้ ค่านับวัด I_0

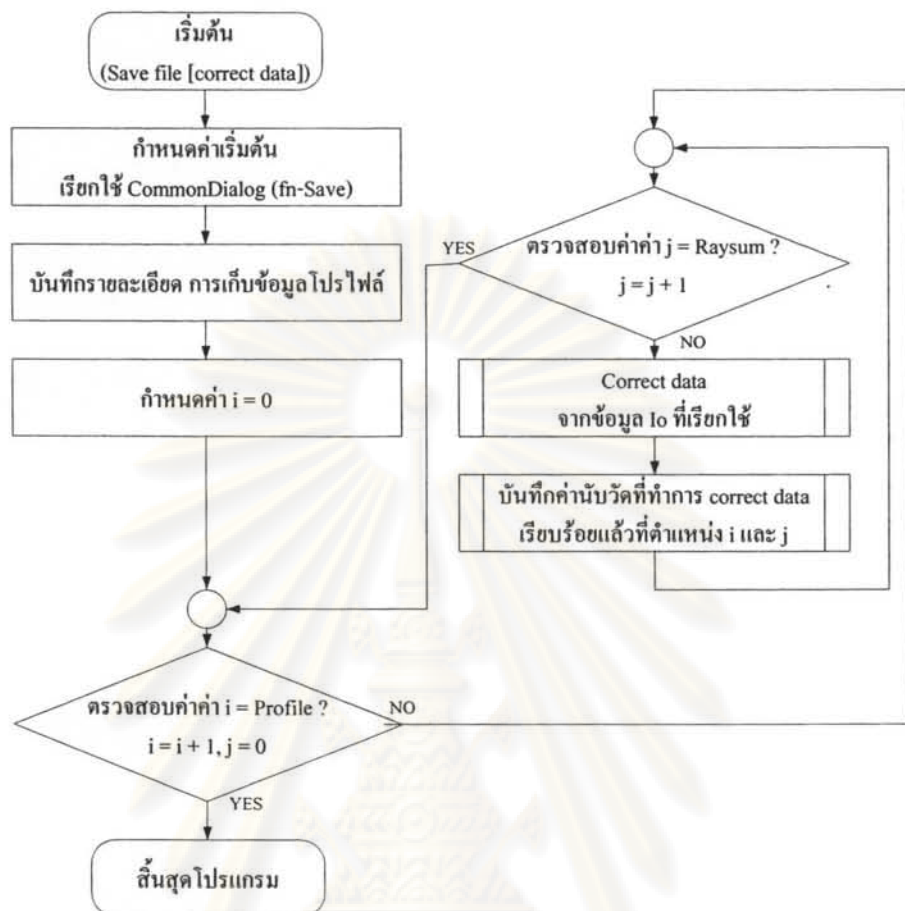
จุฬาลงกรณ์มหาวิทยาลัย

3.3.3 ขั้นตอนการเก็บข้อมูลโปรแกรม

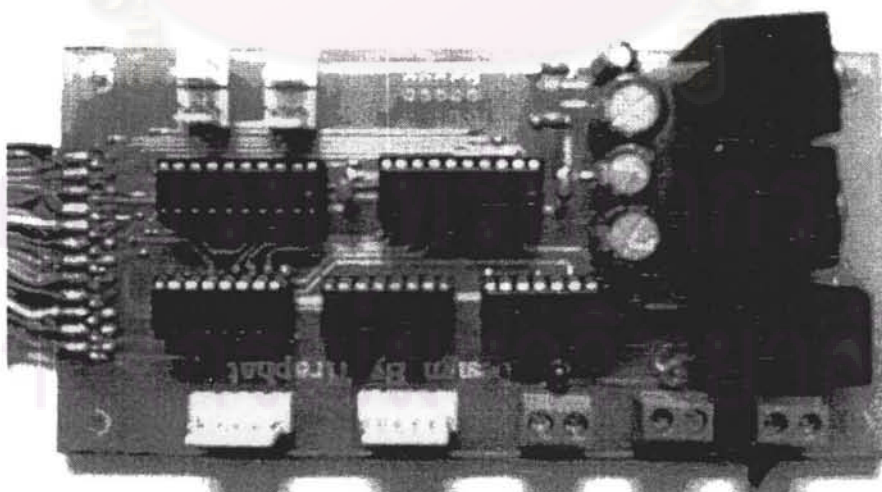
การเก็บข้อมูลโปรแกรมจำเป็นต้องกำหนดค่าเวลานับวัด จำนวนเรย์ซัม และจำนวนโปรแกรมที่ต้องการ โดยที่ค่าเวลานับวัด และจำนวนเรย์ซัมต้องสัมพันธ์กับค่า I_0 ที่เรียกว่า การเก็บข้อมูลโปรแกรมเริ่มจาก ตำแหน่งของต้นกำเนิดรังสี และหัววัดรังสี อยู่ในตำแหน่งเริ่มต้นการสแกน กำหนดจำนวนโปรแกรม แล้วเริ่มการสแกนเก็บข้อมูลโปรแกรม มีหลักการทำงานดังรูปที่ 3.17 เมื่ออุปกรณ์สแกน ทำการสแกนเสร็จสิ้นแล้ว ต้นกำเนิดรังสี และหัววัดรังสี จะกลับมาอยู่ที่ตำแหน่งเริ่มต้นการสแกนเช่นเดิม โปรแกรมควบคุมระบบสแกน และเก็บข้อมูลโปรแกรม สามารถบันทึกข้อมูลโปรแกรมได้ทั้งแบบข้อมูลดิบ และข้อมูลที่ผ่านการ correct data กับ I_0 แล้ว โดยมีหลักการทำงานดังรูปที่ 3.17 และ รูปที่ 3.18 ตามลำดับ อีกทั้งยังสามารถเรียกคืน ข้อมูลค่านับวัด I_0 ข้อมูลโปรแกรมที่ยังไม่ผ่านการ correct data และข้อมูลโปรแกรมที่ผ่านการ correct data เรียบร้อยแล้ว ได้ที่ตารางแสดงข้อมูลต่างๆ ในโปรแกรมอีกด้วย



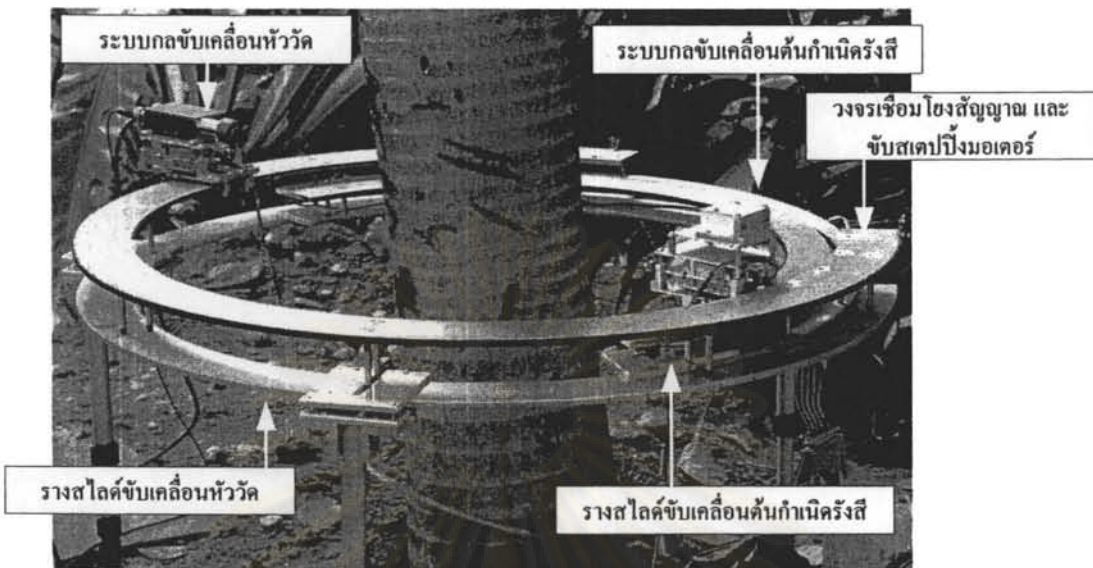
รูปที่ 3.17 แผนภาพแสดงการบันทึกข้อมูลโปรแกรมที่ยังไม่ได้ผ่านการ correct data



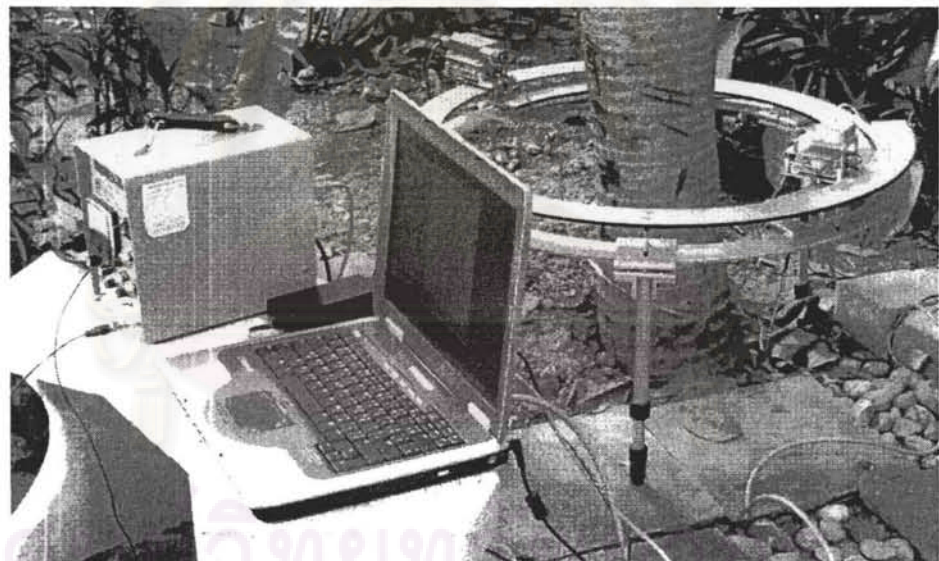
รูปที่ 3.18 แผนภาพแสดงการบันทึกข้อมูลไปไฟล์ที่ผ่านการ correct data แล้ว



รูปที่ 3.19 แผ่นวงจรเชื่อมต่อพอร์ตข่าน และควบคุมสเตปปิงมอเตอร์



รูปที่ 3.20 ระบบกลเคลื่อนย้ายได้ สำหรับสแกนเก็บข้อมูลไปร์ไฟล์



รูปที่ 3.21 ระบบสแกนรังสีแกรมมาเพลنجงานต่อเพื่อการคำนวนสร้างภาพโดยไมกราฟี

จุฬาลงกรณ์มหาวิทยาลัย

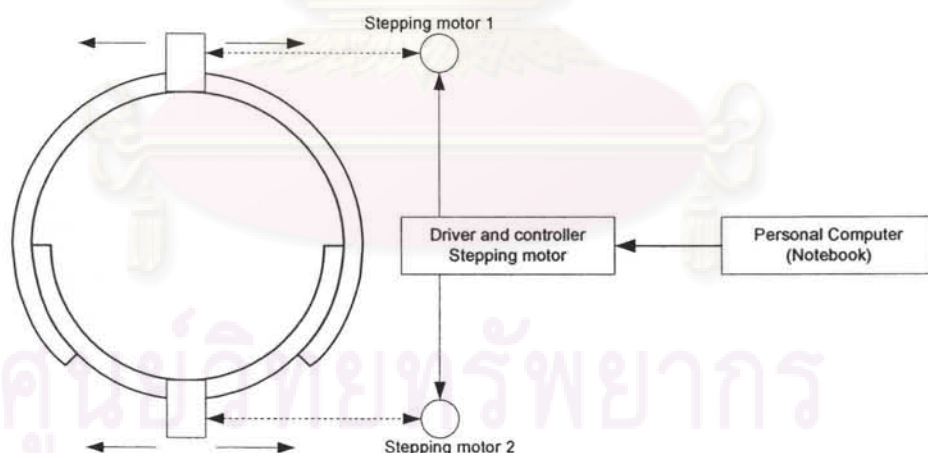
บทที่ 4

การทดสอบการทำงานของระบบ และผลการทดสอบ

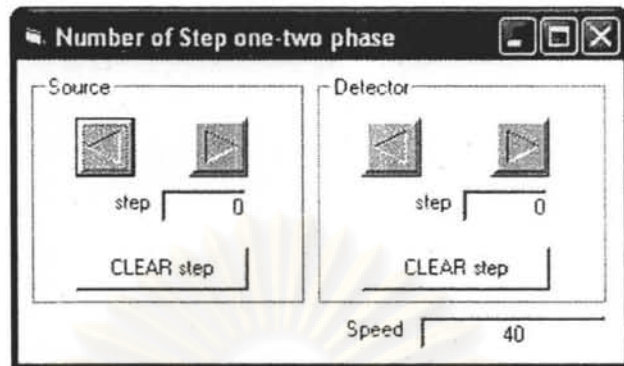
ในงานวิจัยนี้ได้ทำการทดสอบระบบสแกนเก็บข้อมูลโปรไฟล์เพื่อคำนวณสร้างภาพโพโนกราฟ โดยแบ่งการทดสอบการทำงานของระบบเป็นสามส่วนใหญ่ ๆ ส่วนแรก คือ การทดสอบระบบกลสำหรับขั้บเคลื่อนตันกำเนิดรังสี และหัววัดรังสี โดยการทดสอบความถูกต้อง และความแม่นยำของการควบคุมการเคลื่อนที่ของสเตปปิงมอเตอร์ ส่วนที่สองคือ การทดสอบระบบวัดรังสี และส่วนที่สามคือ การทดสอบหาความเหมาะสมของเวลาในการเก็บข้อมูลโปรไฟล์ เพื่อนำไปคำนวณสร้างภาพโพโนกราฟ

4.1 การทดสอบระบบกล

ระบบกลสำหรับควบคุมการหมุนของตันกำเนิดรังสี และหัววัดรังสี ต้องทดสอบความถูกต้องและความแม่นยำของการควบคุมการเคลื่อนที่ของสเตปปิงมอเตอร์ โดยจัดระบบทดสอบ ดังรูปที่ 4.1 ทำเครื่องหมายระบุตำแหน่งทุก ๆ 10 องศา บนวงลайл์ดทั้งสองส่วน โดยใช้ไฟโตทรานซิสเตอร์ช่วยในการกำหนดจุดเริ่มต้นและจุดที่ทำเครื่องหมายระบุตำแหน่ง แล้วใช้โปรแกรมควบคุม และนับจำนวนสเตปปิ่งของสเตปปิงมอเตอร์ เพื่อใช้ตรวจสอบความถูกต้อง หน้าต่างโปรแกรมทดสอบระบบกลแสดงในรูปที่ 4.2



รูปที่ 4.1 แผนภาพแสดงการทดสอบระบบกล



รูปที่ 4.2 หน้าต่างโปรแกรมทดสอบระบบกล

โปรแกรมการทดสอบระบบกลแบ่งออกเป็นสองส่วนคือ ส่วนที่ควบคุมหัววัดรังสี และส่วนที่ควบคุมต้นกำเนิดรังสี โดยใช้การกระดุนไฟฟ้าของสเตปปิงมอเตอร์แบบ One-Two Phase กำหนดความเร็ว และแสดงจำนวนสเตปที่ใช้ในการเคลื่อนที่

การทดสอบระบบกล โดยกำหนดให้สเตปปิงมอเตอร์เคลื่อนที่ไปและกลับ โดยทดสอบที่มุม 10, 45, 90, 135, 180, และ 270 องศา และตรวจสอบจำนวนสเตปที่ใช้ในการเคลื่อนที่ โดยสเตปปิงมอเตอร์ส่วนของหัววัดรังสีจะต้องเคลื่อนที่ทั้งสิ้น 270 องศา ส่วนสเตปปิงมอเตอร์ส่วนต้นกำเนิดรังสีจะเคลื่อนที่ 180 องศา พนว่าการเคลื่อนที่ของสเตปปิงมอเตอร์เป็นไปด้วยความแม่นยำสูงผลการทดสอบแสดงในตารางที่ 4.1

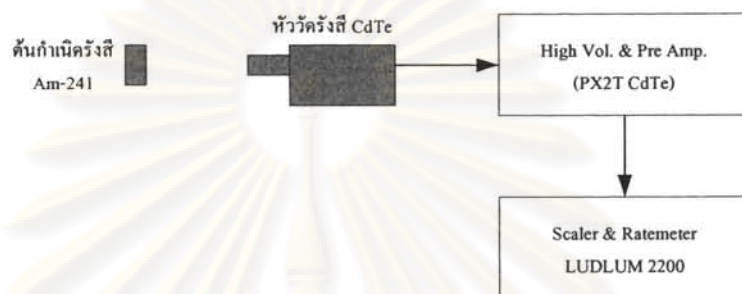
**ศูนย์วิทยทรัพยากร
จุฬาลงกรณ์มหาวิทยาลัย**

ตารางที่ 4.1 แสดงผลการทดสอบระบบบกคล

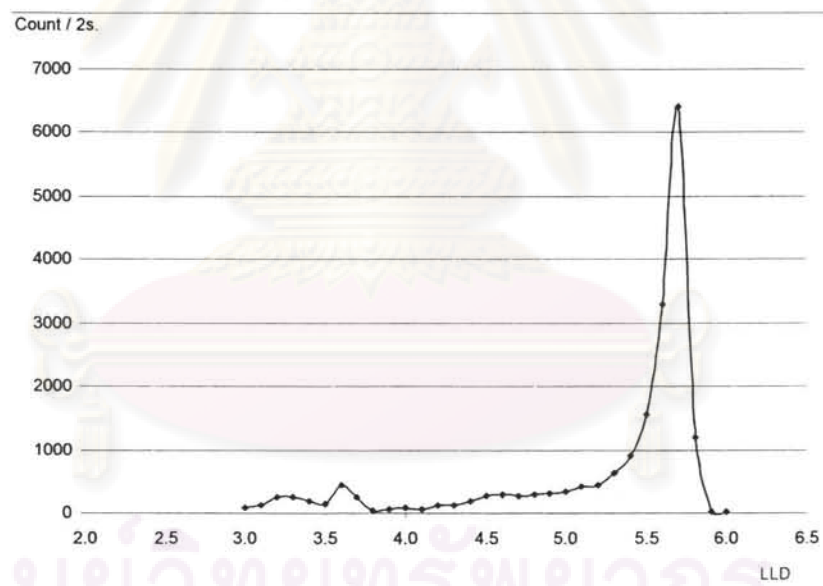
มุม (องศา)	ครั้งที่	จำนวนสเตปของ Stepping motor 1		จำนวนสเตปของ Stepping motor 2	
		Turn left	Turn right	Turn left	Turn right
10	1	292	292	292	292
	2	292	292	292	292
	3	292	292	292	292
	4	292	292	292	292
	5	292	292	292	292
45	1	964	964	964	964
	2	964	964	964	964
	3	964	964	964	964
	4	964	964	964	964
	5	964	964	964	964
90	1	1928	1928	1928	1928
	2	1928	1928	1928	1928
	3	1928	1928	1928	1928
	4	1928	1928	1928	1928
	5	1928	1928	1928	1928
135	1	2912	2912	2912	2912
	2	2912	2912	2912	2912
	3	2912	2912	2912	2912
	4	2912	2912	2912	2912
	5	2912	2912	2912	2912
180	1	3856	3856	3856	3856
	2	3856	3856	3856	3856
	3	3856	3856	3856	3856
	4	3856	3856	3856	3856
	5	3856	3856	3856	3856
270	1	7824	7824	-	-
	2	7824	7824	-	-
	3	7824	7824	-	-
	4	7824	7824	-	-
	5	7824	7824	-	-

4.2 การทดสอบระบบวัดรังสี gamma

ใช้ต้นกำเนิดรังสี gamma Am-241 พลังงาน 59.5 keV ความแรงรังสี 100 mCi ร่วมกับหัววัดรังสีชนิดกึ่งตัวนำ CdTe หนา 5 มิลลิเมตร โดยจัดระบบวัดดังรูปที่ 4.3 บันทึกการนับวัด นำมาเขียนกราฟความสัมพันธ์ระหว่างค่านับวัดกับ LLD ผลการทดสอบแสดงดังรูปที่ 4.4



รูปที่ 4.3 แผนภาพแสดงระบบวัดรังสี gamma

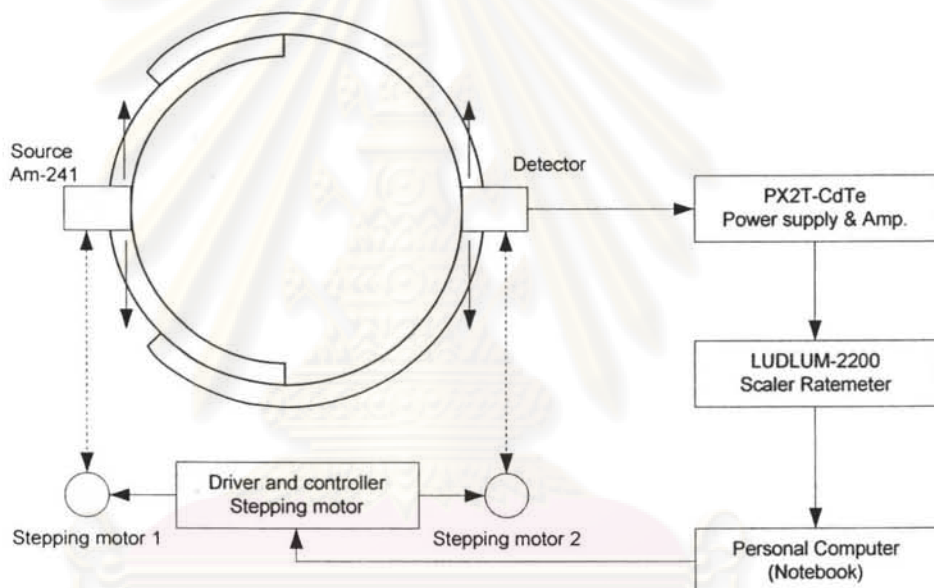


รูปที่ 4.4 กราฟแสดงความสัมพันธ์ระหว่างค่านับวัด และ LLD

การทำงานของระบบสแกนเก็บข้อมูลโปรแกรม จะวัดความเข้มของรังสีเฉพาะส่วนที่เป็นโพโตพีคเท่านั้น ซึ่งก่อนที่จะใช้งานระบบสแกนทุกครั้ง จึงจำเป็นต้องมีการปรับเทียบ และปรับระบบวัดให้ครอบคลุมในส่วนที่เป็นโพโตพีคเท่านั้น เพื่อหลีกเลี่ยงผลกระทบจากการกระเจิงของรังสี ซึ่งจะมีผลต่อคุณภาพของภาพโดยไม่ต้องแก้ไข

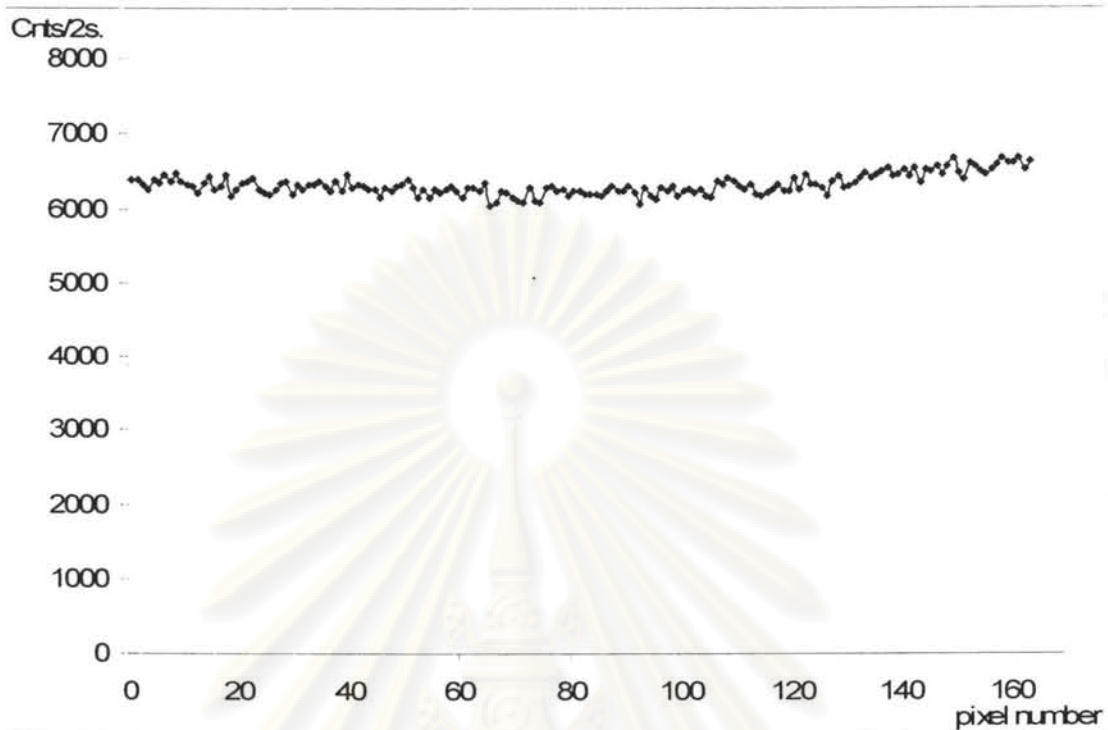
4.3 การทดสอบเก็บข้อมูลโปรไฟล์จากระบบสแกนเก็บข้อมูลโปรไฟล์

ข้อมูลโปรไฟล์ที่ได้จากการสแกน เป็นข้อมูลที่ยังไม่ได้ผ่านการปรับแก้ ดังนั้น ก่อนที่จะสร้างภาพโโนมาราฟีได้นั้นจำเป็นจะต้องมีการเก็บข้อมูล I_0 เพื่อที่จะนำมาใช้ในการ ปรับแก้ข้อมูลโปรไฟล์ก่อนการคำนวณสร้างภาพโโนมาราฟี การเก็บข้อมูล I_0 สามารถจัดระบบได้ ดังรูปที่ 4.5 สแกนเก็บข้อมูลโปรไฟล์ เรียบซัมละ 2 วินาที โดยไม่มีวัตถุตัวอย่าง ควบคุมส่วนของ หัววัดรังสีให้เคลื่อนที่เป็นมุน 90 องศา จากจุดหมุน เนื่องจากขณะมีชิ้นงานตัวอย่างขนาด เส้นผ่าศูนย์กลาง 20 เซนติเมตร หัววัดรังสีจะเคลื่อนที่ครอบคลุมวัตถุเป็นมุน 90 องศา จากจุด หมุนพอดี นำมาเขียนกราฟแสดงข้อมูลโปรไฟล์ ผลการทดสอบแสดงดังรูปที่ 4.6



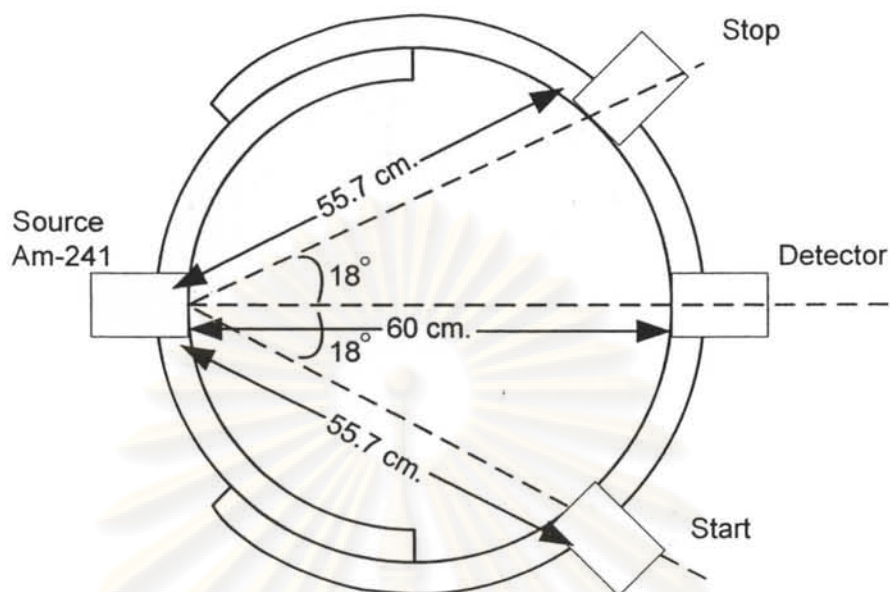
รูปที่ 4.5 ระบบทดสอบเก็บข้อมูล I_0

ศูนย์วิทยทรัพยากร
จุฬาลงกรณ์มหาวิทยาลัย

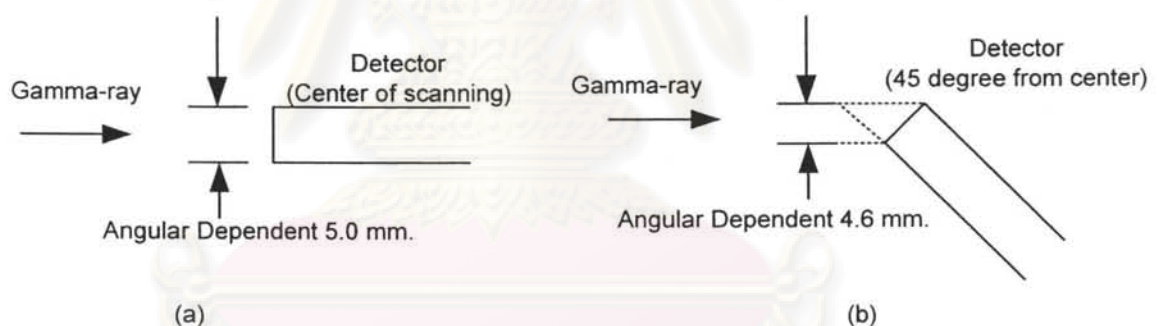


รูปที่ 4.6 ข้อมูลโปรไฟล์ I_0

จากข้อมูลโปรไฟล์ I_0 สังเกตุว่าปริมาณความเข้มรังสีจะลดลงตามลำดับที่สุดช่วง Pixel Number ที่ 82 เนื่องจาก ปริมาณความเข้มรังสีก็ลดลงตามระยะทางยกกำลังสอง จากรูปที่ 4.6 ระยะห่างระหว่างหัวัดถึงต้นกำเนิดรังสีมากที่สุดที่จุดกลางโปรไฟล์เป็นผลให้ปริมาณความเข้ม ของรังสีต่ำกว่าบริเวณด้านข้าง และมีผลจาก Angular Dependent เกิดจากหัวัดรังสีขณะจุดเริ่ม แกน และสิ้นสุดการสแกนของแต่ละโปรไฟล์ จะเกิดมุมที่หัวัดรังสีทำกับต้นกำเนิดรังสี ทำให้ไม่ สามารถรับปริมาณรังสีได้เท่ากันตลอดโปรไฟล์ ดังรูปที่ 4.8(a) เป็นรูปแสดง Angular Dependent ขณะหัวัดอยู่ที่จุดกลางการสแกนทำให้สามารถรับความเข้มรังสีเข้าสู่หัวัดได้โดยตรง ส่วนรูปที่ 4.8(b) เป็นมุมสูงที่สุดที่หัวัดรังสีทำกับต้นกำเนิดรังสี (ที่จุดเริ่มต้น และจุดสิ้นสุดการสแกน)



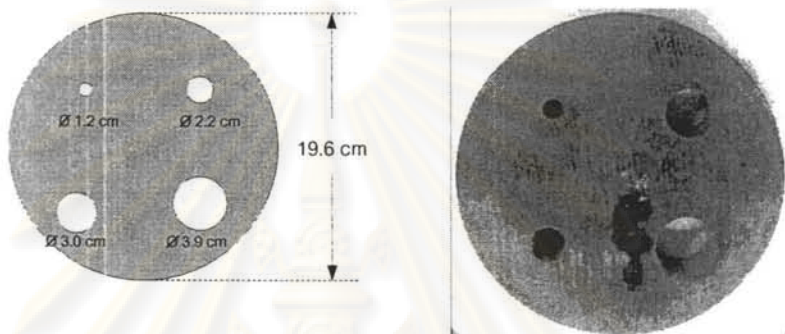
รูปที่ 4.7 แสดงระยะห่างระหว่างหัววัดรังสี และต้นกำเนิดรังสีที่มุ่งต่าง ๆ



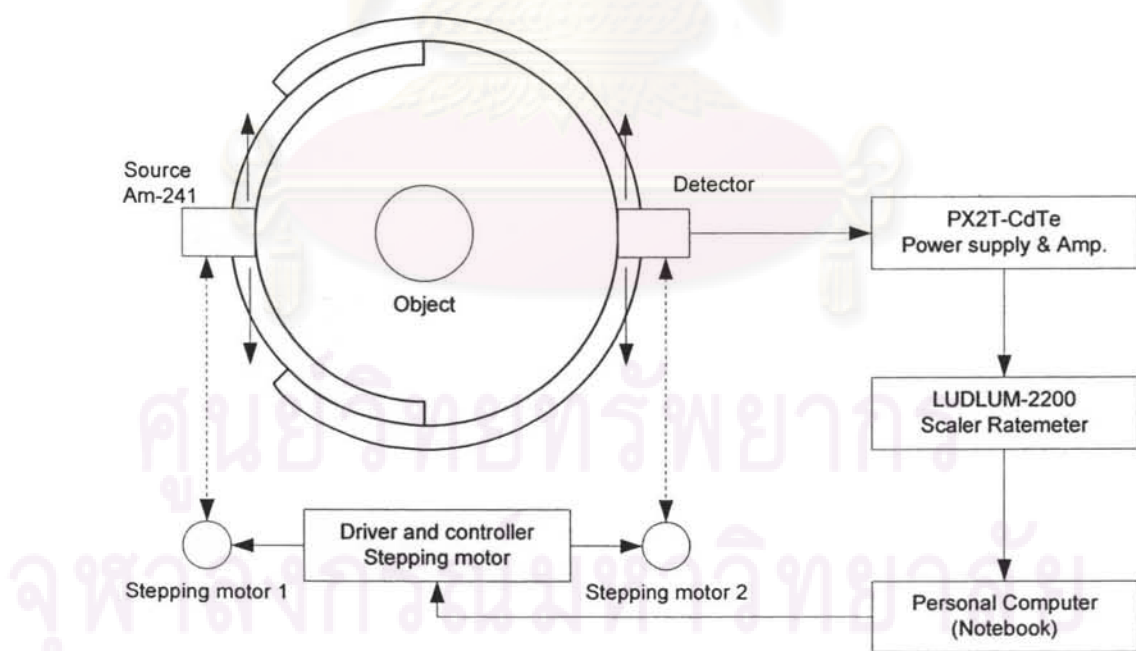
รูปที่ 4.8 Angular Dependent ของหัววัดรังสี

ศูนย์วิทยทรัพยากร
จุฬาลงกรณ์มหาวิทยาลัย

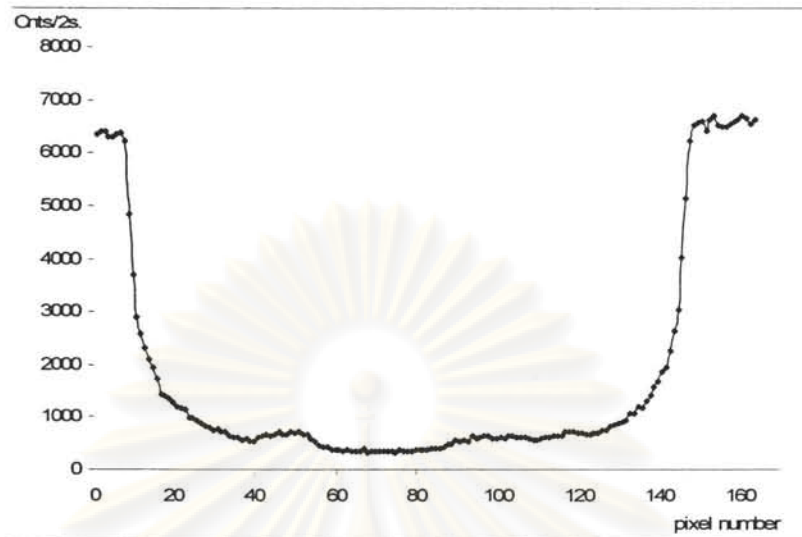
เมื่อสแกนเก็บข้อมูลโปรไฟล์โดยมีวัตถุตัวอย่าง ซึ่งมีลักษณะเป็นไม้เนื้อแข็งทรงกลมด้าน เส้นผ่านศูนย์กลางขนาด 19.6 เซนติเมตร สูง 15 เซนติเมตร เจาะรูในลักษณะเปรียบเสมือนเป็นโครงไม้ 4 รู แต่ละรูมีขนาดเส้นผ่านศูนย์กลางที่แตกต่างกัน คือ 1.2, 2.2, 3.0 และ 3.9 เซนติเมตร ดังรูปที่ 4.9 และจัดระบบการสแกนเก็บข้อมูลโปรไฟล์ดังรูปที่ 4.10 กำหนดให้สแกนเก็บข้อมูลจำนวนหนึ่งโปรไฟล์ เรียกชั้มละ 2 วินาที ข้อมูลโปรไฟล์แสดงดังรูปที่ 4.11



รูปที่ 4.9 ชิ้นงานทดสอบระบบสแกนเก็บข้อมูลโปรไฟล์



รูปที่ 4.10 แผนภาพแสดงระบบสแกนเก็บข้อมูลโปรไฟล์

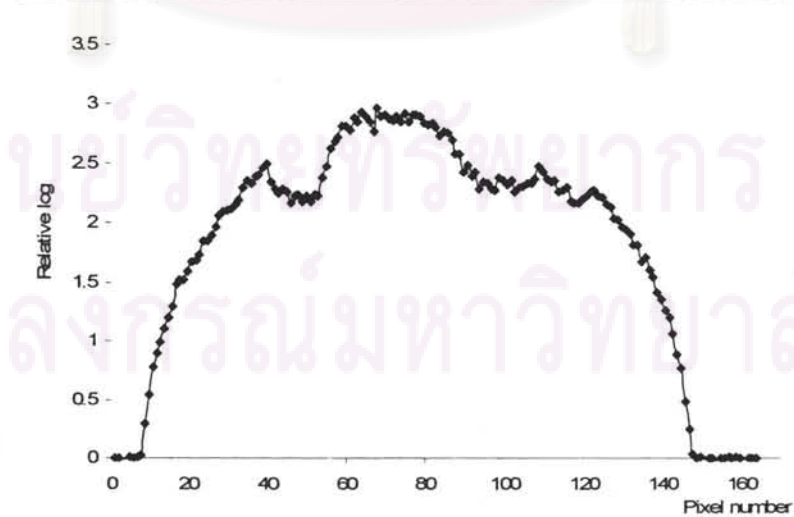


รูปที่ 4.11 ข้อมูลโปรไฟล์ที่ไม่ได้ผ่านการปรับแก้

จากการแสดงข้อมูลโปรไฟล์สังเกตว่า เมื่อรังสีผ่านวัตถุตัวอย่าง ปริมาณความเข้มรังสีที่ลดลงจะสัมพันธ์กับความหนาของวัตถุตัวอย่าง และเมื่อนำข้อมูลที่ได้มาปรับแก้กับค่า I_0 จากสมการที่ 4.1

$$I = \ln\left(\frac{I - \text{Background}}{I_0 - \text{Background}}\right) \quad \dots 4.1$$

แล้วเขียนกราฟแสดงข้อมูลโปรไฟล์ที่ผ่านการปรับแก้ได้ดังรูปที่ 4.12 พบร่วมกับข้อมูลโปรไฟล์สามารถแยกแยะรายละเอียดได้ดีขึ้น

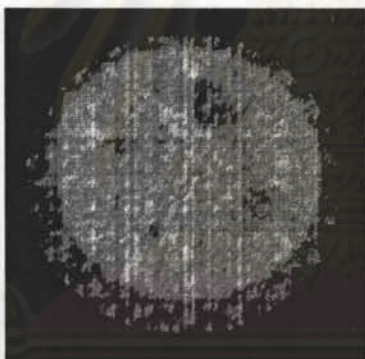
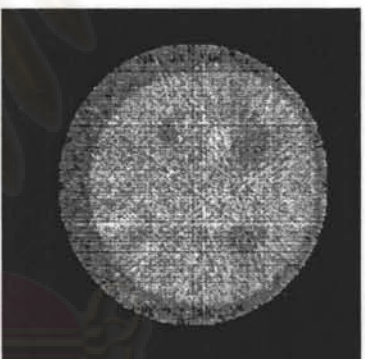


รูปที่ 4.12 ข้อมูลโปรไฟล์ที่ผ่านการปรับแก้ I_0 และ

4.4 การทดสอบหาความเหมาะสมของเวลาที่ใช้ในการวัด และจำนวนเรย์ซัมในการเก็บข้อมูลโปรไฟล์ สำหรับการคำนวณสร้างภาพトイโมกราฟี

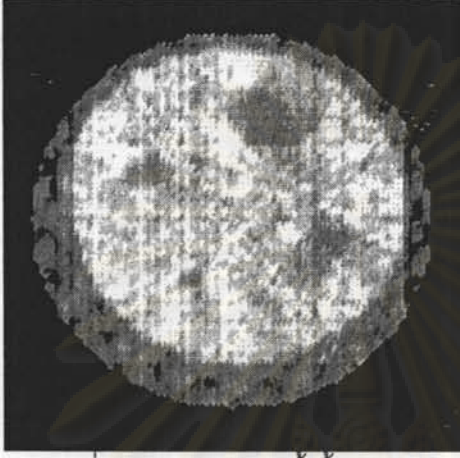
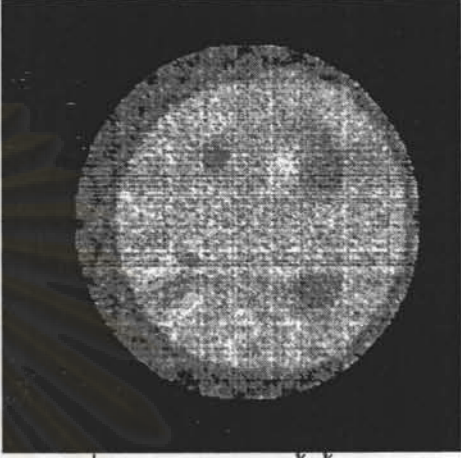
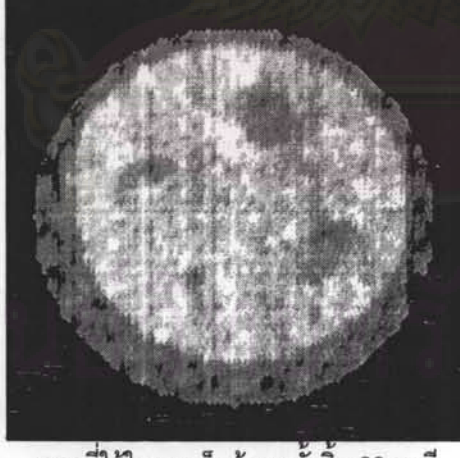
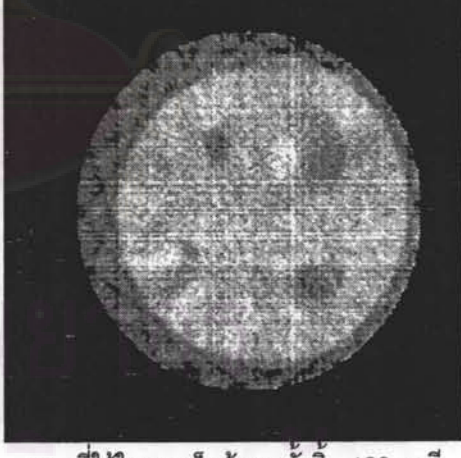
การใช้งานระบบสแกนที่พัฒนาขึ้นจากโปรแกรมควบคุมระบบสแกน จำเป็นต้องเรียกข้อมูล I_0 จากข้อมูลที่บันทึกไว้ให้สอดคล้องกับจำนวนเรย์ซัมและเวลาในการเก็บข้อมูลโปรไฟล์ที่ต้องการ ทำการสแกนให้ครอบคลุมวัสดุด้วยอย่างทั้งสิ้น 180 องศา และจึงทำการทดสอบหาความเหมาะสมของเวลา และจำนวนเรย์ซัมที่ใช้ในการสแกนเก็บข้อมูลโปรไฟล์แต่ละโปรไฟล์ โดยจัดอุปกรณ์การทดสอบดังรูปที่ 4.10 และใช้ชิ้นงานตัวอย่างดังรูปที่ 4.9 ผลการทดสอบแสดงในตารางที่ 4.2

ตารางที่ 4.2 แสดงผลการคำนวณสร้างภาพトイโมกราฟี ที่เวลา และจำนวนเรย์ซัมต่างๆ

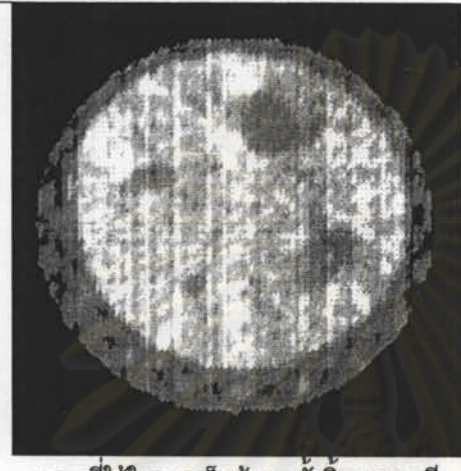
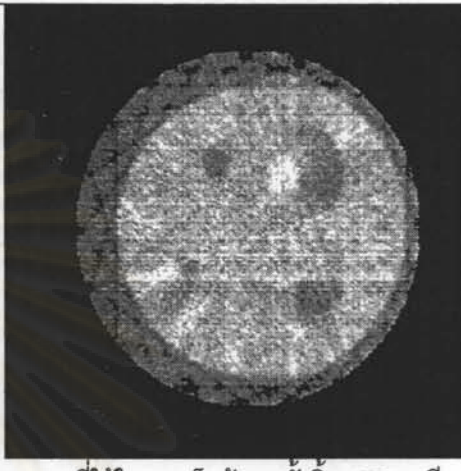
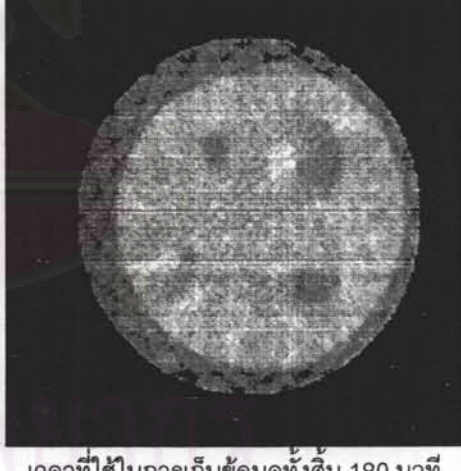
เวลา (วินาที/เรย์ซัม)	จำนวนเรย์ซัม / 1 โปรไฟล์	
	82	164
1	 เวลาที่ใช้ในการเก็บข้อมูลทั้งสิ้น 30 นาที	 เวลาที่ใช้ในการเก็บข้อมูลทั้งสิ้น 60 นาที

จากการทดสอบทั้งสองภาพ จะพบว่างกลมสีดำจำนวน 4 วง ซึ่งก็คือ รูปที่จะมาจากชิ้นงานทดสอบ ขนาดต่าง ๆ สามารถเห็นขนาดเล็กที่สุดได้ สังเกตจากภาพトイโมกราฟี ด้านขวาบนบริเวณส่วนที่มีลักษณะเป็นวงกลมสีขาวใกล้กับฐานด้านใหญ่ ทั้งนี้เนื่องจากชิ้นงานตัวอย่างบริเวณนั้นมีความหนาแน่นสูงกว่าบริเวณโดยรอบ และเกิด artifact ในลักษณะเป็นเส้น ที่โดยเกิดจากความผิดพลาดของการเก็บข้อมูลโปรไฟล์ทั้งสองภาพ ที่ภาพトイโมกราฟีที่มีจำนวนเรย์ซัม 82 เรย์ซัมต่อหนึ่งโปรไฟล์ จะพบว่ามีความคงเด่นอยู่กว่าภาพトイโมกราฟีที่มีจำนวนเรย์ซัม 164 เรย์ซัมต่อหนึ่งโปรไฟล์ ค่อนข้างมาก

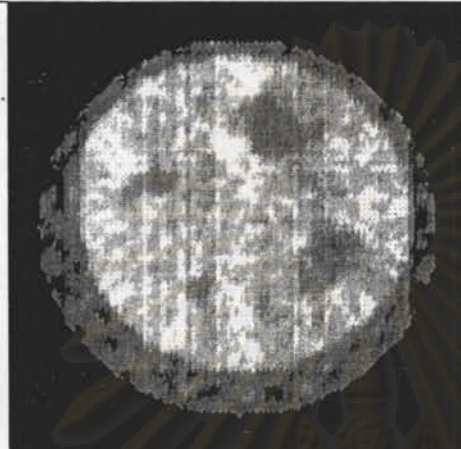
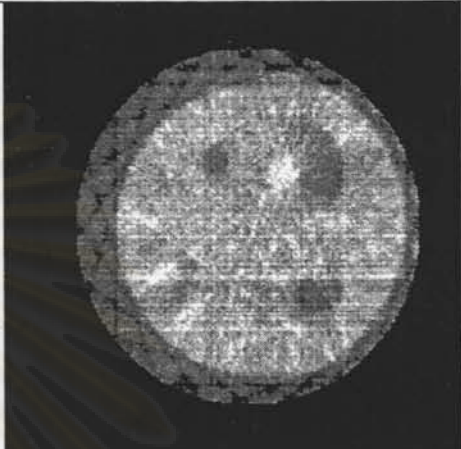
ตารางที่ 4.2 แสดงผลการคำนวณสร้างภาพトイโมกราฟี ที่เวลา และจำนวนเรย์ซัมต่าง ๆ (ต่อ)

เวลา (วินาที/เรย์ซัม)	จำนวนเรย์ซัม / 1 โปรไฟล์	
	82	164
2	 เวลาที่ใช้ในการเก็บข้อมูลทั้งสิ้น 45 นาที	 เวลาที่ใช้ในการเก็บข้อมูลทั้งสิ้น 90 นาที
	<p>จากภาพトイโมกราฟี พบรวงกลมสี่ด้านจำนวน 4 วง คือ รูที่ชึ้นงานทดสอบ มีรายละเอียดที่ชัดเจนกว่าภาพトイโมกราฟีที่เก็บข้อมูล 1 วินาทีต่อเรย์ซัม เห็นรูขันดาลเล็กที่สุดได้ เกิด artifact เป็นเส้น จากการคำนวณผลของการเก็บข้อมูลโปรไฟล์ และภาพที่มีจำนวนเรย์ซัม 82 เรย์ซัมต่อโปรไฟล์ ความคมชัดน้อยกว่าภาพที่มีจำนวนเรย์ซัม 164 เรย์ซัม ต่อโปรไฟล์ ค่อนข้างมาก</p>	
3	 เวลาที่ใช้ในการเก็บข้อมูลทั้งสิ้น 60 นาที	 เวลาที่ใช้ในการเก็บข้อมูลทั้งสิ้น 120 นาที
	<p>จากภาพトイโมกราฟี พบร่วมมีรายละเอียดที่ชัดเจนกว่าภาพトイโมกราฟีที่เก็บข้อมูล 2 วินาทีต่อเรย์ซัม เห็นรูขันดาลเล็กที่สุดได้ และเกิด artifact ในลักษณะเป็นเส้น โดยเกิดจากความผิดพลาดของการเก็บข้อมูลโปรไฟล์ทั้งสองภาพ แต่เวลาที่ใช้ในการเก็บข้อมูลโปรไฟล์สำหรับการคำนวณภาพトイโมกราฟีค่อนข้างนาน</p>	

ตารางที่ 4.2 แสดงผลการคำนวณสร้างภาพトイโมกราฟี ที่เวลา และจำนวนเรย์ชัมต่าง ๆ (ต่อ)

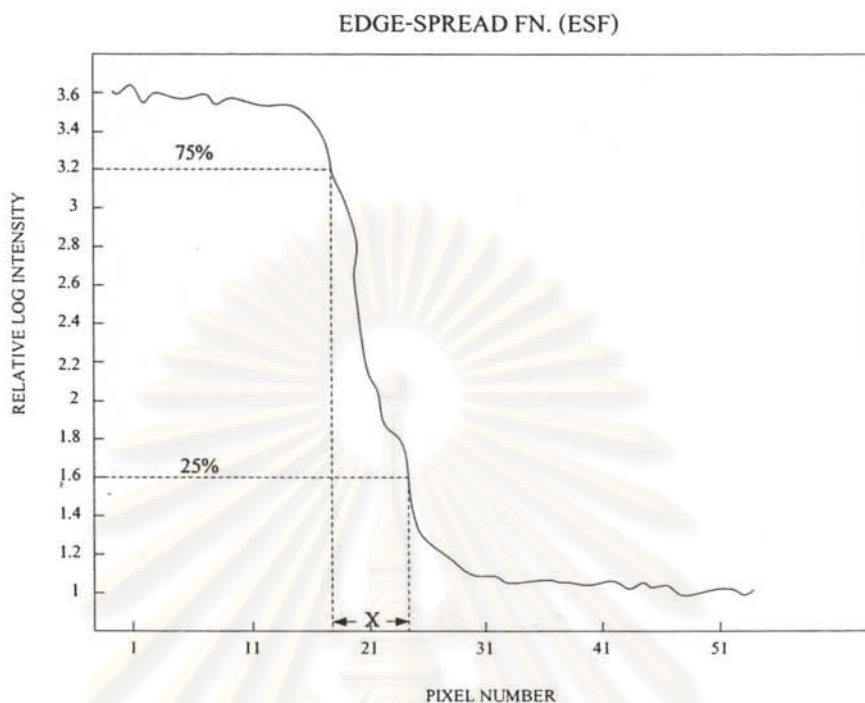
เวลา (วินาที/เรย์ชัม)	จำนวนเรย์ชัม / 1 โปรไฟล์	
	82	164
4	 <p>เวลาที่ใช้ในการเก็บข้อมูลทั้งสิ้น 75 นาที</p>	 <p>เวลาที่ใช้ในการเก็บข้อมูลทั้งสิ้น 150 นาที</p>
	<p>จากภาพトイโมกราฟี พบร่วมรายละเอียดที่ใกล้เคียงกับภาพトイโมกราฟีที่เก็บข้อมูล 3 วินาทีต่อนึงเรย์ชัม สามารถเห็นขนาดเล็กที่สุดได้ และเกิด artifact ในลักษณะเป็นเส้นเช่นเดียวกัน แต่เวลาที่ใช้ในการเก็บข้อมูลโปรไฟล์ค่อนข้างนาน</p>	
5	 <p>เวลาที่ใช้ในการเก็บข้อมูลทั้งสิ้น 90 นาที</p>	 <p>เวลาที่ใช้ในการเก็บข้อมูลทั้งสิ้น 180 นาที</p>
	<p>จากภาพトイโมกราฟี พบร่วมรายละเอียดที่ใกล้เคียงกับภาพトイโมกราฟีที่เก็บข้อมูล 4 วินาทีต่อนึงเรย์ชัม สามารถเห็นขนาดเล็กที่สุดได้ และเกิด artifact ในลักษณะเป็นเส้น โดยเกิดจากความผิดพลาดของการเก็บข้อมูลโปรไฟล์ทั้งสองภาพ เวลาที่ใช้ในการเก็บข้อมูลโปรไฟล์สำหรับการคำนวณภาพトイโมกราฟีนาน</p>	

ตารางที่ 4.2 แสดงผลการคำนวณสร้างภาพトイโมกราฟี ที่เวลา และจำนวนเรย์ชั้มต่าง ๆ (ต่อ)

เวลา (วินาที/เรย์ชั้ม)	จำนวนเรย์ชั้ม / 1 โปรไฟล์	
	82	164
6	 เวลาที่ใช้ในการเก็บข้อมูลทั้งสิ้น 105 นาที	 เวลาที่ใช้ในการเก็บข้อมูลทั้งสิ้น 210 นาที
	จากภาพトイโมกราฟี พบร่วมมีรายละเอียดที่ใกล้เคียงกับภาพトイโมกราฟีที่เก็บข้อมูล 5 วินาทีต่อหนึ่งเรย์ชั้ม สามารถเห็นขนาดเล็กที่สุดได้ และเกิด artifact ในลักษณะเป็นเส้น โดยเกิดจากความผิดพลาดของการเก็บข้อมูลโปรไฟล์ทั้งสองภาพ แต่เวลาที่ใช้ในการเก็บข้อมูลโปรไฟล์สำหรับการคำนวณภาพトイโมกราฟีนานมาก	

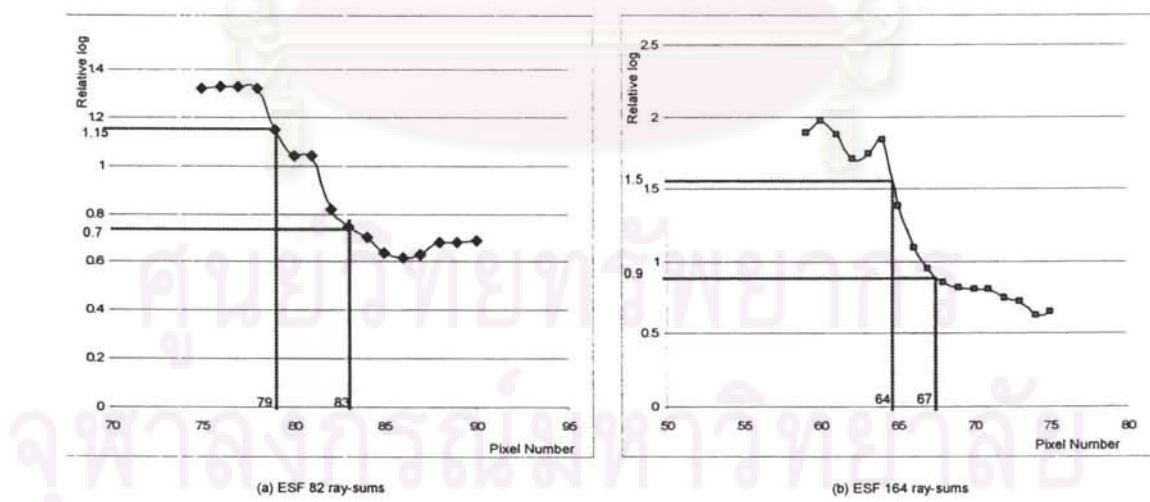
4.5 การทดสอบเพื่อหาความคงซัดของภาพトイโมกราฟี

การหาค่าความคงซัดของภาพトイโมกราฟี สามารถทำได้โดยการอ่านค่า โปรไฟล์ ของค่า CT-Number จากภาพトイโมกราฟี ณ บริเวณรอยต่อของชิ้นงานตัวอย่างกับอากาศ ซึ่งในงานวิจัยนี้ใช้ชิ้นงานตัวอย่าง คือ ไม้ โดยใช้วิธี Edge-Spread Function ในการตรวจสอบ ซึ่งสามารถอธิบายโดยกราฟแสดงค่าความสัมพันธ์ระหว่างค่า Relative logarithm กับค่า Pixel Number ของภาพトイโมกราฟีพบว่าที่เป็นบริเวณที่เป็นอากาศ และบริเวณค่า CT-Number ของชิ้นงานตัวอย่าง บริเวณรอยต่อนั้น การจะตรวจสอบค่าความคงซัดของภาพトイโมกราฟี สามารถทำโดยการกำหนดความกว้างของ Pixel Number ระหว่างค่า CT-Number จาก 25% และ 75% ของค่า CT-Number สูงสุด อ่านค่าความคงซัดในแนวแกน Pixel Number ดังภาพที่ 4.13



รูปที่ 4.13 กราฟแสดงการทดสอบแบบ Edge-Spread Function

ในการทดลองกับชิ้นงานทดสอบพบว่าค่าความคมชัดของภาพโน้มกราฟ เมื่อสแกนเก็บข้อมูลโปรไฟล์ โดยกำหนดขนาดของลำรังสีที่กรอบหัวดรังสี เท่ากับ 5 มิลลิเมตร และจำนวนข้อมูล 82 และ 164 เรย์ซัม มีค่าเท่ากับ 6.05 และ 4.53 มิลลิเมตร ตามลำดับ ดังรูปที่ 4.14

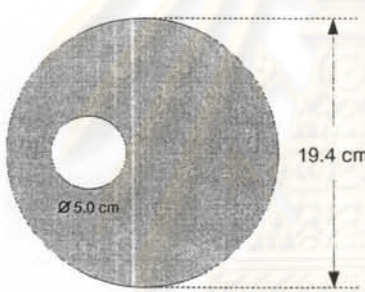
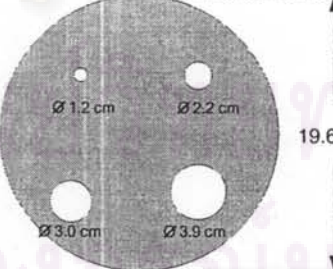
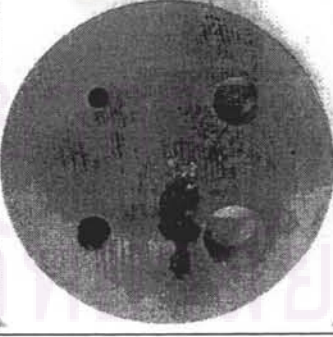


รูปที่ 4.14 ผลการทดสอบค่าความคมชัด

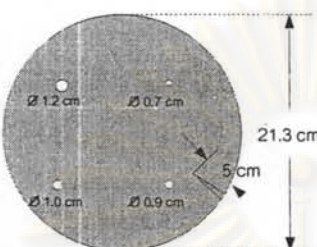
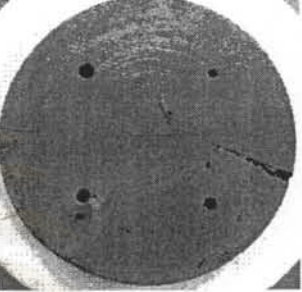
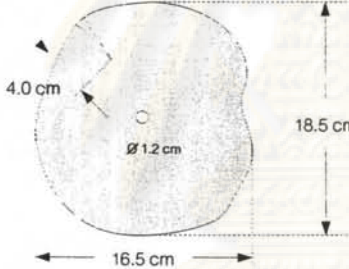
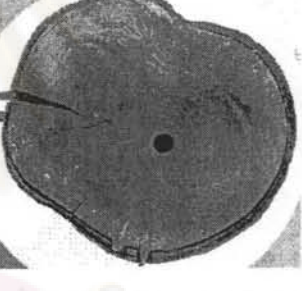
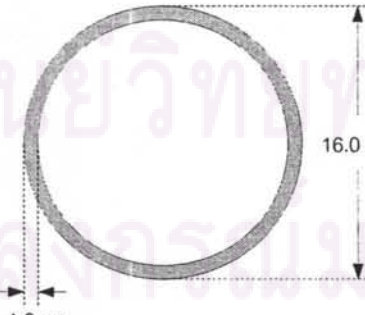
4.6 การออกแบบชิ้นงานทดสอบ และผลการคำนวณสร้างภาพໂທໂນກرافີຂອງชิ้นงานทดสอบ

ในการทดสอบระบบเก็บข้อมูลໂປຣໄຟລ໌ເພື່ອການສ້າງພາບໂທໂນກرافີດ້ວຍຮັງສີແກມມາພັດງານຕໍ່ນີ້ ໄດ້ອອກແບບชິ້ນງານทดสอบໂດຍມີຈຸດມຸ່ງໝາຍທີ່ວັດຖຸທີ່ເປັນ ໄນ ທີ່ມີຂະດວັດສົມ ໃນເກີນ 10 ເຊັນຕີເມຕຣ ່າຈະຮູ້ນາດຕ່າງໆ ເພື່ອຕຽບສອບວ່າເຊື້ດຄວາມສາມາດຂອງຮະບັບເກັບຂໍ້ອມູລໂປຣໄຟລ໌ນີ້ມີປະສິທິກາພມາກນ້ອຍເພີ່ມໄດ້ ສິ່ງໄດ້ອອກແບບชິ້ນງານຕ່າງໆ ດັ່ງຕາງໆທີ່ 4.3

ຕາງໆທີ່ 4.3 ຂິ້ນງານทดสอบສໍາໜັບຮະບັບເກັບຂໍ້ອມູລໂປຣໄຟລ໌

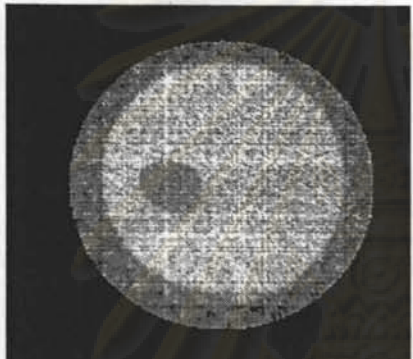
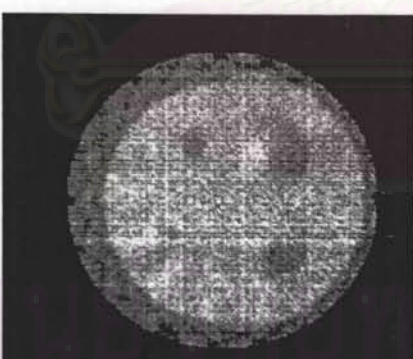
ຂິ້ນງານ ทดสอบ	ແຜນພາບຂິ້ນງານทดสอบ	ຄໍາອິນຍາຍລັກຜະນະຂິ້ນງານทดสอบ
1	 <p>ຂິ້ນງານມີລັກຜະນະເປັນໄມ້ເນື້ອເຂັ້ງທຽບກລມດັນ ເສັ້ນຜ່ານຄູນຍົກລາງປະມານ 19.4 ເຊັນຕີເມຕຣ ສູງ 15 ເຊັນຕີເມຕຣ ່າຈະຮູ້ໃນລັກຜະນະຂອງໂພຣ໌ໄມ້ຂະດເສັ້ນຜ່ານຄູນຍົກລາງ 5 ເຊັນຕີເມຕຣ</p>	
2	 <p>ຂິ້ນງານມີລັກຜະນະເປັນໄມ້ເນື້ອເຂັ້ງທຽບກລມດັນ ເສັ້ນຜ່ານຄູນຍົກລາງປະມານ 19.6 ເຊັນຕີເມຕຣ ສູງ 15 ເຊັນຕີເມຕຣ ່າຈະຮູ້ໃນລັກຜະນະຂອງໂພຣ໌ໄມ້ 4 ຮູ ແຕ່ລະຮູ້ມີຂະດເສັ້ນຜ່ານຄູນຍົກລາງທີ່ແຕກຕ່າງກັນ ຄືອ 1.2, 2.2, 3.0 ແລະ 3.9 ເຊັນຕີເມຕຣ ຕາມລຳດັບ</p>	

ตารางที่ 4.3 ชิ้นงานทดสอบสำหรับระบบเก็บข้อมูลโปรแกรม (ต่อ)

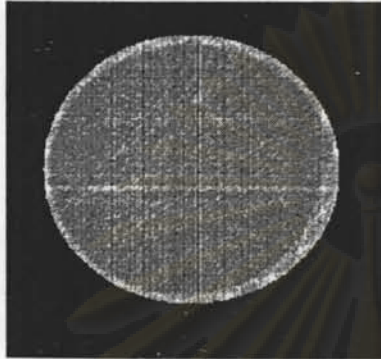
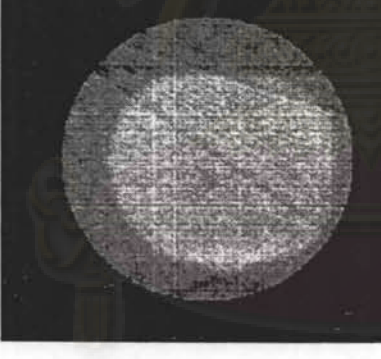
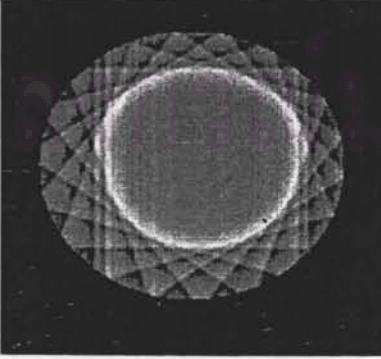
ชิ้นงานทดสอบ	แผนภาพชิ้นงานทดสอบ	คำอธิบายลักษณะชิ้นงานทดสอบ
3		 <p>ชิ้นงานมีลักษณะเป็นไม้เนื้อแข็งทรงกลมตัน เส้นผ่านศูนย์กลางประมาณ 21.3 เซนติเมตร สูง 15 เซนติเมตร เจาะรูในลักษณะของโพรงไม้ 4 รู แต่ละรูมีขนาดเส้นผ่านศูนย์กลางที่แตกต่างกัน คือ 0.7, 0.9, 1.0 และ 1.2 เซนติเมตร ตามลำดับ</p>
4		 <p>ชิ้นงานเป็นห่อนไม้เนื้อแข็ง ขนาดประมาณ 18.5 x 16.5 เซนติเมตร มีรอยแตกตามธรรมชาติ ยาว 4.0 เซนติเมตร และเจาะรูขนาดเส้นผ่านศูนย์กลาง 1.2 เซนติเมตร</p>
5		 <p>ชิ้นงานมีลักษณะเป็นท่อปูนซีเมนต์ ภายในกลวง ขนาดเส้นผ่านศูนย์กลาง 16.0 เซนติเมตร หนา 1.0 เซนติเมตร สูงประมาณ 30 เซนติเมตร</p>

ผลการคำนวนสร้างภาพトイโมกราฟีด้วยระบบสแกนรังสีแกมมาพลังงานต่ำ โดยปริมาณรังสีเข้าสู่หัววัดเส้นผ่านศูนย์กลาง 5 มิลลิเมตร กำหนดเวลา 2 วินาทีต่อหนึ่งเรย์ชัม จำนวน 164 เรย์ชัมต่อหนึ่งโปรไฟล์ เก็บข้อมูล 11 โปรไฟล์ ได้ผลการทดสอบดังตารางที่ 4.4

ตารางที่ 4.4 ผลการทดสอบภาพトイโมกราฟีด้วยระบบสแกนรังสีแกมมาพลังงานต่ำ

ชื่องานทดสอบ	ภาพトイโมกราฟีของชื่องานทดสอบ	คำอธิบายลักษณะภาพトイโมกราฟี
1		จากภาพトイโมกราฟี พบร่วงภาพมีลักษณะใกล้เคียงกับชื่องานทดสอบ โดยมีวงกลมสีดำ ซึ่งคือ ฐานขนาด 5 เซนติเมตร ภาพトイโมกราฟีที่ได้สามารถบอกขนาด รูปร่าง และตำแหน่งคร่าว ๆ ของชื่องานทดสอบได้เป็นอย่างดี ส่วน artifact ที่พบเป็นเส้นตรง ซึ่งสามารถเกิดได้จากความหนาแน่นของเนื้อไม้ที่ไม่สม่ำเสมอ ความคลาดเคลื่อนของระบบกล้องที่ใช้ในการสแกนเก็บข้อมูลโปรไฟล์ และอาจเกิดจากการปรับเทียบด้วยค่า I_0 และค่า Background
2		จากภาพトイโมกราฟี พบร่วงภาพมีลักษณะใกล้เคียงกับชื่องานทดสอบ โดยมีวงกลมสีดำ 4 วง ซึ่งคือ ฐานแตกต่างกัน คือ 1.2, 2.2, 3.0 และ 3.9 เซนติเมตร ภาพトイโมกราฟีที่ได้สามารถบอกขนาด รูปร่าง และตำแหน่งคร่าว ๆ ของชื่องานทดสอบได้เป็นอย่างดีซึ่งบริเวณโดยรอบชื่องาน ส่วน artifact ที่พบมีลักษณะเป็นเส้นตรง และรอยสีขาวบริเวณใกล้ ๆ ขนาด 3.0 เซนติเมตร ซึ่งสามารถเกิดได้จากความหนาแน่นของเนื้อไม้ที่ไม่สม่ำเสมอ และความคลาดเคลื่อนของระบบกล้อง

ตารางที่ 4.4 ผลการทดสอบภาพโทไมกราฟีด้วยระบบสแกนรังสีแกรมมาพลังงานต่ำ (ต่อ)

ชื่องาน ทดสอบ	ภาพโทไมกราฟีของชื่องานทดสอบ	คำอธิบายลักษณะภาพโทไมกราฟี
3		จากภาพโทไมกราฟี พบร่วมกับภาพชื่องานทดสอบ พบร่องรอยวงกลมสีดำขนาดเล็ก 1 วง ซึ่งก็คือ รูปขนาด 1.2 เซนติเมตร ซึ่งเป็นขีดจำกัดของ ระบบสแกนเก็บข้อมูลโปรไฟล์สำหรับคำนวณ สร้างภาพโทไมกราฟี โดยสามารถบอกขนาด รูปร่าง และตำแหน่งของชื่องานได้ไม่เกิน 1.2 เซนติเมตร ส่วน artifact ที่พบมีลักษณะเป็น เส้นตรง ซึ่งสามารถเกิดได้จากการหมุนแน่น ของเนื้อไม้ที่ไม่สม่ำเสมอ และ ความคลาดเคลื่อนของระบบกล ที่ใช้ในการสแกนเก็บข้อมูลโปรไฟล์
4		จากภาพโทไมกราฟี พบร่วมกับภาพชื่องานทดสอบ สามารถเห็นรูปขนาด 1.2 เซนติเมตรได้ แต่ไม่สามารถเห็น รอยแตกตาม ธรรมชาติได้ เนื่องจาก ขนาดความกว้างของ รอยแยกเล็กเกินกว่าขีดจำกัดของระบบสแกน และยังคงมี artifact ที่มีลักษณะเป็นเส้นตรง ซึ่ง สามารถเกิดได้จาก ความหนาแน่นของเนื้อไม้ที่ ไม่สม่ำเสมอ และความคลาดเคลื่อนของระบบ กล ที่ใช้ในการสแกนเก็บข้อมูลโปรไฟล์
5		จากภาพโทไมกราฟี จะพบว่าภาพมีลักษณะ ใกล้เคียงกับชื่องานทดสอบที่มีลักษณะเป็นห่อ หักขนาด และรูปร่าง และยังพบเห็น artifact ที่มี ลักษณะเป็นเส้นตรงบางส่วนบริเวณขอบภาพ ซึ่งสามารถเกิดได้จากการหมุนแน่น ของ ระบบกล ที่ใช้ในการสแกนเก็บข้อมูลโปรไฟล์

4.7 การทดสอบการใช้งานภาคสนาม และผลการสร้างภาพໂທໂມກຣາຟີ

วัตถุประสงค์หลักของการพัฒนาระบบสแกนด้วยรังสีแกมมาเพลิงงานต้านนิรเดลื่อนย้ายได้สำหรับการคำนวนสร้างภาพໂທໂມກຣາຟີ นั้นก็คือ การใช้งานภาคสนาม เน้นไปที่การตรวจสอบเส้าไม่โบราณ ดันไม้ และวัสดุที่มีเลขอะตอมต่าง ๆ สามารถติดตั้งใช้งานภาคสนาม ได้ดัง รูปที่ 4.15 ถอดส่วนของรางสไลด์ ประกอบให้ครอบคลุมส่วนของเส้าไม้ที่ต้องการสร้างภาพໂທໂມກຣາຟີ เชื่อมต่อเข้ากับระบบควบคุม และส่วนขับเคลื่อนระบบกล แล้วเปิดโปรแกรม สำหรับควบคุม การเก็บข้อมูลไปไฟล์สำหรับการคำนวนสร้างภาพໂທໂມກຣາຟີ



รูปที่ 4.15 แสดงการติดตั้งใช้งานระบบสแกนภาคสนาม



รูปที่ 4.16 แสดงการใช้งานภาคสนาม

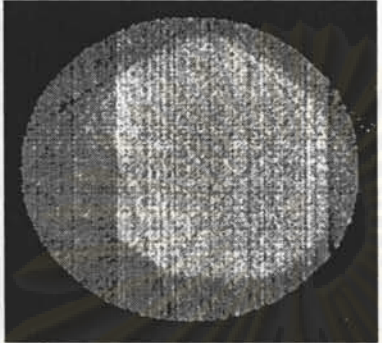
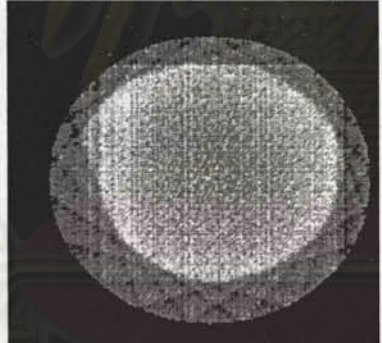
ผลการทดสอบการใช้งาน ในการเคลื่อนย้ายติดตั้งร่างสไลด์สามารถทำได้ค่อนข้างสะดวก เนื่องจากมีน้ำหนักเบา สามารถประยุกต์ติดตั้งได้ง่าย การสแกนเก็บข้อมูลໂປຣໄຟລ໌ใช้เวลาประมาณ 90 นาทีต่อการสแกนหนึ่งภาพໂທໂມກຣາຟີ ทำการทดสอบกับตันไม้ และเสาไม้ แสดงในตารางที่ 4.5 และผลการทดสอบแสดงในตารางที่ 4.6

ตารางที่ 4.5 ตัวอย่างงานภาคสนาม

ชิ้นงานที่	ภาพชิ้นงานภาคสนาม	คำอธิบายลักษณะชิ้นงานภาคสนาม
1		เป็นหònไม้ตدامธรรมชาติ เส้นผ่าศูนย์กลางประมาณ 20 เซนติเมตร ฐานทรงไม่กลมมากนัก ภาคตัดขวางที่ต้องการทดสอบ อยู่สูงจากพื้นราบประมาณ 30 เซนติเมตร
2		เป็นไม้ตันหมาก ลำต้นมีขนาดเส้นผ่าศูนย์กลางประมาณ 18 เซนติเมตร ภาคตัด ขวางที่ต้องการทดสอบ อยู่สูงจากพื้นราบประมาณ 35 เซนติเมตร

ศูนย์วิทยทรัพยากร จุฬาลงกรณ์มหาวิทยาลัย

ตารางที่ 4.6 ผลการทดสอบการสร้างภาพโถมกราฟี ในการใช้งานภาคสนาม

ชื่องานที่	ภาพโถมกราฟีของชื่องาน	คำอธิบายลักษณะภาพโถมกราฟี
1		จากภาพโถมกราฟี จะพบว่าภาพมีลักษณะใกล้เคียงกับชื่องานภาคสนาม ทั้งขนาด และรูปร่าง ภายในภาพไม่พบลักษณะของความบกพร่อง ซึ่งระบบสแกนตรวจสอบความละเอียดได้ถึง 1.2 เซนติเมตร แต่พบ artifact ที่มีลักษณะเป็นเส้นตรงบางส่วนบริเวณโดยรอบ ซึ่งสามารถเกิดได้จากการคลาดเคลื่อนของระบบกล้อง ที่ใช้ในการสแกนเก็บข้อมูลโปรไฟล์
2		จากภาพโถมกราฟี จะพบว่าภาพมีลักษณะใกล้เคียงกับชื่องานภาคสนาม ภายในภาพไม่พบลักษณะของความบกพร่อง บริเวณแกนกลางของต้นหมาก มีความหนาแน่นอยู่กว่าบริเวณโดยรอบ สังเกตุได้จากภาพโถมกราฟีบริเวณที่มีสีเข้มกว่า และอาจออกมากที่บริเวณรอบนอก ส่วน Artifact ที่เกิดขึ้นอาจเกิดได้จากการปรับแก้ด้วย I_0 และ Background

ศูนย์วิทยห้องเรียน
จุฬาลงกรณ์มหาวิทยาลัย

บทที่ 5

สรุปผลการวิจัย และข้อเสนอแนะ

5.1 สรุปผลการวิจัย

ผลการวิจัยของการพัฒนาระบบสแกนด้วยรังสีแกมมาเพลิงงานต้านนิคเคลื่อนย้ายได้สำหรับการคำนวณสร้างภาพโน้มถ่วง สามารถสรุปได้ดังนี้

5.1.1 ระบบกลควบคุมด้วยไมโครคอมพิวเตอร์ผ่านทางพอร์ต串_parallel และรับข้อมูลไปไฟล์จากระบบวัดรังสีแกมมา โดยใช้ต้นกำเนิดรังสี Am-241 พลังงาน 59.5 keV หัววัดรังสีแกมมาชนิดกึ่งตัวนำ CdTe ขนาด 5 มิลลิเมตร รุ่น XR-100T แหล่งจ่ายไฟศักดิ์สูง วงจรขยายสัญญาณ โมเดล PX2T CdTe ของบริษัท AMPTEK เครื่อง Scaler Ratemeter โมเดล 2200 ของบริษัท Ludlum ผ่านทางพอร์ตอนุกรม บันทึกและจัดเก็บไว้ในหน่วยความจำภายในไมโครคอมพิวเตอร์ โดยระบบกลสามารถตรวจสอบอัตโนมัติที่มีขนาดเล็กผ่านศูนย์กลางไม่เกิน 20 เซนติเมตร

5.1.2 จากการทดสอบระบบกล เลือกใช้การกรองด้วยเฟลชของสเตปปิงมอเตอร์แบบ one-two phase จากการทดสอบพบว่า การควบคุมสเตปปิงมอเตอร์ให้อยู่ในตำแหน่งต่าง ๆ มีความถูกต้องและแม่นยำ

5.1.3 จากการทดสอบการเก็บข้อมูลໂປຣຟັບແລະການປັບແກ້ຂໍ້ມູນໂປຣຟັບ ພວຍເພີ້ນວ່າ ຂໍ້ມູນໂປຣຟັບທີ່ໄດ້ເມື່ອນຳມາປັບແກ້ດ້ວຍຂໍ້ມູນ I_0 ຈະສາມາດແຍກແຍະຮາຍລະເອີຍໄດ້ດີ່ຂຶ້ນ ໂດຍເປີຍບ່ອນຫຼຸດຂໍ້ມູນໂປຣຟັບຈາກຮູບທີ່ 4.11 ແລະ 4.12

5.1.4 จากการทดสอบหาความความเหมาะสมของเวลาที่ใช้ในการวัด และจำนวนเรย์ชัมในการเก็บข้อมูลໂປຣຟັບສໍາหรับการคำนวณสร้างภาพโน้มถ่วงพบว่า การเก็บข้อมูลໂປຣຟັບທີ່ 164 ເຮົ້າມັນ 11 ໂປຣຟັບ ให้ภาพโน้มถ่วงທີ່ຄວາມລະເອີຍທີ່ດີ ໂດຍໃຊ້ເວລາໃນກາຮັດສະໜັບສະໜັບ 90 ນາທີ ໄດ້ຄ່າຄວາມຄົມຂັດເທິງກັບ 4.53 ມິລລິເມຕຣ

5.1.5 จากการทดสอบการคำนวณสร้างภาพโน้มถ่วงພິຈິນາທົດສອບທີ່ເປັນເສາໄຟແລະທ່ອບູນເຊີເມັນຕີ ໂດຍກຳນົດໃຫ້ເກັບຂໍ້ມູນໂປຣຟັບ 164 ເຮົ້າມັນ 11 ໂປຣຟັບ ໃໃໝ່ເວລາໃນກາຮັດສະໜັບສະໜັບ 90 ນາທີ ພວຍເພີ້ນວ່າສໍາหรับຕ້ວອຍ່າງເສາໄຟຈະເຫັນຮູກາຍໃນທີ່ມີຂາດເສັ້ນຜ່ານ ຜູນຍົກລາງເລີກທີ່ສຸດ 1.0 ເຊັ່ນຕີເມຕຣ ສ່ວນຕ້ວອຍ່າງທ່ອບູນເຊີເມັນຕີ ສາມາດคำนวณสร้างภาพโนມົກຮາຟີໄດ້ຍ່າງຫັດເຈັນ ຜົ່ງຄ້າຕ້ອງການໃຫ້ໄດ້ພາບໂທໂມກຮາຟີມີຄຸນພາພີ້ ສາມາດທຳໄດ້ໂດຍເພີ້ມຈຳນວນ

profile และจำนวนเรียซัม ในการเก็บข้อมูล profile แต่จะทำให้ใช้เวลาในการสแกนเก็บข้อมูล profile นานขึ้น

5.1.6 จากการทดสอบการใช้งานภาคสนาม พบร้า การติดตั้งระบบสแกนเก็บข้อมูล profile ใช้เวลา 15 นาที และใช้เวลาในการสแกนเก็บข้อมูล profile ตัวอย่างละ 90 นาที

5.2 ข้อเสนอแนะ

เนื่องจากระบบที่พัฒนาขึ้นยังมีขีดจำกัดของการใช้งาน จึงขอเสนอแนะแนวทางปรับปรุง และพัฒนาเพื่อให้ระบบมีประสิทธิภาพมากยิ่งขึ้น ดังนี้

5.2.1 ควรใช้หัววัดรังสีแบบอาเรย์ เพื่อลดเวลาการทำงานของระบบสแกนเก็บข้อมูล profile

5.2.2 ควรเพิ่มระบบตรวจสอบหาจุดศูนย์กลางของวัตถุ ก่อนการสแกนเก็บข้อมูล เพื่อตรวจสอบให้วัตถุอยู่ในขอบเขตการสแกน และอยู่ตรงกลางพอดี

**ศูนย์วิทยทรัพยากร
จุฬาลงกรณ์มหาวิทยาลัย**

รายการอ้างอิง

- [1] มงคล วรรณประภา. การพัฒนาระบบสแกนด้วยวิจัยสีแกรมมาเพื่อการคำนวณสร้างภาพโพโนกราฟีของเส้าคอนกรีตเสริมเหล็ก. วิทยานิพนธ์ปริญญามหาบัณฑิต ภาควิชานิวเคลียร์เทคโนโลยี บัณฑิตวิทยาลัย จุฬาลงกรณ์มหาวิทยาลัย, 2536.
- [2] สมยศ ศรีสติตย์, อรรถพร ภัทรสมัณต์. การคำนวณสร้างภาพโพโนกราฟีด้วยเทคนิคพิล์มเพื่อการตรวจสกัดแบบไม่ทำลาย. กรุงเทพมหานคร สถาบันวิจัยและพัฒนาคณวิศวกรรมคณวิศวกรรมศาสตร์ จุฬาลงกรณ์มหาวิทยาลัย, 2538.
- [3] ประสิทธิ์ ศรีทิพย์รัศมี. การพัฒนาเทคนิคการเก็บข้อมูลแบบรวมเพื่อรวมสำหรับการคำนวณสร้างภาพโพโนกราฟีโดยใช้ระบบโทรศัพท์. วิทยานิพนธ์ปริญญามหาบัณฑิต ภาควิชานิวเคลียร์เทคโนโลยี บัณฑิตวิทยาลัย จุฬาลงกรณ์มหาวิทยาลัย, 2544.
- [4] Hounsefield, G.N., Reconstruction Tomography in Diagnostic Radiography and Nuclear Medicine. (n.p.). 1977, pp.217-223.
- [5] ธีระศักดิ์ ฉุ่นใจนันท์, ประยุทธ อินแนน. โปรแกรมเมอร์มือใหม่หัดเขียนโปรแกรม Microsoft Visual Basic 6 Enterprise Edition. จุฬาลงกรณ์มหาวิทยาลัย : สำนักพิมพ์แห่งจุฬาลงกรณ์มหาวิทยาลัย, 2549.
- [6] อภิชาติ ภู่พลับ. การเขียนโปรแกรม Hardware Interface ด้วย VB6. นนทบุรี : ไอเดีย อินโฟดิสทริบิวเตอร์ เทคโนโลยี, 2548.





ศูนย์วิทยทรัพยากร จุฬาลงกรณ์มหาวิทยาลัย



โปรแกรมควบคุมการทำงาน และรับข้อมูลโปรแกรม

Option Explicit

```
Private Declare Function Inp Lib "inpout32.dll" Alias "Inp32" (ByVal PortAddress As Integer) As Integer
```

```
Private Declare Sub Out Lib "inpout32.dll" Alias "Out32" (ByVal PortAddress As Integer, ByVal Value As Integer)
```

```
Private Declare Sub Sleep Lib "kernel32" (ByVal dwMilliseconds As Long)
```

```
Private pread As Integer      'parallel port control read data
```

```
Private pwrite As Integer     'parallel port control write data
```

```
Private STP_T As Integer      'time of stepping
```

```
Private SCAN_T As Integer      'time of main scan
```

```
Private Cnt_Io(2000) As Double   'counts of Io
```

```
Private Cnt_I(1000, 1000) As Double   'counts of raw
```

```
Private Cnt_ICR(1000, 1000) As Double   'counts of data correct
```

```
Private RTN As Integer          'return stepping
```

```
Private Lap_S As Integer        'distance of source stepping
```

```
Private RS_S As Integer
```

```
Private Angle_S As Integer
```

```
Private Io As Integer
```

```
Private c(3) As Integer
```

```
Private b As Integer
```

```
Private i As Integer
```

```
Private j As Integer
```

```
Private k As Integer
```

```
Private l As Integer
```

```
Private m As Integer
```

```
Private n As Integer
```

```
Private BG As Integer
```

```
Private profile As Integer
```

```

Private raysum As Integer
Private RSV As Integer

Private Sub Command1_Click()
    Shape1.BackColor = vbRed
    Timer1.Enabled = True      'active prepare scan for start main manu
End Sub

Private Sub Command2_Click()
    Shape2.BackColor = vbRed
    '-----
    For i = 1 To lo
        MSC1.Output = "SS" + Chr(10) ' for Start LUDLUM
        Sleep (SCAN_T)
        MSC1.Output = "SS" + Chr(10) ' for Stop LUDLUM
        Sleep (100)
        MSC1.Output = "RS" + Chr(10) ' for Read Count
        Sleep (100)
        Sht1.Cells(i, 3) = MSC1.Input
        MSC1.Output = "RS" + Chr(10) ' for Read Count
        Sleep (100)
        Sht1.Cells(i, 3) = Int(MSC1.Input)
        Cnt_lo(i) = Sht1.Cells(i, 3)
        Call DT_R
        Call DT_R
    Next i
    '-----
    Timer1.Enabled = True
    Shape2.BackColor = vbGreen
End Sub

```

```

Private Sub Command3_Click()
Dim IoFile As String
On Error GoTo Err
CD1.ShowSave
IoFile = CD1.FileName
Open IoFile For Output As #1
Print #1, Io
Print #1, SCAN_T
For i = 1 To Io
Print #1, Cnt_Io(i)
Next i
Close #1
Shape3.BackColor = vbGreen
Frame4.Enabled = True
Text3.Enabled = False
Text4.Enabled = False
Text5.Enabled = False
Err:
End Sub

```

```
Private Sub Command4_Click()
```

```
'-----
```

```
RTN = Int((raysum - ((246 - raysum) / (profile - 2))) + 3)
```

```
Lap_S = Int(240 / (profile - 1))
```

```
'-----
```

```
k = 1
```

```
For i = 1 To profile
```

```
'-----
```

If i = 1 Then

 GoTo NxT

End If

'-----

For m = 1 To Lap_S

 Call SR_R

 Next m

'-----

For l = 1 To RTN

 Call DT_L

 Call DT_L

 Next l

NxT:

For j = 1 To raysum

 MSC1.Output = "SS" + Chr(10) ' for Start LUDLUM

 Sleep (SCAN_T)

 MSC1.Output = "SS" + Chr(10) ' for Stop LUDLUM

 Sleep (100)

 MSC1.Output = "RS" + Chr(10) ' for Read Count

 Sleep (100)

 Sht1.Cells(k, 4) = MSC1.Input

 MSC1.Output = "RS" + Chr(10) ' for Read Count

 Sleep (100)

 Sht1.Cells(k, 4) = Int(MSC1.Input)

 Cnt_I(i, j) = Sht1.Cells(k, 4)

 Sht1.Cells(k, 1) = i

 Sht1.Cells(k, 2) = j

 k = k + 1

 b = b + 1

```

Call DT_R
*****
Call DT_R      'if step = 164 'not active'
*****
Next j
Next i
-----
Shape4.BackColor = vbGreen
Timer1.Enabled = True
End Sub
Private Sub Command5_Click()
Dim T_File As String
On Error GoTo ErrH
CD2.ShowSave
T_File = CD2.FileName
Open T_File For Output As #1
    Print #1, T_File
    Print #1, raysum
    Print #1, profile
    Print #1, RS_S
    Print #1, Angle_S
    For i = 1 To profile
        For j = 1 To raysum
            Print #1, Cnt_I(i, j)
        Next j
    Next i
    Close #1
    Shape5.BackColor = vbGreen
ErrH:
End Sub

```

```

Private Sub Command6_Click()
    End
End Sub

```

```
Private Sub Command7_Click()
```

```

Dim a As Integer
Dim SFile As String
CD1.ShowOpen
SFile = CD1.FileName
Open SFile For Input As #1
i = 1
Input #1, a
Text5.Text = a
lo = Text5.Text
Text3.Text = a
raysum = Text3.Text
Input #1, a
Text4.Text = a
SCAN_T = Text4.Text
Do Until EOF(1)
    Input #1, a
    Sht1.Cells(i, 3) = Val(a)
    Cnt_lo(i) = Sht1.Cells(i, 3)
    i = i + 1
Loop
Close #1
Shape6.BackColor = vbGreen
Frame4.Enabled = True
Text3.Enabled = False

```

```

Text4.Enabled = False
Text5.Enabled = False
End Sub

```

```

Private Sub Command8_Click()
Dim T_File_CR As String
'On Error GoTo ErrHCR
CD2.ShowSave
T_File_CR = CD2.FileName
Open T_File_CR For Output As #1
Print #1, T_File_CR
Print #1, raysum
Print #1, profile
Print #1, RS_S
Print #1, Angle_S
*****
b = 1
*****
For i = 1 To profile
    For j = 1 To raysum
        Cnt_ICR(i, j) = Log((Cnt_Io(b) - BG) / (Cnt_I(i, j) - BG)) / Log((Exp(1)))
        Sht1.Cells(b, 5) = Cnt_ICR(i, j)
        Print #1, Cnt_ICR(i, j)
        b = b + 1
    Next j
    Next i
Close #1
Shape7.BackColor = vbGreen

```

'ErrHCR:

End Sub

Private Sub Form_Load()

pread = &H379

pwrite = &H378

STP_T = 20

SCAN_T = 1000

MSC1.CommPort = 1

MSC1.PortOpen = True

Io = 82

profile = 11

raysum = 82

RS_S = 5

Angle_S = 18

BG = 4

End Sub

Private Sub HScroll1_Change()

STP_T = HScroll1.Value 'choose time for delay drive stepping motor

Text1.Text = STP_T 'display time delay stepping motor

```
End Sub
```

```
Private Sub Text2_Change()
```

```
    profile = Text2.Text
```

```
End Sub
```

```
Private Sub Text3_Change()
```

```
    raysum = Text3.Text
```

```
End Sub
```

```
Private Sub Text4_Change()
```

```
    SCAN_T = Text4.Text
```

```
    SCAN_T = SCAN_T * 1000
```

```
End Sub
```

```
Private Sub Text5_Change()
```

```
    lo = Text5.Text
```

```
End Sub
```

```
Private Sub Text6_Change()
```

```
    BG = Text6.Text
```

```
End Sub
```

```
Private Sub Timer1_Timer()
```

```
    RSV = Inp(pread)      'recieve data from sensor for pointer
```

```
If RSV = 199 Then      'Source to point complete
```

```

Call DT_L      'rotate stepping detector
GoTo EndStep
End If
'-----
If RSV = 167 Then      'detector to point complete'
Call SR_L      'rotate stepping source
GoTo EndStep
End If
'-----
If RSV = 231 Then      'Source and detector to point complete
Shape1.BackColor = vbGreen 'display status to complete
Out pwrite, &H0      'stop both stepping
Timer1.Enabled = False 'prepare complete
End If
'-----
Call SR_DT_L      'rotate both stepping
'-----
EndStep:
End Sub
Sub SR_L()
Out pwrite, &H90  '10010000
Sleep (STP_T)
Out pwrite, &H10  '00010000
Sleep (STP_T)
Out pwrite, &H30  '00110000
Sleep (STP_T)
Out pwrite, &H20  '00100000
Sleep (STP_T)
Out pwrite, &H60  '01100000

```

```

Sleep (STP_T)
Out pwrite, &H40  '01000000
Sleep (STP_T)
Out pwrite, &HC0  '11000000
Sleep (STP_T)
Out pwrite, &H80  '10000000
Sleep (STP_T)
End Sub

```

```

Sub SR_R()
    Out pwrite, &HC0  '11000000
    Sleep (STP_T)
    Out pwrite, &H40  '01000000
    Sleep (STP_T)
    Out pwrite, &H60  '01100000
    Sleep (STP_T)
    Out pwrite, &H20  '00100000
    Sleep (STP_T)
    Out pwrite, &H30  '00110000
    Sleep (STP_T)
    Out pwrite, &H10  '00010000
    Sleep (STP_T)
    Out pwrite, &H90  '10010000
    Sleep (STP_T)
    Out pwrite, &H80  '10000000
    Sleep (STP_T)
End Sub

```

```

Sub DT_L()
    Out pwrite, &HC  '00001100

```

```

Sleep (STP_T)
Out pwrite, &H4    '00000100
Sleep (STP_T)
Out pwrite, &H6    '00000110
Sleep (STP_T)
Out pwrite, &H2    '00000010
Sleep (STP_T)
Out pwrite, &H3    '00000011
Sleep (STP_T)
Out pwrite, &H1    '00000001
Sleep (STP_T)
Out pwrite, &H9    '00001001
Sleep (STP_T)
Out pwrite, &H8    '00001000
Sleep (STP_T)
End Sub

```

```

Sub DT_R()
Out pwrite, &H9    '00001001
Sleep (STP_T)
Out pwrite, &H1    '00000001
Sleep (STP_T)
Out pwrite, &H3    '00000011
Sleep (STP_T)
Out pwrite, &H2    '00000010
Sleep (STP_T)
Out pwrite, &H6    '00000110
Sleep (STP_T)
Out pwrite, &H4    '00000100
Sleep (STP_T)

```

```

Out pwrite, &HC    '00001100
Sleep (STP_T)
Out pwrite, &H8    '00001000
Sleep (STP_T)
End Sub

```

```

Sub SR_DT_L()
    Out pwrite, &H9C    '1001 1100
    Sleep (STP_T)
    Out pwrite, &H14    '0001 0100
    Sleep (STP_T)
    Out pwrite, &H36    '0011 0110
    Sleep (STP_T)
    Out pwrite, &H22    '0010 0010
    Sleep (STP_T)
    Out pwrite, &H63    '0110 0011
    Sleep (STP_T)
    Out pwrite, &H41    '0100 0001
    Sleep (STP_T)
    Out pwrite, &HC9    '1100 1001
    Sleep (STP_T)
    Out pwrite, &H88    '1000 1000
    Sleep (STP_T)
End Sub

```

```

Sub SR_DT_R()
    Out pwrite, &HC9    '1100 1001
    Sleep (STP_T)
    Out pwrite, &H41    '0100 0001
    Sleep (STP_T)

```

```
Out pwrite, &H63  '0110 0011
Sleep (STP_T)
Out pwrite, &H22  '0010 0010
Sleep (STP_T)
Out pwrite, &H36  '0011 0110
Sleep (STP_T)
Out pwrite, &H14  '0001 0100
Sleep (STP_T)
Out pwrite, &H9C  '1001 1100
Sleep (STP_T)
Out pwrite, &H88  '1000 1000
Sleep (STP_T)
```

```
End Sub
```

ศูนย์วิทยทรัพยากร จุฬาลงกรณ์มหาวิทยาลัย

ประวัติผู้เขียนวิทยานิพนธ์

นายสุรกิจ ขาวແພ້ງ เกิดเมื่อวันที่ 13 ตุลาคม พ.ศ. 2526 สำเร็จการศึกษาปริญญาวิทยาศาสตรบัณฑิต (ฟิสิกส์) จากภาควิชาฟิสิกส์ คณะวิทยาศาสตร์ มหาวิทยาลัยบูรพา ในปี พ.ศ. 2548 และเข้าศึกษาต่อในหลักสูตรวิทยาศาสตรบัณฑิต (นิวเคลียร์เทคโนโลยี) ที่ภาควิชา นิวเคลียร์เทคโนโลยี คณะวิศวกรรมศาสตร์ จุฬาลงกรณ์มหาวิทยาลัย ในปีการศึกษา 2549

